

Rapporto sulla qualità dell'aria della Provincia di Ravenna

Anno 2022



APA Area Est - Servizio Sistemi Ambientali - Ravenna

via Alberoni 17/19 - 48121 Ravenna - Tel 0544 – 210629 - 30 - 51 – Fax 210650

Gli operatori di **ARPAE – Sezione di Ravenna** che hanno collaborato:

Gestione monitor e postazioni

Deborah Valbonetti
Maria Antonia Cavuoto
Giacomo Agrillo

Analisi di laboratorio

Ivan Scaroni
Michela Comandini
Marilena Montalti
Alberto Santolini
Davide Verna
Claudia Zigola

Elaborazione dati

Patrizia Luciali
Deborah Valbonetti
Samuele Marinello
Giacomo Agrillo
Daniele Foscoli

Redazione relazione

Patrizia Luciali
Deborah Valbonetti
Francesca Liguori
Samuele Marinello
Daniele Foscoli

Dal 2005 la Rete Regionale di monitoraggio della qualità dell'aria (RRQA) è certificata ISO 9001:2015 relativamente al processo di monitoraggio, acquisizione e validazione dati.

**SISTEMA DI GESTIONE
QUALITÀ CERTIFICATO**



UNI EN ISO 9001:2015

In copertina: il gigantesco e spettacolare volto di Dante creato da Alessandro Tricarico. Foto da Instagram di @lorelai_23 (fonte: sito web del Comune di Ravenna)

INDICE

	<i>Pag.</i>
1 - IL QUADRO NORMATIVO IN MATERIA DI QUALITÀ DELL'ARIA	1
1.1 Quadro normativo nazionale: limiti e valori di riferimento	1
1.2 Valori guida dell'Organizzazione Mondiale della Sanità (OMS)	4
1.3 Zonizzazione della Regione Emilia Romagna e della Provincia di Ravenna	6
1.4 Limiti di quantificazione strumentali (LdQ)	7
2 - LA RETE DI MONITORAGGIO DELLA QUALITÀ DELL'ARIA	8
2.1 Configurazione della Rete Regionale	8
2.2 Configurazione della Rete di Ravenna	8
2.3 Stazioni della Rete Regionale di Qualità dell'aria (RRQA) di Ravenna	11
2.4 Stazioni della Rete Locale Industriale di Ravenna	13
3 - LE CONDIZIONI METEOROLOGICHE NEL TERRITORIO DELLA PROVINCIA DI RAVENNA, RIMINI E FORLÌ - CESENA	14
3.1 Indicatori meteorologici a supporto dello studio della qualità dell'aria	14
3.2 Andamento meteorologico del 2022 nella Provincia di Ravenna, Rimini e Forlì-Cesena	16
3.2.1 Temperatura	16
3.2.2 Precipitazioni	18
3.2.3 Intensità e direzione del vento	20
4 - VALUTAZIONE DELLA QUALITÀ DELL'ARIA NELLA PROVINCIA DI RAVENNA	25
4.1 Biossido di Zolfo SO ₂	25
4.2 Biossido di Azoto NO ₂ e Ossidi di Azoto NO _x	28
4.3 Monossido di Carbonio CO	36
4.4 Ozono O ₃	39
4.5 Benzene C ₆ H ₆	46
4.6 Toluene C ₇ H ₈ e Xileni C ₈ H ₁₀	51
4.7 Particolato PM10	55

4.8 Particolato PM2.5	62
4.9 Analisi sul particolato	67
4.9.1 Idrocarburi Policiclici Aromatici (IPA)	67
4.9.1.1 IPA nel PM2.5 e rapporto PM10/PM2.5	71
4.9.1.2 Rapporti diagnostici	73
4.9.2 Metalli	76
4.9.3 Diossine, Furani e Policlorobifenili	87
4.10 Deposizioni: Metalli, IPA, Diossine, Furani e Policlorobifenili	97
4.10.1 IPA	99
4.10.2 Metalli	101
4.10.3 PCB, Diossine, Furani	103

1. IL QUADRO NORMATIVO IN MATERIA DI QUALITÀ DELL'ARIA

1.1 - Quadro normativo nazionale: limiti e valori di riferimento

La normativa di riferimento in materia di qualità dell'aria è il D.Lgs del 13 agosto 2010, n.155 "Attuazione della direttiva 2008/50/CE relativa alla qualità dell'aria ambiente e per un'aria più pulita in Europa".

In aprile 2017 è stato emanato il decreto «Procedure di garanzia di qualità per verificare il rispetto della qualità delle misure dell'aria ambiente, effettuate nelle stazioni delle reti di misura» (G.U. 26/04/2017, n. 96) che definisce le procedure di garanzia di qualità previste per verificare il rispetto della qualità delle misure dell'aria ambiente e demanda ad ISPRA l'adozione di apposite linee guida per garantire l'applicazione di procedure omogenee in tutto il territorio nazionale.

Il decreto D.Lgs n.155/2010, oltre ad introdurre strumenti per contrastare più efficacemente l'inquinamento atmosferico, fornire una metodologia di riferimento per la caratterizzazione delle zone (zonizzazione), definisce i valori di riferimento che permettono di valutare la qualità dell'aria, su base annuale, considerando le concentrazioni dei diversi inquinanti.

In particolare, i valori limite e di riferimento per i diversi inquinanti, sono:

INQUINANTE	PERIODO DI MEDIAZIONE	VALORE LIMITE	
Biossido di zolfo	Orario (non più di 24 volte all'anno)	350	$\mu\text{g}/\text{m}^3$
	Giornaliero (non più di 3 volte all'anno)	125	$\mu\text{g}/\text{m}^3$
Biossido di azoto	Orario (per non più di 18 volte all'anno)	200	$\mu\text{g}/\text{m}^3$
	Annuo	40	$\mu\text{g}/\text{m}^3$
Benzene	Annuo	5	$\mu\text{g}/\text{m}^3$
Monossido di carbonio	Media max giornaliera su 8 ore	10	mg/m^3
Particolato PM 10	Giornaliero (non più di 35 volte all'anno)	50	$\mu\text{g}/\text{m}^3$
	Annuo	40	$\mu\text{g}/\text{m}^3$
Particolato PM 2.5	Annuo al 2015	25	$\mu\text{g}/\text{m}^3$
	Annuo - Valore limite indicativo	20	$\mu\text{g}/\text{m}^3$
Piombo	Anno	0.5	$\mu\text{g}/\text{m}^3$

Tabella 1.1 - Valori limite (VL): Livello che *non deve essere superato*

INQUINANTE	PERIODO DI MEDIAZIONE	Livelli critici per la vegetazione	
Biossido di zolfo	Annuale	20	$\mu\text{g}/\text{m}^3$
	Invernale (1 ott.- 31 mar.)	20	$\mu\text{g}/\text{m}^3$
Ossidi di azoto (NOx)	Annuo	30	$\mu\text{g}/\text{m}^3$

Tabella 1.2 - Livelli critici per la vegetazione: Livello oltre il quale possono sussistere rischi o danni per ecosistemi e vegetazione, non per gli esseri umani

INQUINANTE	PERIODO DI MEDIAZIONE	Soglia di Allarme	
Biossido di zolfo	Per 3 ore consecutive in una stazione con rappresentatività > 100 km ²	500	µg/m ³
Biossido di azoto	Per 3 ore consecutive in una stazione con rappresentatività > 100 km ²	400	µg/m ³

Tabella 1.3 - Soglie di allarme per biossido di zolfo e di azoto.

Il Decreto mantiene in essere un sistema di sorveglianza dell'inquinamento da ozono su tutto il territorio nazionale, indicando *valori obiettivo*, *obiettivi a lungo termine*, *soglia di informazione* e *soglia di allarme*⁽¹⁾ da perseguire secondo una tempistica stabilita (Tabelle 1.4 e 1.5).

Valori obiettivo			
Finalità	Periodo di mediazione	Valore obiettivo	Data raggiungimento ⁽²⁾
Protezione della salute umana	Media su 8 ore massima giornaliera nell'arco di un anno civile	120 µg/m ³ da non superare per più di 25 giorni per anno civile come media su 3 anni	2013 (dati 2010 – 2012)
Protezione della vegetazione	AOT40 ⁽¹⁾ Calcolato sulla base dei valori orari da maggio a luglio	18000 µg/m ³ h come media su 5 anni	2015 (dati 2010 – 2014)
Obiettivi a lungo termine			
Finalità	Periodo di mediazione	Obiettivo a lungo termine	Data raggiungimento ⁽²⁾
Protezione della salute umana	Media su 8 ore massima giornaliera nell'arco di un anno civile	120 µg/m ³	Non definito
Protezione della vegetazione	AOT40 ⁽¹⁾ Calcolato sulla base dei valori orari da maggio a luglio	6000 µg/m ³ h	Non definito

(1) AOT40 (espresso in µg/m³h) si intende la somma delle differenze tra le concentrazioni > 80 µg/m³ e 80 µg/m³ rilevate in un dato periodo di tempo, utilizzando solo i valori orari rilevati ogni giorno tra le 8:00 e le 20:00 (ora dell'Europa centrale).

(2) Data entro la quale deve essere raggiunto il valore obiettivo / l'obiettivo a lungo termine

Tabella 1.4 – Valori obiettivo e obiettivi a lungo termine per l'ozono.

Finalità	Periodo di mediazione	Soglia
Informazione	1 ora	180 µg/m ³
Allarme	1 ora ⁽¹⁾	240 µg/m ³

(1) Per l'applicazione dell'art.10 comma 1, deve essere misurato o previsto un superamento per tre ore consecutive

Tabella 1.5 – Soglie di informazione e di allarme per l'ozono.

La registrazione del superamento della soglia di informazione o di allarme comporta l'obbligo, per la Regione (art.14 comma 1), di fornire al pubblico informazioni relativamente a:

¹ Valore Obiettivo: Livello da conseguire, *ove possibile*, entro una data prestabilita.

Obiettivo a lungo termine: Livello da raggiungere nel lungo periodo mediante misure proporzionate

Soglia di Allarme: Livello oltre il quale sussiste pericolo per la salute umana, il cui raggiungimento impone di assicurare informazioni adeguate e tempestive.

Soglia di Informazione: Livello oltre il quale sussiste pericolo per la salute umana per alcuni gruppi sensibili, il cui raggiungimento impone di assicurare informazioni adeguate e tempestive.

- superamenti registrati (località, tipo di soglia superata, data, ora di inizio e durata del fenomeno, concentrazione oraria più elevata e concentrazione media più elevata sulle 8 ore);
- previsioni sull'evoluzione del fenomeno con l'indicazione dell'area geografica prevedibilmente interessata dai superamenti;
- informazioni sui settori colpiti della popolazione e sui possibili effetti sulla salute e sulla condotta raccomandata (informazione sui gruppi di popolazione a rischio; descrizione dei sintomi riscontrabili gruppi di popolazione a rischio; precauzioni che i gruppi interessati devono prendere; riferimenti per ottenere ulteriori informazioni);
- informazioni sulle azioni preventive per la riduzione dell'inquinamento e/o per la riduzione dell'esposizione all'inquinamento con l'indicazione dei principali settori cui si riferiscono le fonti e delle azioni raccomandate per la riduzione delle emissioni.

Per assolvere a tali obblighi nel periodo estivo viene pubblicato uno specifico “Bollettino regionale per l'Ozono” consultabile alla pagina <https://apps.arpae.it/qualita-aria/bollettino-ozono/>.

Sempre per facilitare l'informazione e la diffusione dei dati di qualità dell'aria, Arpae pubblica sul proprio sito web quotidianamente:

- il Bollettino Regionale, cioè le concentrazioni misurate dalle stazioni della rete di controllo della qualità dell'aria installate nel territorio provinciale (consultabile alla pagina: <https://www.arpae.it/it/temi-ambientali/aria/dati-qualita-aria/>);
- le concentrazioni di PM10, PM2.5, Ozono e Biossido di Azoto su scala regionale (*link*: <https://apps.arpae.it/qualita-aria/bollettino-qa/>).

Il Decreto 155/2010 fissa anche valori obiettivo (riportati in Tabella 1.6) della concentrazione nell'aria ambiente di arsenico, cadmio, nichel e benzo(a)pirene per evitare, prevenire o ridurre gli effetti nocivi di tali inquinanti sulla salute umana e sull'ambiente nel suo complesso.

Il valore obiettivo del benzo(a)pirene (1,0 ng/m³) viene usato come *marker* per il rischio cancerogeno degli idrocarburi policiclici aromatici (IPA).

<i>Inquinante</i>	<i>Parametro</i>	<i>Valori Obiettivo</i>
Arsenico	Tenore totale di ciascun inquinante presente nella frazione PM10 del materiale particolato, calcolato come media su un anno civile	6,0 ng/m ³
Cadmio		5,0 ng/m ³
Nichel		20,0 ng/m ³
Benzo(a)pirene		1,0 ng/m ³

Tabella 1.6 –Valori obiettivo per arsenico, cadmio, nichel e benzo(a)pirene.

La norma suggerisce, in un numero limitato di stazioni, di effettuare, contestualmente al benzo(a)pirene, la misurazione delle concentrazioni nell'aria ambiente di altri 6 IPA: benzo(a)antracene, benzo(b)fluorantene, benzo(j)fluorantene, benzo(k)fluorantene, indeno(1,2,3-cd)pirene e dibenzo(a,h)antracene, al fine di verificare la costanza dei rapporti nel tempo e nello spazio tra il benzo(a)pirene e gli altri idrocarburi policiclici aromatici di rilevanza tossicologica.

L'Agenzia per la Ricerca sul Cancro (IARC) ha classificato, fino ad ora, 48 IPA; la classificazione di alcuni dei composti che più frequentemente si ritrovano nell'aria sono riportati in tabella 1.7, dove sono evidenziati in grigio quelli richiamati dal DLvo 155/2010.

Nome	Classificazione IARC	Nome	Classificazione IARC
benzo[a]pirene	1	dibenzo[a,h]acridine	2B
benzo[a]antracene	2A	dibenzo[a,i]pirene	2B
dibenzo[a,h]antracene	2A	benzo[g,h,i]perilene	3
benzo[b]fluorantene	2B	metilfenantrene	3
benzo[j]fluorantene	2B	crisene	3
benzo[k]fluorantene	2B	antracene	3
indeno[1,2,3-cd]pirene	2B	fluorene	3
5-metil-crisene	2B		

Nota : 1: Cancerogeno 2A: Probabile cancerogeno per l'uomo
2B: Possibile cancerogeno per l'uomo 3: Non classificabile come cancerogeno per l'uomo

Tabella 1.7 – Cancerogenicità dei principali IPA.

1.2 - Valori guida dell'Organizzazione Mondiale della Sanità (OMS)

Nel 2021 l'Organizzazione Mondiale della Sanità (OMS) ha aggiornato le proprie Linee guida (AQG) e ha individuato, per sei inquinanti principali (PM_{2,5}, PM₁₀, ozono, biossido di azoto, biossido di zolfo, monossido di carbonio), i livelli di qualità dell'aria da raggiungere per proteggere la salute umana. I valori guida, cioè le concentrazioni in aria di inquinanti al di sotto delle quali - secondo le evidenze scientifiche disponibili - non sono attesi effetti avversi per la salute, costituiscono, quindi, uno strumento per valutare l'esposizione della popolazione a livelli di inquinanti potenzialmente dannosi per la salute, oltre a fornire un importante riferimento nel fissare gli standard e gli obiettivi normativi, tra cui l'attuale revisione della direttiva europea
L'aggiornamento delle linee guida, si è reso necessario alla luce dei sempre più numerosi studi che dimostrano gli impatti negativi sulla salute provenienti da livelli di inquinamento atmosferico anche bassi.

Con la revisione e l'abbassamento dei limiti, l'OMS intende anche contribuire alla mitigazione del cambiamento climatico: alcuni inquinanti, infatti, come il black carbon e l'ozono troposferico, hanno anche un effetto sul riscaldamento globale.

Rispetto all'ultimo aggiornamento del 2006, le principali modifiche apportate sono:

- PM₁₀: il valore annuale passa da 20 a 15 µg/m³, quello sulle 24 ore da 50 a 45 µg/m³
- PM_{2,5}: il valore annuale passa da 10 a 5 µg/m³, quello sulle 24 ore da 25 a 15 µg/m³
- biossido di azoto: il valore annuale passa da 40 a 10 µg/m³ e viene introdotto un valore sulle 24 ore pari a 25 µg/m³
- ozono: si introduce un valore per il picco stagionale pari a 60 µg/m³
- biossido di zolfo: il valore sulle 24 ore passa da 20 a 40 µg/m³
- monossido di carbonio: si introduce un valore sulle 24 ore pari a 4 µg/m³

Rimangono validi i valori guida o valori di riferimento precedenti che non sono stati modificati nella versione 2021.

Pertanto, i valori guida dell'OMS per la qualità dell'aria risultano (Tabella 1.8):

Sostanza	Valore guida	Tempo di mediazione
	OMS-AQG ⁽¹⁾ – valori guida 2021	
NO ₂	10 µg/m ³	annuale
	200 µg/m ³	1 ora
	25 µg/m ³	24 ore
SO ₂	40 µg/m ³	24 ore
	500 µg/m ³	10 min
O ₃	100 µg/m ³	8 ore
	60 µg/m ³	picco stagionale*
PM ₁₀	15 µg/m ³	annuale
	45 µg/m ³	24 ore
PM _{2.5}	5 µg/m ³	annuale
	15 µg/m ³	24 ore
OMS-AQG – valori guida 2021		
CO	4 mg/m ³	24 ore
	100 mg/m ³	15 min
	35 mg/m ³	1 ora
	10 mg/m ³	8 ore
Toluene	260 µg/m ³	Media settimanale
Xileni	4800 µg/m ³	Media su 24 ore

*media della concentrazione massima giornaliera calcolata su 8 ore nei sei mesi estivi (1° aprile – 30 settembre)

(1) **Air Quality Guidelines**: una serie di raccomandazioni dell'OMS per proteggere la salute dell'uomo dagli effetti negativi provenienti dall'esposizione a sostanze pericolose e inquinanti atmosferici. Inoltre, è uno strumento per le autorità nazionali a gestire e ridurre tali sostanze inquinanti.

Tabella 1.8 - Valori guida della qualità dell'aria indicati dall'OMS (<https://apps.who.int/iris/bitstream/handle/10665/345329/9789240034228-eng.pdf?sequence=1&isAllowed=y>). **Solo per gli Xileni il riferimento è WHO: Xylenes, Environmental Health Criteria 190, World Health Organization, Geneva, CH, 1997**

L'OMS, per alcuni inquinanti atmosferici ad azione cancerogena (Tabella 1.9), non fornisce un valore guida ma indica l'*indice di rischio unitario* per la popolazione, ovvero il rischio associato alla presenza di tali inquinanti nell'aria a cui è sottoposta la popolazione.

La stima dell'incremento di *rischio unitario* (*U.R.*) è intesa come il rischio addizionale di cancro che può verificarsi in una ipotetica popolazione nella quale tutti gli individui siano continuamente esposti, dalla nascita e per tutto l'intero tempo di vita, ad una concentrazione dell'agente di rischio nell'aria che essi respirano pari ad 1 µg/m³.

Sostanza	Rischio unitario
	Indice di rischio/tempo di vita (µg/m ³) ⁻¹
BENZENE	6 x 10 ⁻⁶
IPA (BaP)	8.7 x 10 ⁻²
NICHEL	3.8 x 10 ⁻⁴
ARSENICO	1.5 x 10 ⁻³
CROMO esavalente	(1.1 ÷ 13) x 10 ⁻²

Tabella 1.9 Indice di rischio unitario (OMS)

1.3 - Zonizzazione della Regione Emilia Romagna e della Provincia di Ravenna

A norma del D.Lgs 155/2010 la Regione Emilia Romagna ha effettuato la zonizzazione del proprio territorio in aree omogenee ai fini della valutazione della qualità dell'aria ([Delibera della Giunta regionale del 27/12/2011, n. 2001](#)), prevedendo la suddivisione del territorio in un agglomerato (Bologna) ed in tre zone omogenee: la zona "Appennino", la zona "Pianura Ovest" e la zona "Pianura Est" (Fig.1).

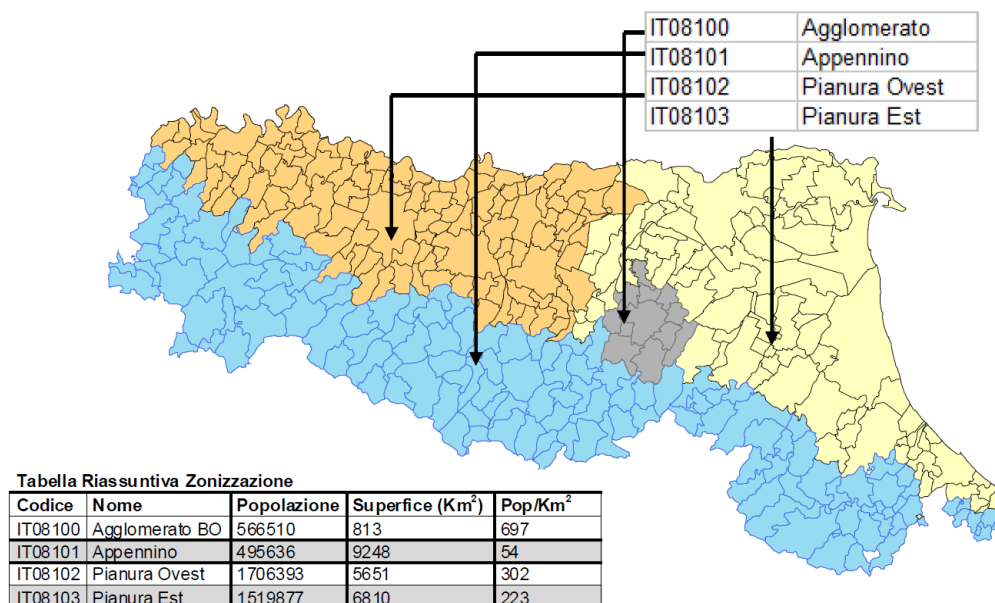


Figura 1.1 – Zonizzazione regionale (DLgs 155/2010 e DGR 2001/2011)

Il territorio della provincia di Ravenna risulta in parte nella zona "Appennino" ed in parte nella zona "Pianura Est":

ZONA Pianura EST	Alfonsine, Bagnacavallo, Bagnara di Romagna, Castel Bolognese, Cervia, Conselice, Cotignola, Faenza, Fusignano, Lugo, Massa Lombarda, Ravenna, Russi, Sant'Agata sul Santerno, Solarolo
ZONA Appennino	Brisighella, Casola Val Senio, Riolo Terme

Tabella 1.7 – Zonizzazione per la Provincia di Ravenna (DLgs 155/2010 e DGR 2001/2011)

La Regione ha quindi il compito di effettuare la *valutazione della qualità dell'aria ambiente* (DLvo 155/10 art. 5, Allegato II, Appendice II e Appendice III) e predispone un *piano di qualità dell'aria* con le misure necessarie che, agendo sulle principali sorgenti di emissione che hanno influenza sulla aree di superamento, permettano di raggiungere i valori limite nei termini prescritti.

L'Emilia Romagna, con Delibera di Giunta n. 1180 del 21 luglio 2014, ha adottato la Proposta di Piano Aria Integrato Regionale (**PAIR 2020**), approvato dalla Assemblea legislativa dell'Emilia-Romagna in aprile 2017 e in fase di aggiornamento (PAIR 2030 nel 2023).

1.4 - Limiti di quantificazione strumentali (LdQ)

Il limite di quantificazione è la concentrazione minima alla quale la misura strumentale quantitativa è fornita con ragionevole certezza statistica (predefinita).

I limiti di quantificazione degli analizzatori automatici in uso nella Rete Regionale di Qualità dell'aria sono:

<i>Inquinante</i>	<i>Limite di quantificazione L.Q.</i>	<i>Unità di misura</i>	<i>Espressione utilizzata in caso di valore inferiore a LQ</i>
NO₂	8	µg/m ³	<8
SO₂	10	µg/m ³	<10
O₃	8	µg/m ³	<8
PM₁₀	3	µg/m ³	<3
PM_{2.5}	3	µg/m ³	<3
CO	0,4	mg/m ³	<0,4
Benzene	0,1	µg/m ³	<0,1

2. LA RETE DI MONITORAGGIO DELLA QUALITÀ DELL'ARIA

2.1 - Configurazione della Rete Regionale

La Regione Emilia Romagna ha effettuato, a partire dal 2005, alcune revisioni della struttura della Rete Regionale di monitoraggio della Qualità dell'Aria (RRQA), per rendere conforme la rete ai nuovi requisiti normativi nazionali e regionali (DLgs 155/2010 e DGR 2001/2011).

L'attuale RRQA, che tiene conto anche della suddivisione del territorio regionale in zone omogenee dal punto di vista della qualità dell'aria, è composta da 47 stazioni di misura (Fig.2.1).

I punti di campionamento sono stati individuati per verificare il rispetto dei limiti:

- per la protezione della salute umana (*stazioni di Traffico Urbano, Fondo Urbano, Fondo Urbano Residenziale, Fondo Sub Urbano*) e
- per la protezione degli ecosistemi e/o della vegetazione (*Fondo rurale e Fondo remoto*).

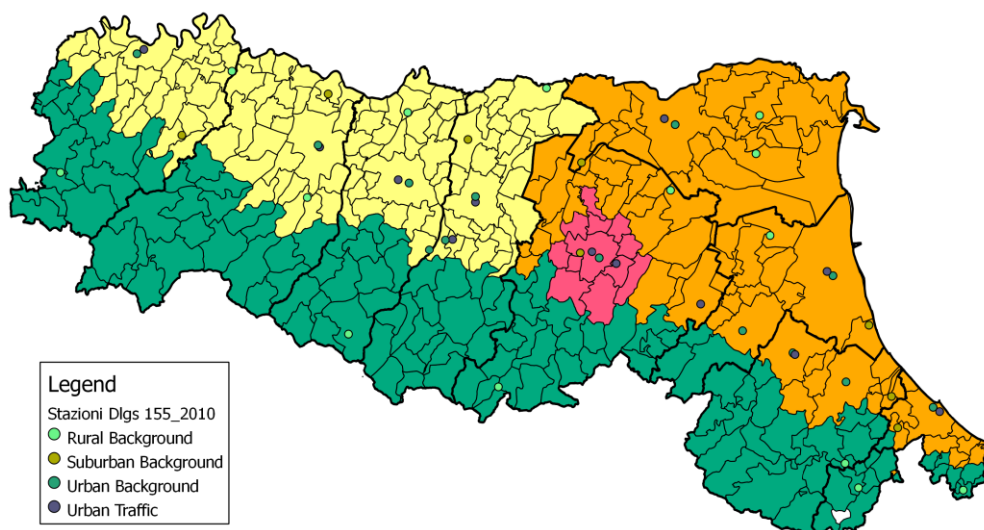


Figura 2.1 -
Dislocazione delle
stazioni nella rete
regionale (DLgs
155/2010 e DGR
2001/2011)

2.2 - Configurazione della Rete di Ravenna

Nella Provincia di Ravenna sono presenti 5 stazioni della Rete Regionale di rilevamento della qualità dell'aria (RRQA) e due stazioni Locali - Rocca Brancaleone e Porto San Vitale. Le due stazioni locali sono state collocate per controllare e monitorare gli impatti riconducibili prevalentemente all'area industriale/portuale. La cartina di Figura 2.2 fornisce un'indicazione della distribuzione spaziale delle stazioni all'interno del territorio provinciale, mentre la configurazione della rete e la relativa dotazione strumentale è riportata in Tabella 2.1.

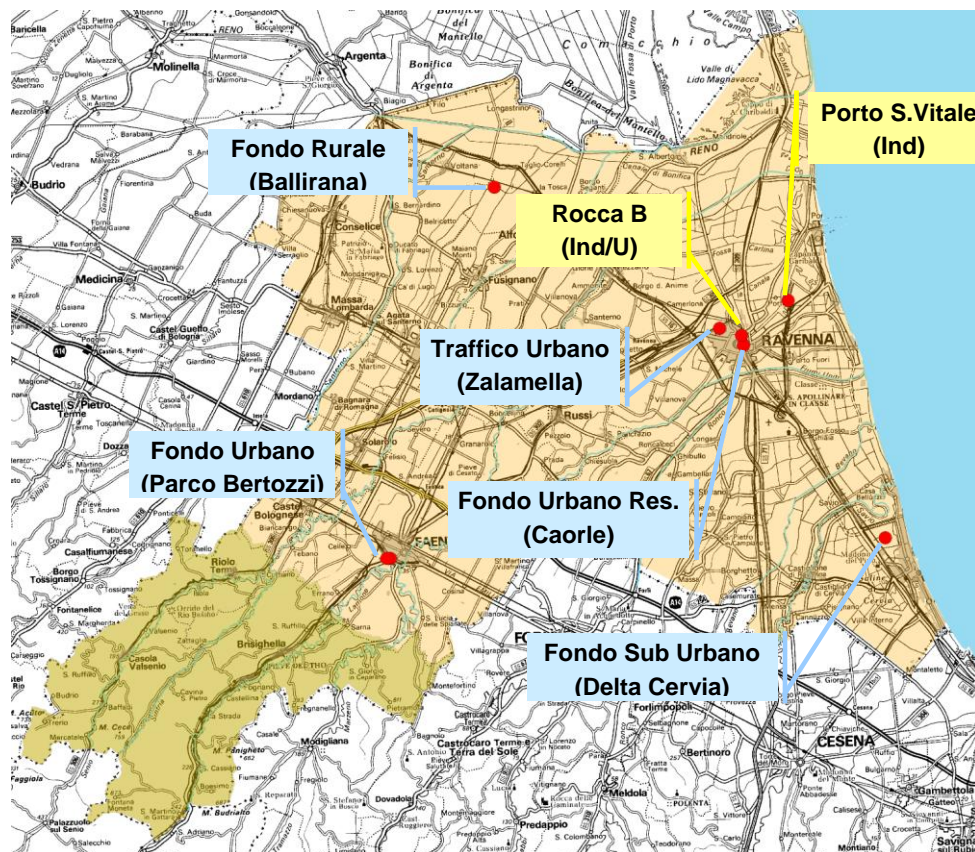


Figura 2.2 - Ravenna - Distribuzione spaziale delle stazioni di rilevamento della qualità dell'aria

Nella rete afferente alla provincia di Ravenna le stazioni sono tutte collocate in ZONA PIANURA EST, mentre la ZONA APPENNINO - in cui non si prevedono superamenti degli standard di qualità dell'aria e il monitoraggio è finalizzato prevalentemente al controllo del mantenimento delle condizioni ambientali in essere - è monitorata dalla stazione di Savignano di Rigo a Sogliano al Rubicone (fondo remoto - appartenente alla rete della provincia Forlì-Cesena) e da rilevazioni periodiche effettuate con il laboratorio mobile.

Zona	Comune	Stazione	Tipo	Zona + Tipo	Inquinanti misurati						
					PM10	PM2.5	NOx	CO	BTX	SO2	O3
	Alfonsine	Ballirana		FRu							
	Cervia	Delta Cervia		FSubU							
	Faenza	Parco Bertozzi		FU							
	Ravenna	Caorle		FU-Res							
	Ravenna	Zalamella		TU							
	Ravenna	Rocca Brancaleone		Ind-U							
	Ravenna	Porto San Vitale		Ind							

Legenda

Classificazione Zona	Classificazione Stazione	Zona + tipo Stazione	
 Urbana	 <i>Traffico</i>	  <i>Fondo Rurale</i>	<i>FRu</i>
 Suburbana	 <i>Fondo</i>	  <i>Fondo Sub Urbano</i>	<i>FsubU</i>
 Rurale	 <i>Industriale</i>	  <i>Fondo Urbano</i>	<i>FU</i>
		  <i>Traffico Urbano</i>	<i>TU</i>
		  <i>Indust. Urbana</i>	<i>Ind-U</i>
		  <i>Industriale</i>	<i>Ind</i>

Tabella 2.1 – Configurazione della RRQA di Ravenna al 31/12/2022

Nel comune di Ravenna, in prossimità della zona industriale, sono presenti, inoltre, sei stazioni fisse gestite dalla Società RSI per conto di un consorzio a cui partecipano numerose industrie del polo industriale (rete privata). I dati rilevati dalla rete privata sono inviati al centro di calcolo della Sezione Arpa di Ravenna, ma la gestione e la validazione dei dati è effettuata dal gestore.

In tabella 2.2 è riportata la dotazione strumentale della rete privata:

Stazione	NOx	O3	SO2	PM10	PM2.5	BTX
Germani	X		X	X	X	
Marani (ora ENGIM)	X		X	X	X	X
AGIP 29				X	X	
Marina di Ravenna 2	X	X	X	X	X	
Zorabini	X	X				
Sant'Alberto	X					

Tabella 2.2 - Dotazione strumentale (inquinanti monitorati) nelle stazioni della rete privata (2022)

Nei capitoli successivi sono riportate esclusivamente le elaborazioni statistiche dei dati rilevati dalla RRQA e dalle stazioni Locali.

2.3 - Stazioni della Rete Regionale di Qualità dell'Aria (RRQA) di Ravenna

Si riportano le schede, con la documentazione fotografica e la localizzazione, delle stazioni di monitoraggio della rete pubblica nella configurazione 2022.

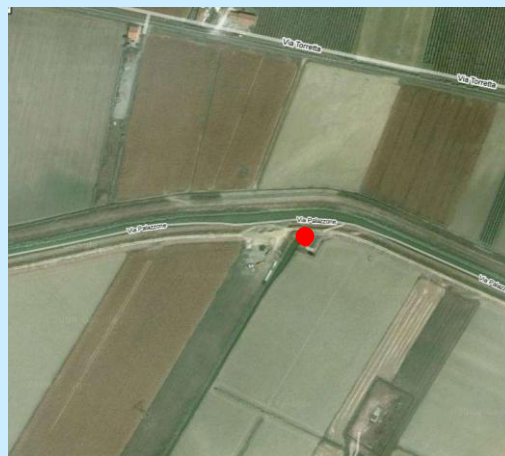
Stazione: *Ballirana (Alfonsine)*



Tipo Stazione: Fondo Rurale

Inquinanti: PM_{2,5} - NO_x - O₃

Zona : *Agglomerato Pianura Est*



Coordinate geografiche:

UTM32 X: 736992 Y: 934882

Stazione: *Delta Cervia (Cervia)*



Tipo Stazione: Fondo SubUrbano

Inquinanti: PM₁₀ - NO_x - O₃

Zona : *Agglomerato Pianura Est*



Coordinate geografiche:

UTM32 X: 765899 Y: 908893

Stazione: Zalamella (Ravenna)



Tipo Stazione: Traffico Urbano
Inquinanti: PM₁₀ - NO_x - CO - BTX

Zona : Agglomerato Pianura Est



Coordinate geografiche:
 UTM32: X: 753646 Y: 924418

Stazione: Caorle (Ravenna)



Tipo Stazione: Fondo Urbano Residenz.
Inquinanti: PM₁₀ PM_{2,5}- NO_x - O₃ - SO₂

Zona : Agglomerato Pianura Est



Coordinate geografiche:
 UTM32: X: 756779 Y: 923593

Stazione: Parco Bertozzi (Faenza)



Tipo Stazione: Fondo Urbano
Inquinanti: PM₁₀ - PM_{2,5} - NO_x - O₃

Zona : Agglomerato Pianura Est



Coordinate geografiche:
 UTM32 X: 729277 Y: 9007702

2.4 - Stazioni della Rete Locale Industriale di Ravenna

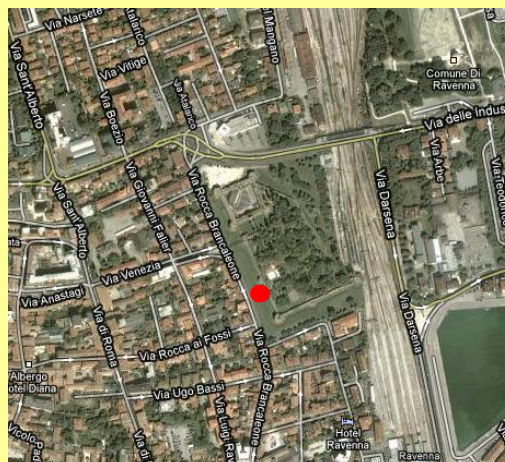
Stazione: Rocca Brancaleone (Ravenna)



Tipo Stazione: **Industriale / Urbana**

Inquinanti: **PM₁₀ - NO_x - SO₂- CO - O₃**

Stazione locale industriale



Coordinate geografiche:

UTM32 X: 755267 Y: 923906

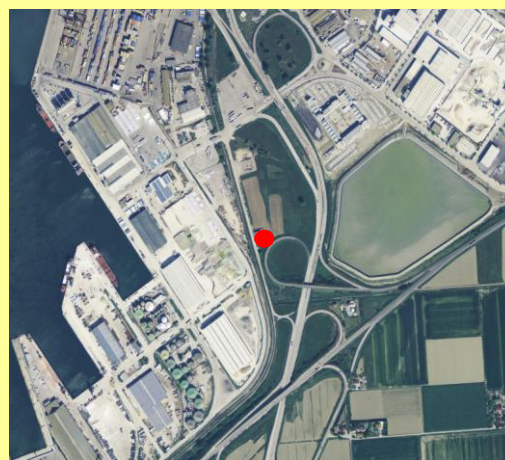
**Stazione: Porto S. Vitale (Ravenna)
ex SAPIR**



Tipo Stazione: **Industriale**

Inquinanti: **PM₁₀ - PM_{2,5} - NO_x - SO₂- CO - O₃ - BTX**

Stazione locale industriale



Coordinate geografiche:

UTM32 X: 758889 Y: 926401

3. LE CONDIZIONI METEOROLOGICHE NEL TERRITORIO DELLA PROVINCIA DI RAVENNA, RIMINI E FORLÌ - CESENA

3.1 - Indicatori meteorologici a supporto dello studio della qualità dell'aria

L'atmosfera rappresenta l'ambiente dove gli inquinanti, immessi da varie sorgenti, si diffondono, vengono dispersi e subiscono trasformazioni del loro stato fisico e chimico.

Le condizioni meteorologiche interagiscono, quindi, in vari modi con i processi di formazione, dispersione, trasporto e deposizione degli inquinanti ed alcuni indicatori meteorologici possono essere posti in relazione con tali processi.

- La **temperatura dell'aria**: ad elevate temperature sono, in genere, associati elevati valori di ozono, mentre le basse temperature, durante il periodo invernale, sono spesso correlate a condizioni di inversione termica che tendono a confinare gli inquinanti in prossimità della superficie e quindi a fare aumentare le concentrazioni misurate.
- Le **precipitazioni** e la **nebbia** influenzano la deposizione e la rimozione umida di inquinanti. L'assenza di precipitazioni e di nubi riduce la capacità dell'atmosfera di rimuovere, attraverso i processi di deposizione umida e di dilavamento, gli inquinanti, in particolare le particelle fini.
- L'**intensità del vento** influenza il trasporto e la diffusione degli inquinanti; elevate velocità del vento tendono a favorire la dispersione degli inquinanti immessi vicino alla superficie.
- La **direzione del vento** influenza in modo diretto la dispersione degli inquinanti.

Di seguito si riportano alcune elaborazioni, relative ai parametri meteorologici registrati nel territorio delle tre provincie. In alcuni casi si è fatto riferimento ai parametri meteorologici che sono registrati nelle stazioni per la qualità dell'aria, mentre in altri si sono utilizzati i dati delle stazioni facenti parte delle reti gestite dal servizio Idro-Meteo-Clima (SIMC) di Arpae.

L'inquadramento climatico per l'anno 2022 è tratto dal rapporto IdroMeteoClima 2022, realizzato dall'Osservatorio Clima di Arpae (Rif. <https://www.arpae.it/it/notizie/disponibile-online-il-rapporto-idrometeoclima-emilia-romagna-2022>).

Per la provincia di Ravenna le stazioni utilizzate sono tre: la stazione locale di qualità dell'aria di Porto San Vitale, nell'area urbana-portuale di Ravenna, la stazione della RRQA di Bisaura a Faenza e la stazione di Brisighella, facente parte della rete idrometeorologica del SIMC (Fig.3.1).

Per la provincia di Rimini si sono utilizzate la stazione di Rimini Urbana, facente parte delle stazioni di meteorologia urbana gestite dal SIMC, la stazione di Riccione e la stazione di Pennabilli della rete idrometeorologica anch'essa gestita dal SIMC (Fig. 3.2).

Per la provincia di Forlì-Cesena si è utilizzata la stazione di monitoraggio Hera nell'area industriale di Forlì, stazione locale di qualità dell'aria e dedicata all'inceneritore e la stazione di Castrocaro, facente parte della rete idrometeorologica gestita dal SIMC (Fig. 3.3).

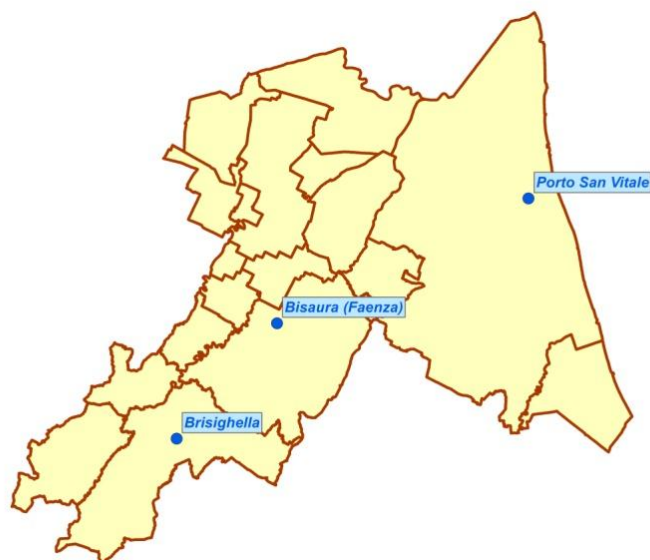


Figura 3.1 – Dislocazione delle stazioni meteorologiche a Ravenna



Figura 3.2 – Dislocazione delle stazioni meteorologiche a Rimini



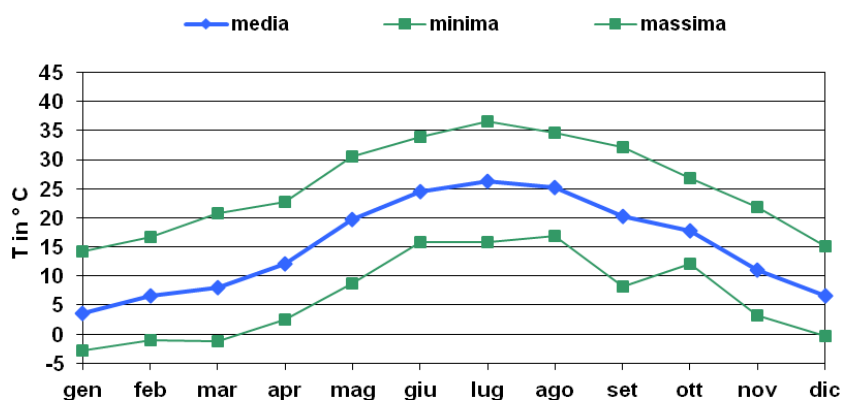
Figura 3.3 – Dislocazione delle stazioni meteorologiche a Forlì

3.2 - Andamento meteorologico del 2022 nella Provincia di Ravenna, Rimini e Forlì-Cesena

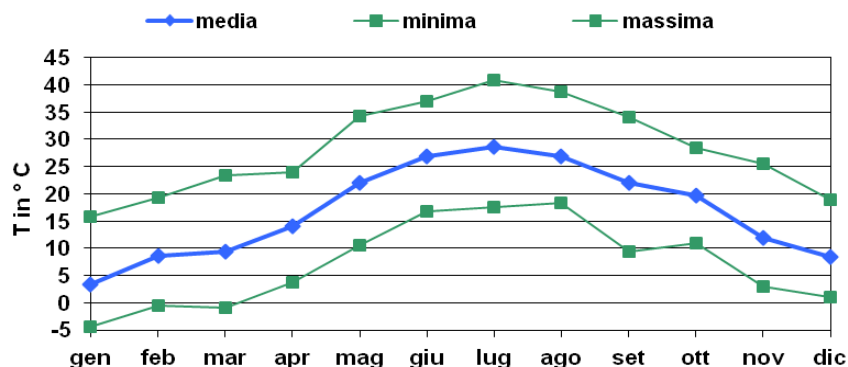
3.2.1 – Temperatura

In figura 3.4 sono riportate le temperature medie, minime e massime mensili per l'anno 2022 misurate nelle stazioni di Porto San Vitale, Faenza (Bisaura) e Brisighella per la provincia di Ravenna, la stazione Hera di Forlì per la provincia di Forlì-Cesena e la stazione di Rimini Urbana per la provincia di Rimini.

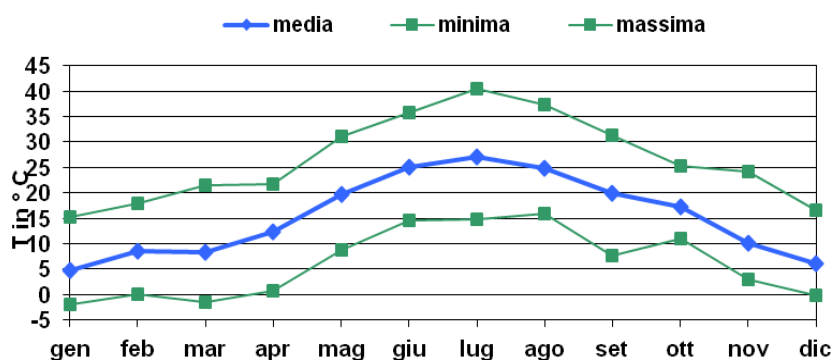
Stazione di Porto San Vitale (Ravenna) - anno 2022



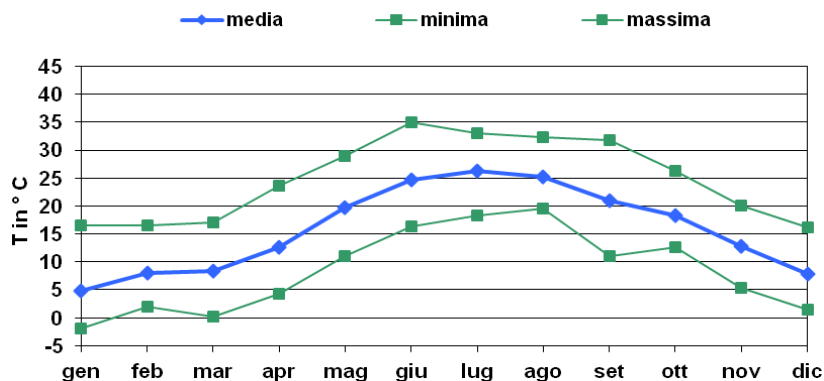
Stazione di Bisaura (Faenza) - anno 2022



Stazione di Brisighella (Ravenna)- anno 2022



Stazione di Rimini Urbana - anno 2022



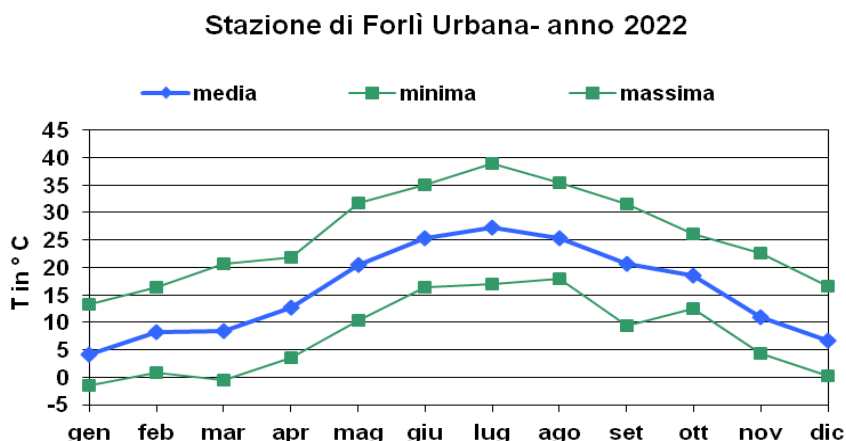


Figura 3.4 - Medie, minimi e massimi mensili delle temperature – Anno 2022

A livello regionale il 2022 è risultato l'anno più caldo dal 1961 sia in termini di temperatura media, sia di temperatura massima. Queste condizioni generali si sono tradotte in un elevato numero di giorni caldi: l'indice regionale è stato pari a 61 giorni caldi, il terzo valore più alto della serie dopo il 2003 ed il 2012, mentre a livello locale, in pianura, sono stati osservati fino a 103 giorni caldi.

Questi valori annuali sono il risultato della persistenza di intense anomalie termiche positive per buona parte dell'anno. Ad inizio anno si sono alternati mesi con anomalie termiche, anche forti, ma di segno altalenante. Il mese di febbraio, come nei due anni precedenti, è risultato molto caldo (il quarto dal 1961), mentre marzo è risultato particolarmente freddo e la temperatura minima regionale ha assunto il quarto valore più basso dal 1961 e il più basso dal 1988. A maggio, le temperature, inizialmente nella norma, sono aumentate velocemente dopo la prima decade, rimanendo fino a fine mese prossime o superiori ai massimi valori osservati dal 1961; infatti maggio risulta il secondo più caldo dopo il 2009. Nei mesi successivi, si sono susseguiti quasi unicamente valori superiori alle attese o nella norma fino a fine anno. In particolare, giugno è stato il secondo più caldo dopo il 2003, e luglio il secondo più caldo dopo il 2015. Nonostante agosto sia stato termicamente più vicino alla normalità climatica, l'estate risulta la seconda più calda dal 1961 dopo il 2003, con un'anomalia di temperatura media regionale di +1,8 °C rispetto al clima 1991-2020 e di +3,4 °C rispetto al clima 1961-1990. Il contributo maggiore a queste anomalie è imputabile soprattutto ai valori di temperatura massima (+2,4 °C rispetto al clima 1991-2020), mentre le minime si discostano dal clima recente di +1,1 °C.

Per la provincia di Ravenna il 2022 è stato caratterizzato da temperature minime piuttosto rigide, anche inferiori a 0°C fino al mese di aprile, e da temperature massime elevate (anche oltre 40°C), in linea con l'anno precedente, e del tutto comparabili nel trimestre estivo. Questo andamento delle temperature rilevate è simile in tutte le stazioni, ma con variazioni più marcate, fra le minime e le massime, nell'entroterra rispetto alla stazione di Porto San Vitale, che risente maggiormente dell'azione mitigatrice del mare.

Andamenti simili per le stazioni di Forlì e Rimini Urbana per quanto riguarda le medie ma con temperature massime più elevate per la stazione Hera di Forlì rispetto alla stazione urbana di Rimini.

3.2.2 – Precipitazioni

In figura 3.5 sono rappresentate la precipitazione cumulata mensile ed il numero di giorni con precipitazione superiore a 0,3 mm (limite di significatività).

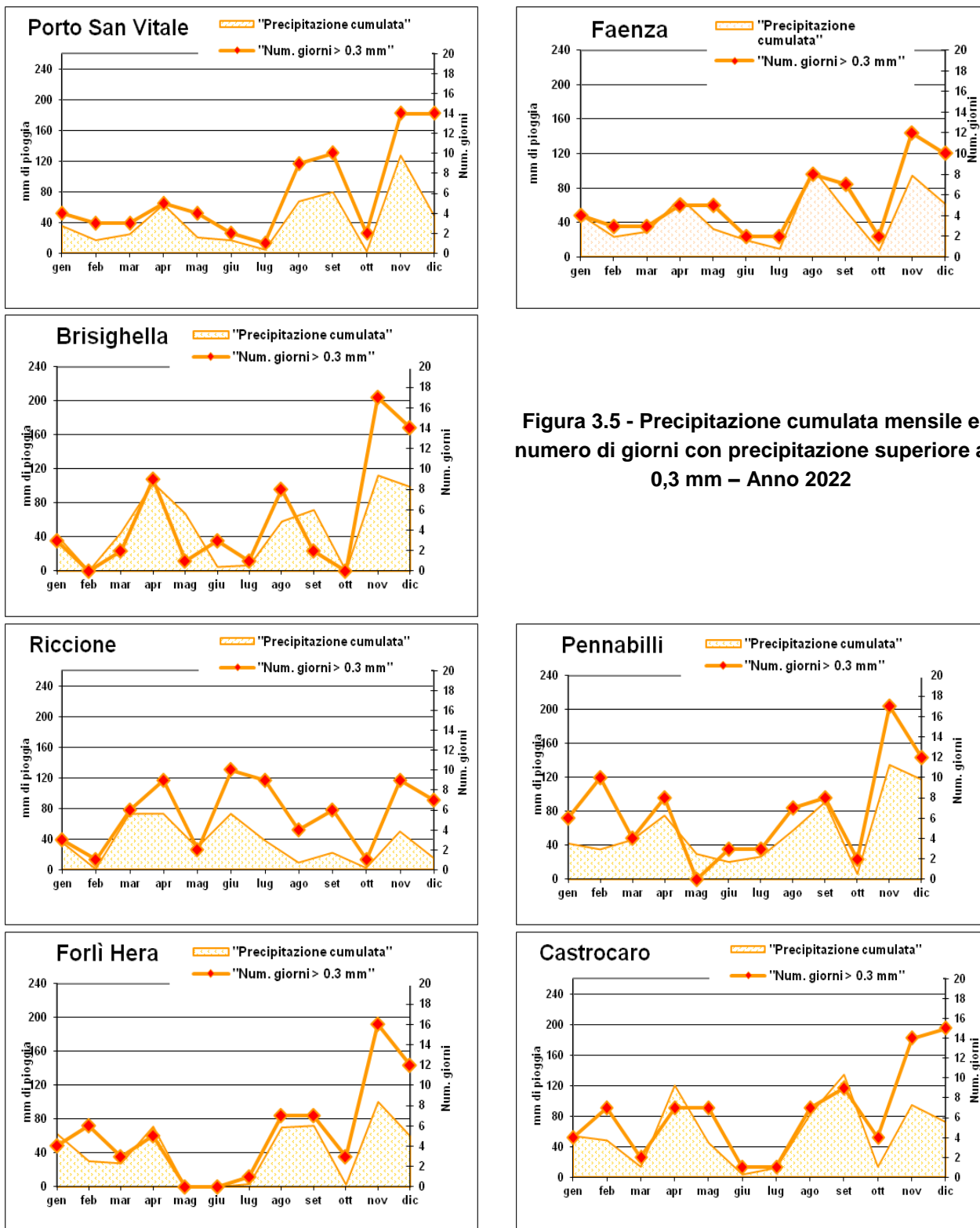


Figura 3.5 - Precipitazione cumulata mensile e numero di giorni con precipitazione superiore a 0,3 mm – Anno 2022

Il 2022 è stato un anno estremamente siccitoso con una precipitazione annua regionale pari a 677 mm, risultando la quinta annualità meno piovosa dal 1961, dopo 1988, 1983, 2021 e 2011. La successione di due anni consecutivi di estrema siccità rappresenta un record per la serie storica dal 1961. Condizioni simili, cioè due annate consecutive con precipitazioni inferiori alla soglia dei 700 mm di piovosità, si erano già presentate nel biennio 2006-2007, ma con valori totali annui meno estremi e con temperature medie annue simili al clima 1991-2020.

L'anno 2022 è iniziato con il ritorno della siccità, che aveva caratterizzato anche la prima metà del 2021, poi conclusasi con l'arrivo delle piogge autunnali. Nei primi mesi dell'anno le precipitazioni sono risultate inferiori alla norma. Nel corso di maggio, le temperature si sono assestate su valori tipicamente estivi, il manto nevoso alpino si è velocemente dileguato e la domanda di risorse idriche da parte dei settori agricoli e civili è aumentata, innescando velocemente criticità locali anche per l'uso idropotabile. A giugno le precipitazioni sono state estremamente inferiori al clima: stimate in 21,7 mm rispetto ai 65,5 mm attesi. A luglio sono caduti mediamente circa 22 mm, pari a metà del valore atteso nel mese. In seguito al sommarsi di queste anomalie, le precipitazioni cumulate da gennaio a luglio, stimate in circa 281 mm medi regionali, sono state in assoluto le più basse dal 1961, inferiori al precedente record negativo del 2017, pari a 301 mm. Ad agosto si è osservato un cambio di regimi e il mese è risultato il quarto più piovoso dal 1961, rendendo i valori totali dell'estate meteorologica (mesi di giugno, luglio e agosto) solo lievemente inferiori alle attese climatiche. Se a settembre le precipitazioni sono risultate nella norma, ottobre, con un indice pluviometrico regionale di 7,4 mm, è risultato il meno piovoso dal 1961. La quasi totale assenza di precipitazioni, in un mese climatologicamente piovoso, ha riacutizzato le condizioni di siccità che si erano leggermente attenuate nei due mesi precedenti. L'anno si è concluso senza ulteriori anomalie pluviometriche rilevanti, ma con valori che, pur non aggravando le condizioni generali di siccità meteorologica, non hanno comunque permesso di recuperare in alcun modo i gravi deficit accumulati nei mesi precedenti.

Gli andamenti delle precipitazioni complessive nel territorio provinciale di Ravenna sono stati leggermente più alti nelle stazioni dell'interno (Brisighella con 613 mm e Bisaura con 545 mm) rispetto a Porto San Vitale (503 mm), ma la stazione che ha visto la precipitazione più consistente è stata proprio quest'ultima, con novembre come mese più piovoso (127 mm). I mesi più secchi per la Provincia di Ravenna sono stati i mesi di luglio e ottobre.

Per quanto riguarda la provincia di Rimini, Pennabilli (precipitazione complessiva 686 mm) ha registrato valori di precipitazioni più elevati rispetto alla costa (422 mm di pioggia a Riccione), con novembre (135 mm) per Pennabilli e aprile (74 mm) per Riccione i mesi più piovosi.

Per quanto riguarda i valori di precipitazione complessiva delle due stazioni della provincia di Forlì, la stazione interna di Castrocaro (696 mm) ha fatto registrare valori superiori a quella di Hera (501 mm) per l'area urbana, con i minimi di precipitazione nei mesi di giugno, luglio e ottobre. I massimi sono stati registrati a settembre a Castrocaro (134 mm) e a novembre per la stazione di Hera (100mm).

3.2.3 – Intensità e direzione del vento

In Figura 3.6 sono rappresentate le rose dei venti annuali e stagionali, in termini di direzione ed intensità, relative alle stazioni di Porto San Vitale e Bisaura per Ravenna, la stazione di Hera per Forlì e la stazione di Riccione per la provincia di Rimini.

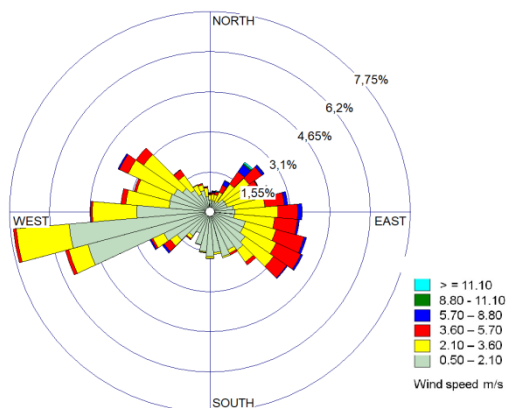
Nelle stazioni più prossime alla linea di costa si evidenziano in periodo primaverile ed estivo le direzioni tipiche delle brezze di terra-mare. Le **brezze** sono venti leggeri (con velocità dai 2 ai 6 km/h) e locali (in quanto assumono un'estensione molto limitata nello spazio geografico). Le brezze fanno parte dei cosiddetti venti periodici, ovvero che invertono il senso nel quale spirano nel corso di una stessa giornata. Il riscaldamento più veloce della terra rispetto al mare, di giorno,

fa sì che l'aria più calda e rarefatta sulla terraferma richiami alle quote basse l'aria più fresca e più densa presente sul mare (brezza di mare). Alle quote maggiori i venti sono opposti: di notte, il raffreddamento più veloce della terraferma rispetto al mare induce l'invertirsi della brezza con venti a quote basse che spirano dalla terraferma verso il mare (brezza di terra). La tarda primavera e l'inizio dell'estate sono i momenti in cui le brezze tendono a raggiungere la loro massima intensità, a causa della maggiore differenza di temperatura tra il mare e la terra.

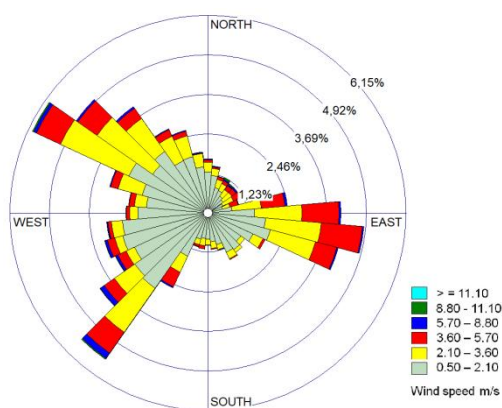
Per le stazioni di Ravenna si evince che durante le stagioni invernale ed autunnale, prevalgono i venti occidentali, mentre per la stagione primavera – estate, risulta evidente l'influenza delle brezze di mare di direzione E-SE. Per Bisaura durante la stagione primaverile c'è una componente importante anche dalla direzione Sud Ovest. Per quanto riguarda la stazione di Riccione la direzione prevalente dei venti è stata sud-ovest per le stagioni fredde, mentre si intensifica la provenienza da est durante la primavera e l'estate. Per la stazione Hera di Forlì i venti durante tutto l'arco dell'anno risultano tendenzialmente bassi, provenienti principalmente da sud-est e sud-ovest.

Rose annuali

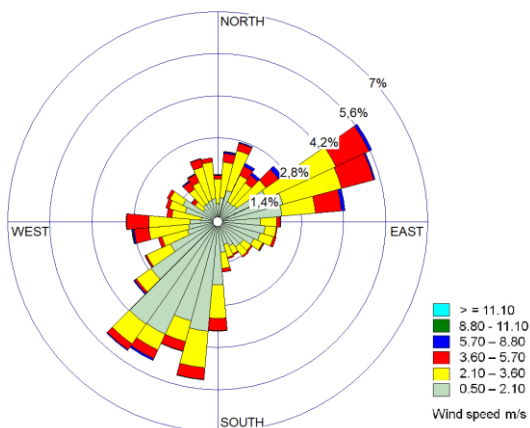
Ravenna – Stazione Porto San Vitale



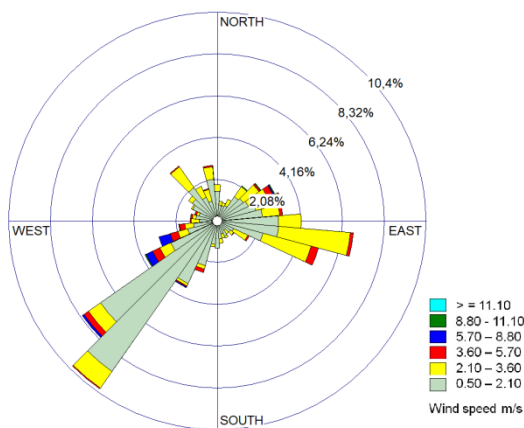
Ravenna - Stazione Bisaura



Rimini – Stazione di Riccione

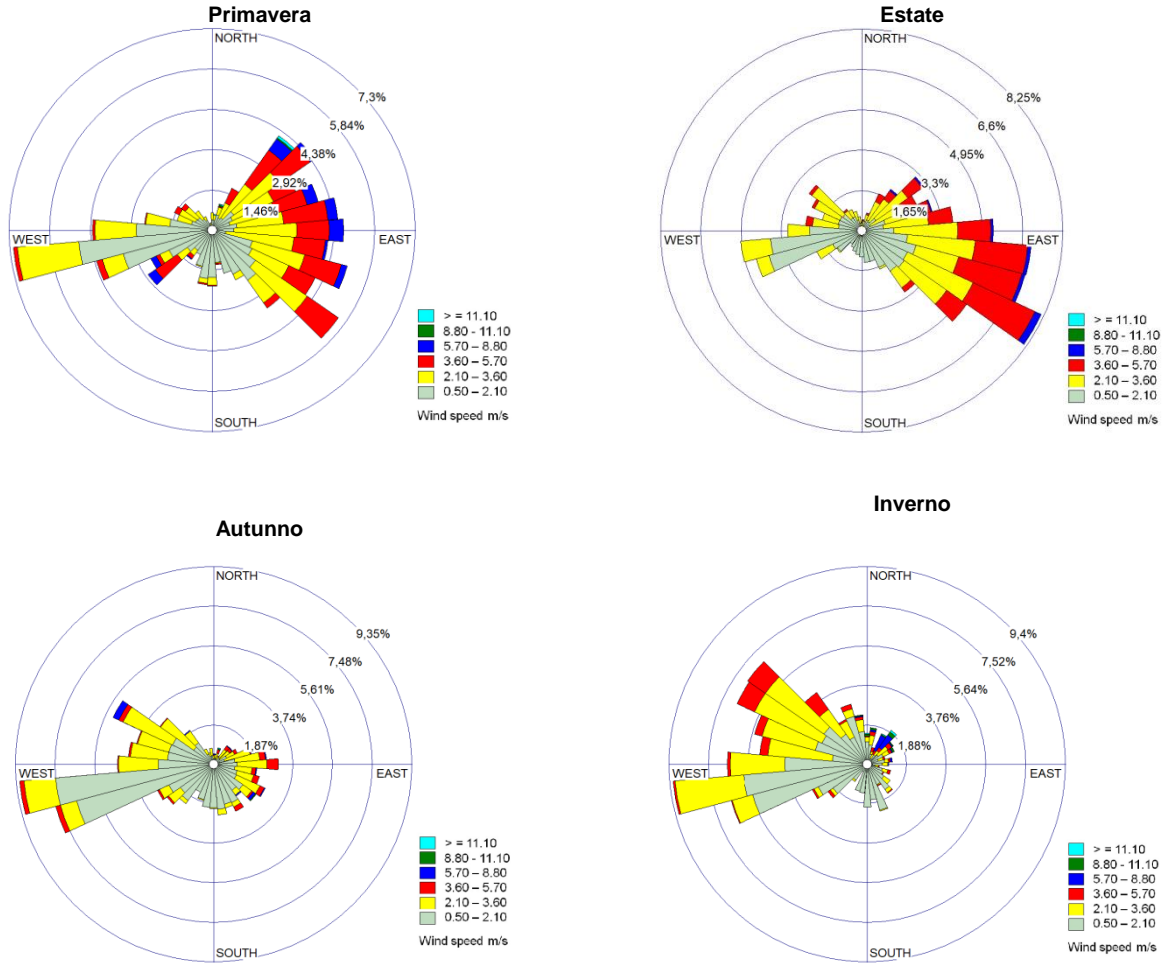


Forlì –Stazione di Hera

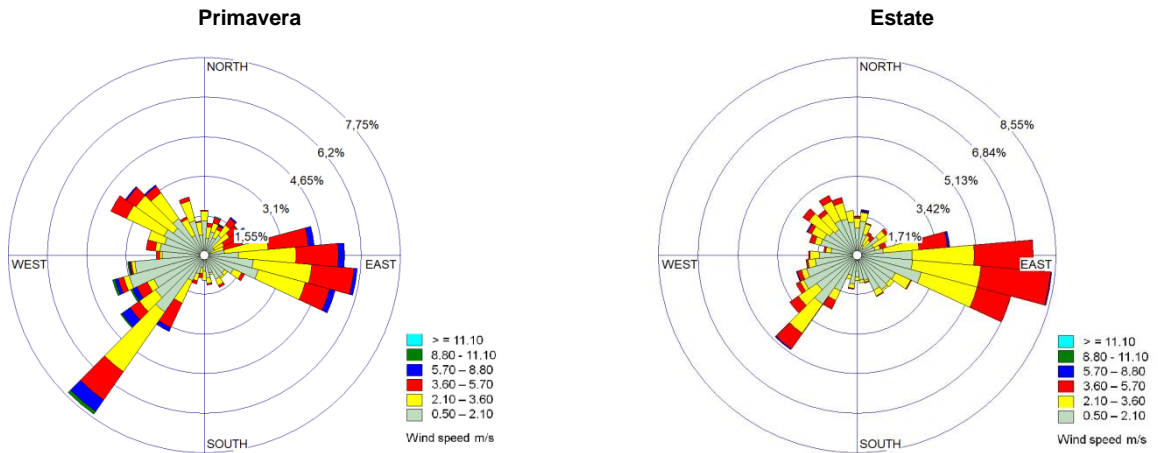


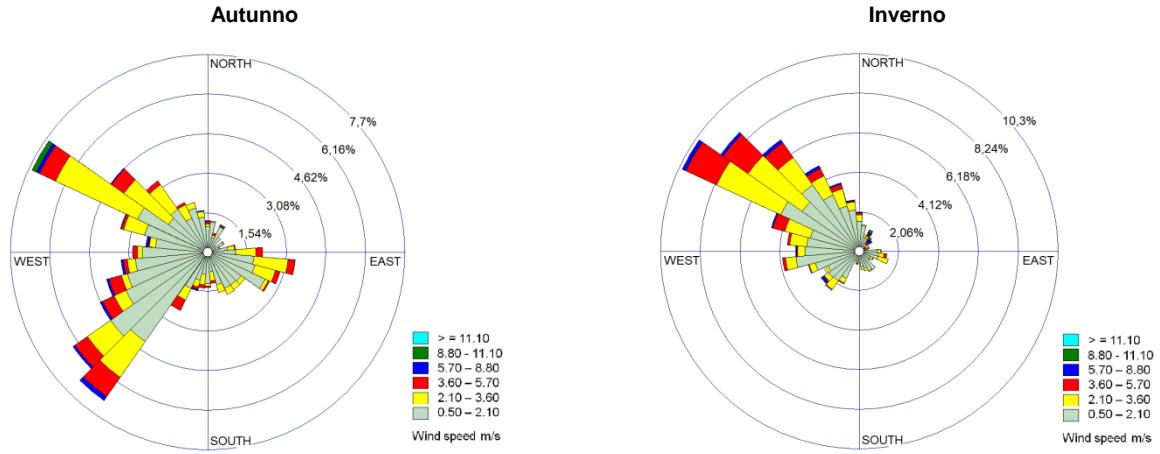
Rose stagionali

Ravenna – Porto San Vitale

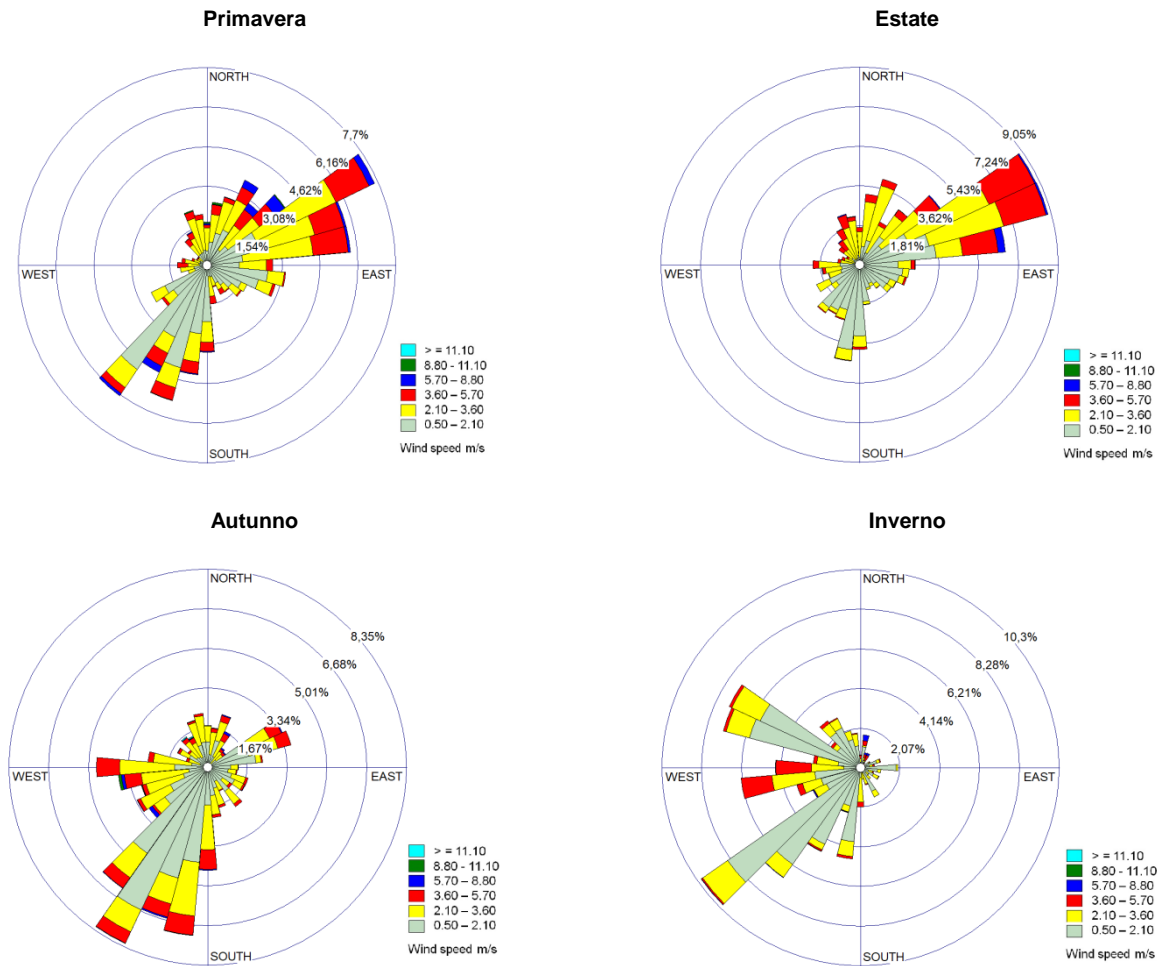


Ravenna – Bisaura





Rimini – Riccione Urbana



Forlì – Hera

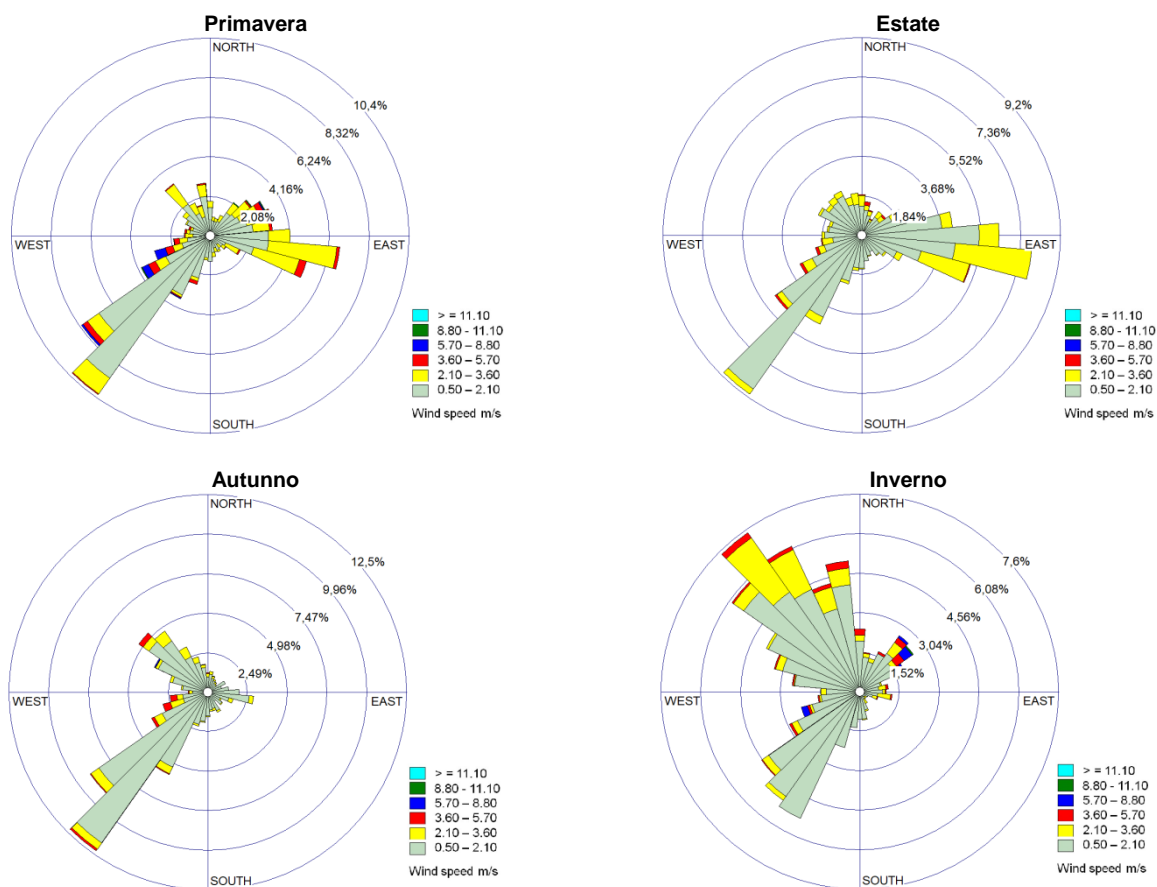


Figura 3.6 - Rose dei venti annuali e stagionali delle stazioni di Porto San Vitale e Bisaura per Ravenna, Hera per Forlì e Riccione per Rimini– Anno 2022

4. VALUTAZIONE DELLA QUALITÀ DELL'ARIA NELLA PROVINCIA DI RAVENNA

4.1 Biossido di Zolfo SO₂

Il biossido di zolfo è il naturale prodotto di ossidazione dello zolfo e dei composti che lo contengono. Nell'atmosfera l'anidride solforosa (SO₂) è ossidata ad anidride solforica (SO₃).

E' un gas incolore, dall'odore acre e pungente, irritante per gli occhi, la gola e le vie respiratorie.

In atmosfera, attraverso le reazioni con l'ossigeno e l'acqua, contribuisce alla formazione delle piogge acide provocando effetti tossici sui vegetali, acidificazione dei corpi idrici ed effetti corrosivi su materiali da costruzione, in particolare sui monumenti. Le emissioni antropiche derivano prevalentemente dall'utilizzo di combustibili solidi e liquidi contenenti zolfo, ad esempio gasolio, nafta, carbone, legna e altro. Fino a qualche decennio fa anche a livello locale la misura di SO₂ costituiva il principale indicatore dell'inquinamento di origine antropica.

Negli ultimi anni le concentrazioni sono notevolmente diminuite e quasi sempre risultano inferiori al limite di quantificazione strumentale, tanto è vero che è stato deciso di effettuare la rilevazione di questo inquinante – livello regionale – in una unica area, Ravenna, dove è presente un importante polo industriale, con numerose potenziali fonti di emissione di tale inquinante, e un importante porto commerciale che contribuisce, con le emissioni navali, alle concentrazioni diffuse di questo gas.

Valutazione in sintesi

<i>Indicatore</i>	<i>Copertura temporale</i>	<i>Stato attuale indicatore</i>	<i>Trend</i>
Concentrazione in aria di biossido di Zolfo (SO ₂)	2012 - 2022		

Il biossido di zolfo viene misurato nella stazione di fondo urbano di Caorle e nelle stazioni Locali di Rocca Brancaleone e Porto San Vitale.

Le concentrazioni di biossido di zolfo rilevate nel 2022, così come ormai da diversi anni, sono molto basse (meno del 3% dei dati supera il limite di quantificazione strumentale, pari a 10 µg/m³), ed i livelli sono notevolmente inferiori rispetto a quelli stabiliti dalla normativa vigente.

Così il rispetto dei limiti non rappresenta più un problema per l'area di Ravenna e già da un ventennio (dal 1999) non si verificano superamenti dei limiti di legge.

Anche il valore normativo più restrittivo previsto per questo inquinante (20 µg/m³)¹ non è stato raggiunto da almeno quindici anni in nessuna postazione.

¹ **Livello critico invernale per la protezione della vegetazione:** è calcolato come media dei dati orari rilevati dal 1° ottobre al 31 marzo e non deve superare i 20 µg/m³

SO₂ [L.Q. = 10 µg/m³]				Concentrazioni in µg/m³		Limiti normativi			
Stazione	Comune	Tipologia	Efficienza %	Minimo	Massimo	20 µg/m ³		Max 24	Max 3
						Media anno	Media inverno	N° Sup. 350 µg/m ³ orari	N° Sup. 125 µg/m ³ gg
Caorle	Ravenna	Fondo Urbano Res	99	< 10	61	< 10	< 10	0	0
Rocca Brancaleone	Ravenna	Locale Ind/Urbano	97	< 10	34	< 10	< 10	0	0
Porto San Vitale	Ravenna	Locale Industriale	99	< 10	62	< 10	< 10	0	0

Tabella 4.1 – SO₂: Parametri statistici e confronto con i valori previsti dalle norme (concentrazioni espresse in µg/m³)

L'andamento delle concentrazioni dal 2012 al 2022, riportato in Tabella 4.2 e nelle Figure 4.1 e 4.2, conferma i valori contenuti sopracitati (inferiori al limite di quantificazione della strumentazione fissato a 10 µg/m³).

Tabella 4.2 - Andamento temporale di SO₂ dal 2011 al 2022 (concentrazioni espresse in µg/m³)

Stazione: Caorle

	2012	2013	2014	2015	2016	2017	2018	2019	2020	2021	2022
Media annuale	3	5	4	4	2	3	3	1	2	1	3
Media inverno	5	3	5	2	2	3	2	1	1	1	2
50°Percentile	3	5	3	4	1	2	2	0	1	1	3
90°Percentile	-	-	8	9	8	6	7	2	6	3	6
95°Percentile	-	-	10	10	12	8	9	3	8	4	7
98°Percentile	8	11	13	11	19	9	10	5	9	5	8
Max	37	40	45	44	28	73	32	32	36	30	61
> 350 µg/m ³	0	0	0	0	0	0	0	0	0	0	0
% dati validi	97	99	97	95	98	93	96	98	97	98	99

Stazione: Rocca Brancaleone

	2012	2013	2014	2015	2016	2017	2018	2019	2020	2021	2022
Media	4	6	6	5	2	3	2	3	2	3	3
Media inverno	6	7	7	5	3	3	4	3	2	3	3
50°Percentile	3	6	5	4	0	3	2	3	1	3	2
90°Percentile	-	-	10	11	7	6	5	6	7	8	6
95°Percentile	-	-	11	13	9	7	6	8	8	9	7
98°Percentile	12	13	13	16	11	10	9	9	10	10	10
Max	41	43	74	32	53	56	46	45	53	36	34
> 350 µg/m ³	0	0	0	0	0	0	0	0	0	0	0
% dati validi	98	99	95	94	96	100	99	96	99	97	97

Stazione: SAPIR (fino al 2013) e Porto San Vitale (dal 2014)

	2012	2013	2014	2015	2016	2017	2018	2019	2020	2021	2022
Media	4	4	5	5	4	4	4	4	4	2	2
Media inverno	5	6	6	4	6	4	4	4	3	2	1
50°Percentile	3	3	4	4	3	3	3	3	3	1	1
90°Percentile	-	-	8	8	8	7	8	8	7	6	6
95°Percentile	-	-	12	11	12	10	10	10	9	8	7
98°Percentile	25	22	19	15	19	16	17	13	11	10	11
Max	180	63	111	61	72	70	65	72	71	75	62
> 350 µg/m ³	0	0	0	0	0	0	0	0	0	0	0
% dati validi	94	93	93	96	98	98	99	99	99	98	99

SO₂ - Massimo orario nell'anno - Area urbana e industriale

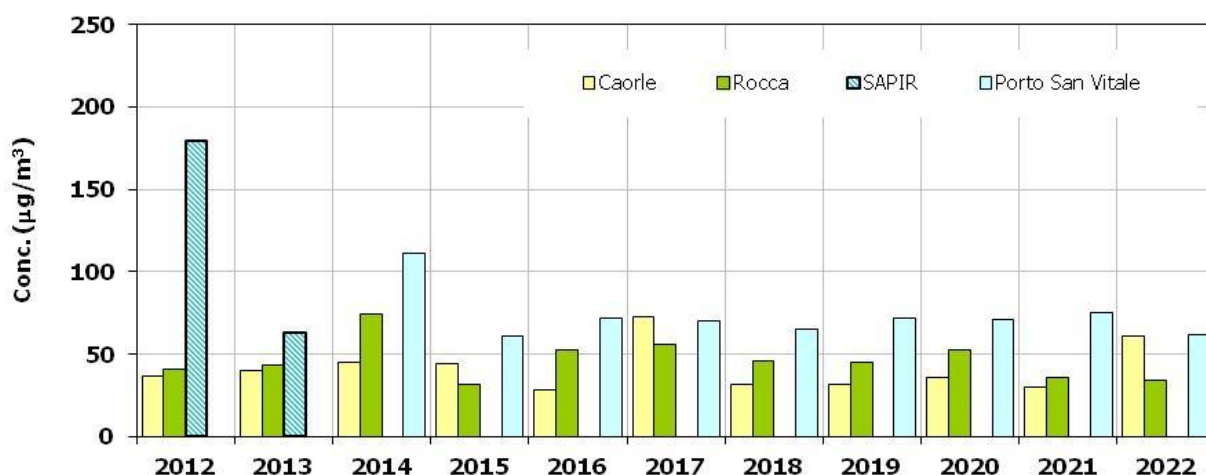


Figura 4.1 - Massimo orario - Area urbana e industriale di Ravenna

SO₂ - 98° perc. - Area urbana e industriale

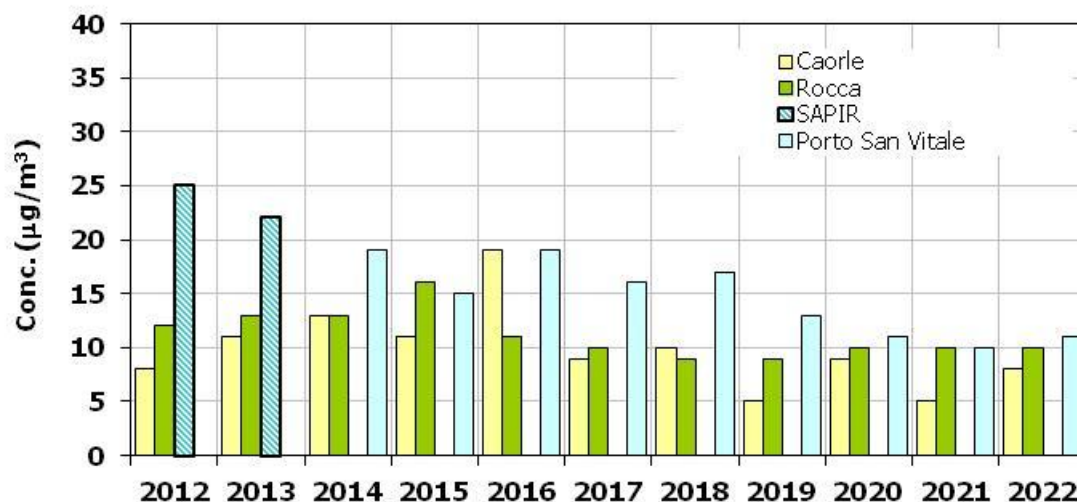


Figura 4.2 - 98° percentile medie orarie - Area urbana e industriale di Ravenna

4.2 Biossido di Azoto NO₂ e Ossidi di Azoto NO_x

Con il termine ossidi di azoto (NO_x) viene indicato genericamente l'insieme dei due più importanti ossidi di azoto a livello di inquinamento atmosferico: il monossido di azoto (NO) e il biossido di azoto (NO₂). Il primo è un gas inodore e incolore che costituisce la componente principale delle emissioni di ossidi di azoto nell'aria e viene gradualmente ossidato a NO₂, gas di colore rosso-bruno, caratterizzato da un odore acre e pungente. Il biossido di azoto (NO₂) viene normalmente generato a seguito di processi di combustione ad elevata temperatura: le principali sorgenti emissive sono il traffico veicolare, gli impianti di riscaldamento ed alcuni processi industriali; è per lo più un inquinante secondario, che svolge un ruolo fondamentale nella formazione dello smog fotochimico e delle piogge acide, ed è tra i precursori di alcune frazioni significative di particolato.

Valutazione in sintesi

<i>Indicatore</i>	<i>Copertura temporale</i>	<i>Stato attuale indicatore</i>	<i>Trend</i>
Concentrazione in aria di biossido di azoto (NO ₂)	2012 - 2022		
Superamenti dei limiti di legge per il biossido di azoto (NO ₂)	2012 - 2022		

Il biossido di azoto, inquinante che ha anche importanti interazioni sul ciclo di formazione del particolato e dell'ozono (O₃), viene misurato in tutte le stazioni della Rete (comprese quelle Locali). Il valore limite orario e della media annuale (40 µg/m³) è rispettato in tutte le stazioni della Rete da oltre 10 anni (dal 2010).

È comunque importante mantenere alta l'attenzione su questo inquinante, sia perché l'NO_x è uno dei precursori del particolato secondario e del O₃, sia per le criticità ancora riscontrate a livello regionale, in particolare, nelle concentrazioni medie annuali.

NO₂ [L.Q. = 8 µg/m³]				Concentrazioni µg/m³		Limiti Normativi		Valori guida OMS	Valori guida OMS
<i>Stazione</i>	<i>Comune</i>	<i>Tipologia</i>	<i>Efficienza %</i>	<i>Minimo</i>	<i>Massimo</i>	<i>40 µg/m³</i>	<i>Max 18</i>	<i>200 µg/m³</i>	<i>10 µg/m³</i>
						<i>Media anno</i>	<i>N° Sup. 200µg/m³ h</i>	<i>Max orario</i>	<i>Media anno</i>
Ballirana	Alfonsine	Fondo Rurale	99	< 8	53	12	0	53	12
Delta Cervia	Cervia	Fondo Sub-urb	100	< 8	54	12	0	54	12
Parco Bertozzi	Faenza	Fondo Urbano	100	< 8	85	15	0	85	15
Caorle	Ravenna	Fondo Urbano Res	100	< 8	87	17	0	87	17
Zalamella	Ravenna	Traffico	98	< 8	100	23	0	100	23
Rocca Brancaleone	Ravenna	Locale Ind/Urbano	98	< 8	91	20	0	91	20
Porto San Vitale	Ravenna	Locale Industriale	100	< 8	97	22	0	97	22

 Tabella 4.3 – NO₂: Parametri statistici e confronto con i valori previsti dalle norme

I limiti di lungo (media annuale) e di breve periodo (massimo della media oraria) del biossido di azoto nell'anno 2022 sono stati rispettati in tutte le stazioni sia in quelle delle Rete Regionale che in quelle della Rete Locale di Ravenna.

Il valore di media annuale più elevata è pari a 23 µg/m³, circa la metà del limite normativo, ed è stato registrato nella stazione di traffico (Zalamella), così come il massimo orario più alto (100 µg/m³).

Nei grafici delle Figure 4.3A e 4.3B sono rappresentate le concentrazioni medie annue di NO₂, nelle stazioni dell'area urbana ed industriale di Ravenna che in quelle di fondo sub-urbano e rurale, confrontate con il valore limite del D.Lgs 155/2010 (linea continua rosa) e con il valore limite dell'OMS-AQG (linea tratteggiata verde). Il valore limite è sempre rispettato nel decennio precedente, e dal 2015 si ha un trend in diminuzione della media annuale in tutte le stazioni che si è assestato negli ultimi anni, anche se il valore dell'OMS non è mai rispettato, neanche nelle stazioni di fondo sub-urbano e rurale che presentano valori più bassi. Le concentrazioni medie misurate nel 2022 confermano la stabilità dei valori per la maggior parte delle stazioni.

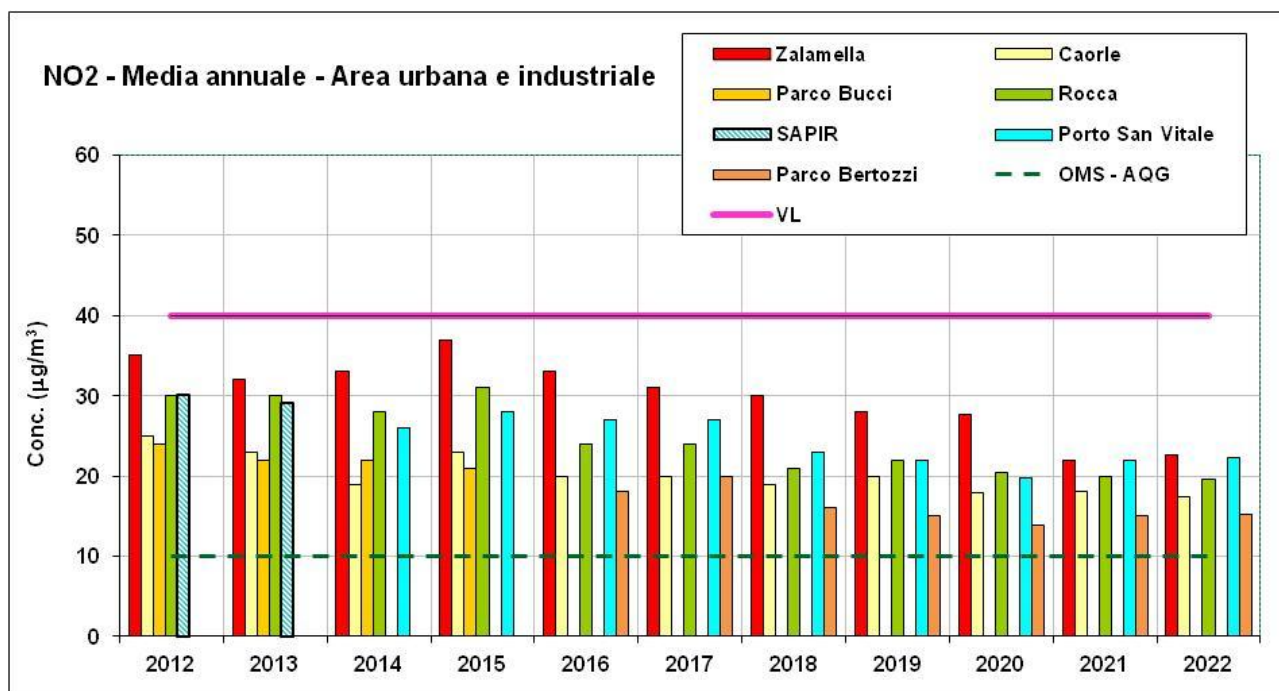


Figura 4.3A – Medie annuali - Area urbana e industriale di Ravenna

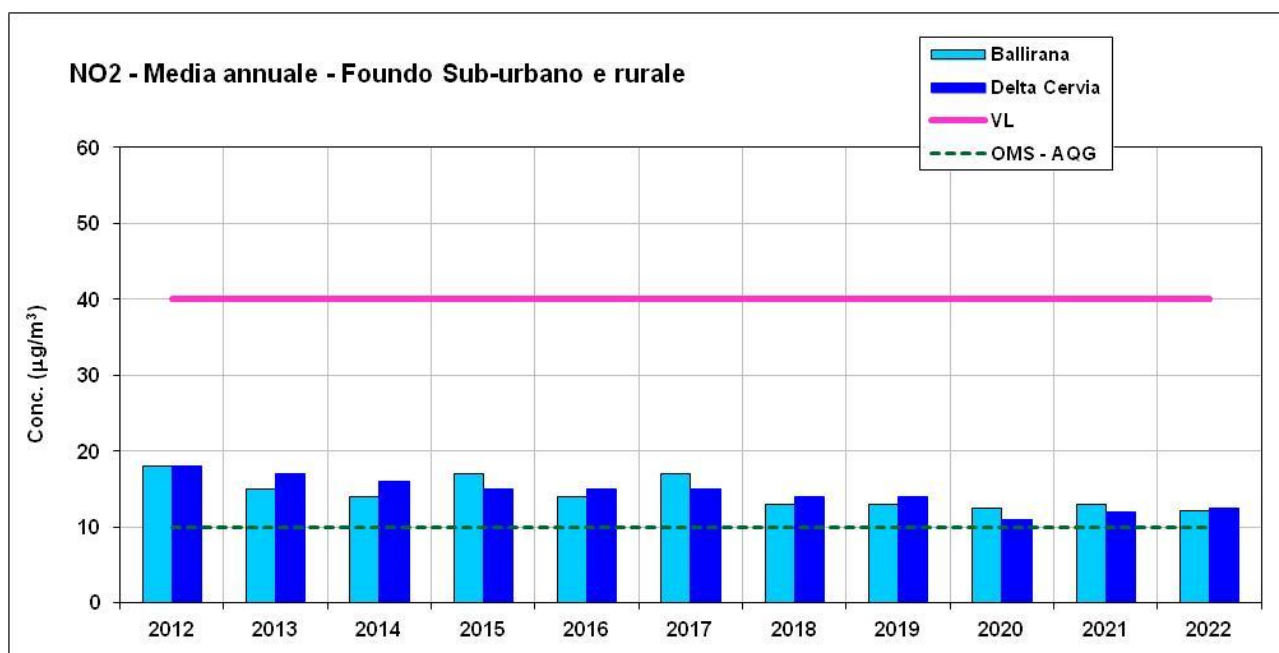


Figura 4.3B – Medie annuali - Stazioni di Fondo sub-urbano e rurale

Nelle Figure 4.4 e 4.5 sono riportate le concentrazioni medie mensili del 2022 per le stazioni in area urbana ed industriale (Figura 4.4) e per le stazioni di fondo sub urbano e rurale (Figura 4.5). L'andamento è simile in tutte le stazioni: le concentrazioni più alte si rilevano nei mesi invernali mentre, in generale, i valori assoluti delle stazioni di fondo sono più bassi.

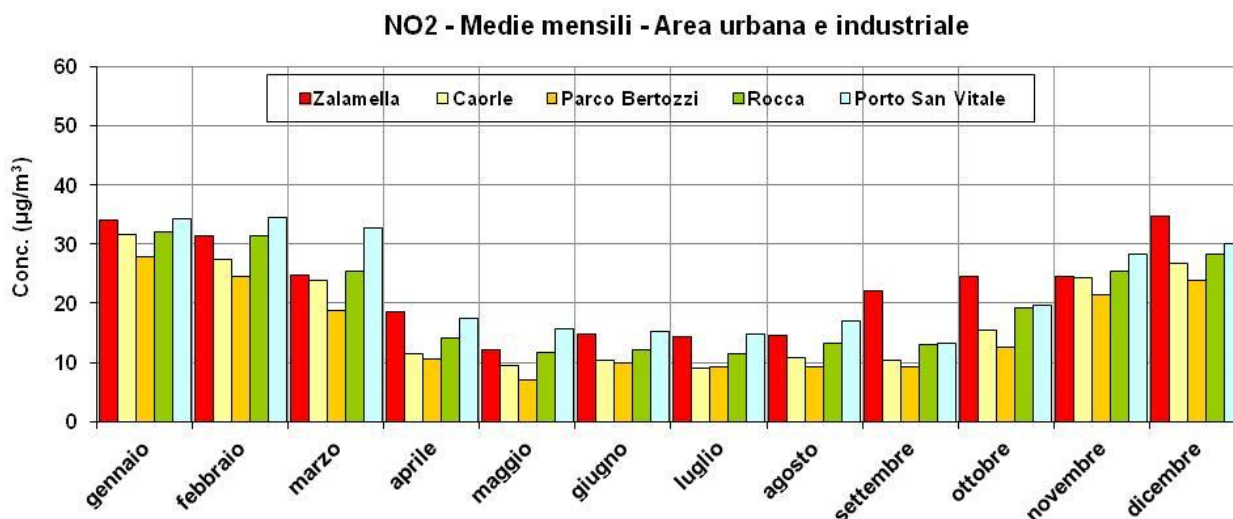


Figura 4.4 Medie Mensili - Area urbana e Industriale

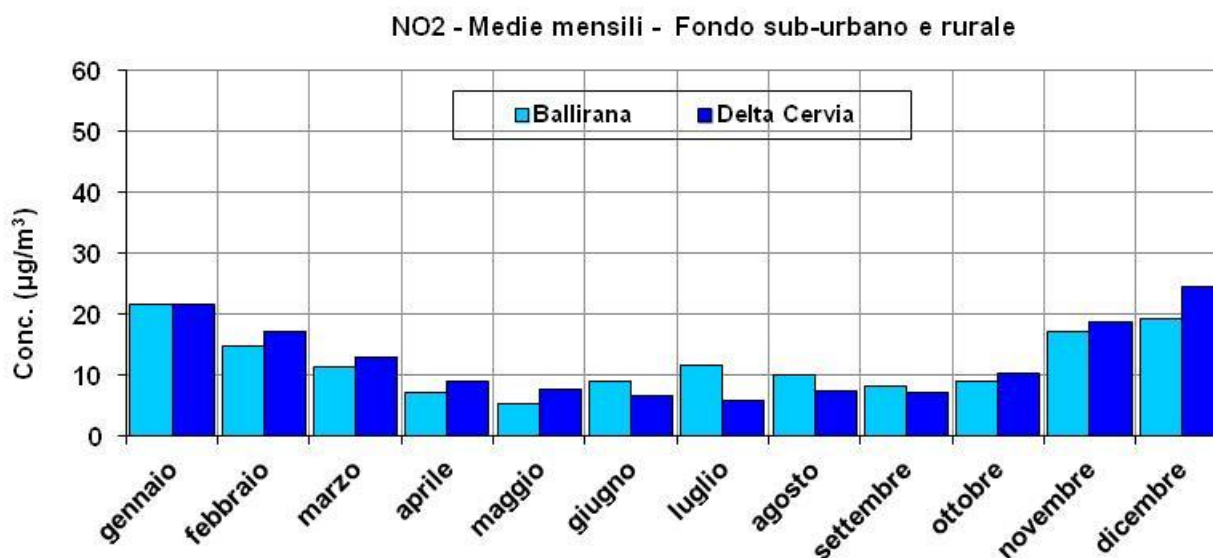
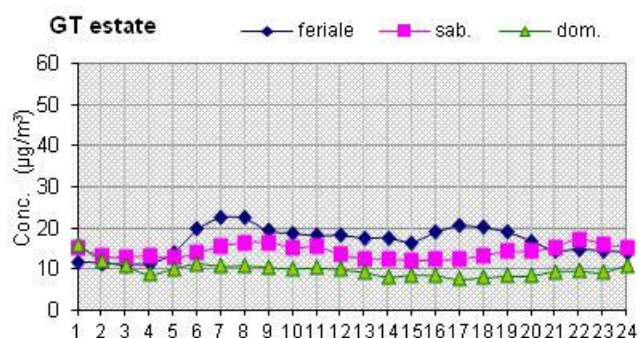
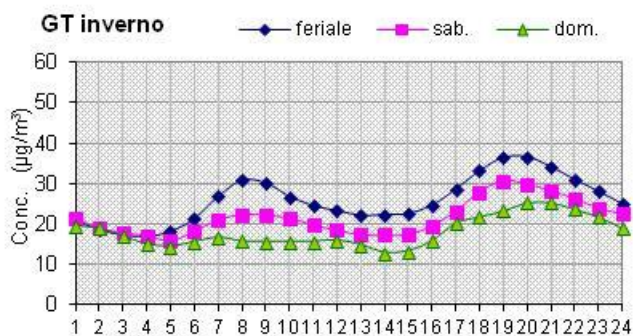
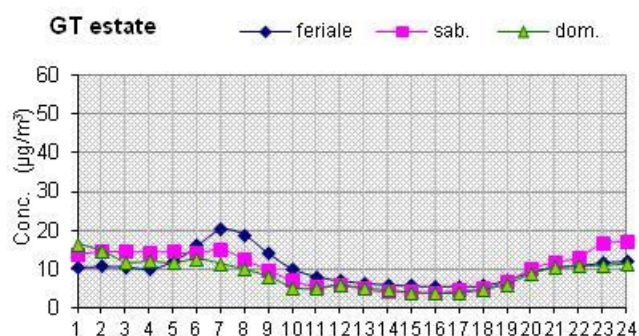
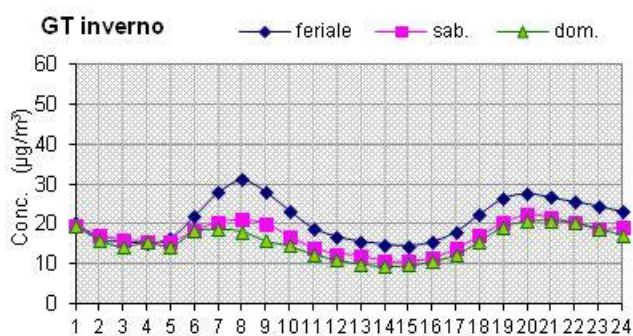


Figura 4.5 Medie Mensili – Fondo Sub-urbano e Rurale

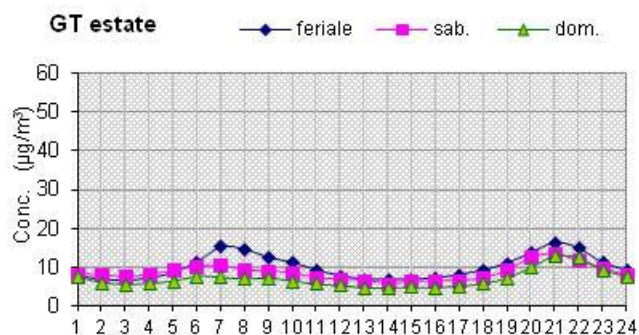
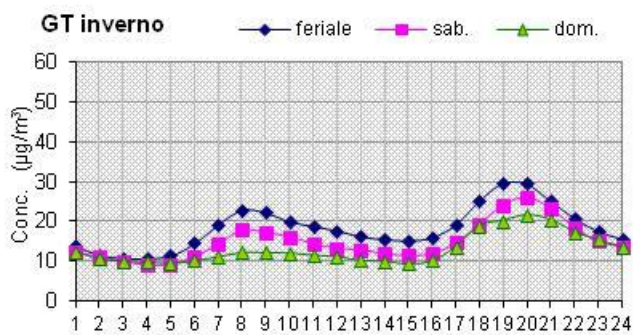
Per visualizzare l'andamento delle concentrazioni orarie di un inquinante che mediamente si riscontrano nella giornata, si può calcolare e rappresentare graficamente il «giorno tipico - GT». Il GT è calcolato effettuando la media dei dati rilevati alla stessa ora del giorno, in un determinato periodo, per tutte le 24 ore della giornata: rappresenta quindi un ipotetico giorno "medio" che permette di evidenziare situazioni di concentrazione dell'inquinante ricorrenti e minimizzare le fluttuazioni casuali. I grafici che seguono (Figura 4.6) sono relativi al GT dell'NO₂ del semestre estivo e del semestre invernale, distinguendo i giorni feriali, prefestivi e festivi.



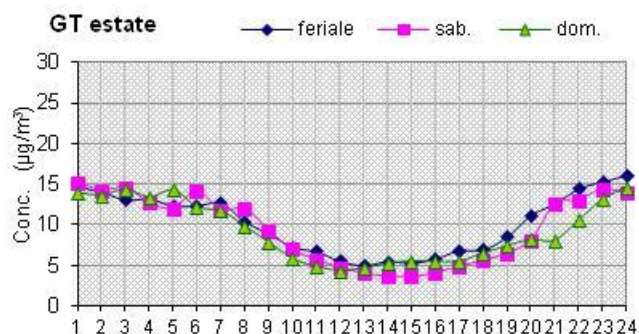
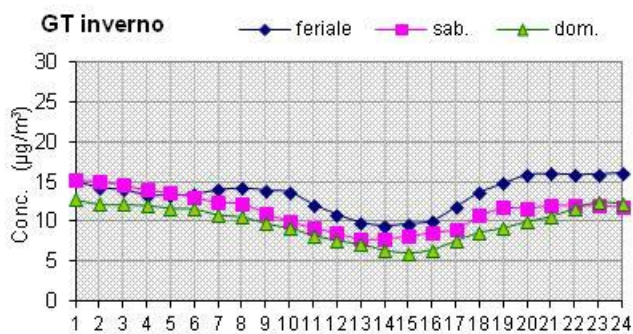
Zalamella – Traffico Urbano (TU) – Area urbana



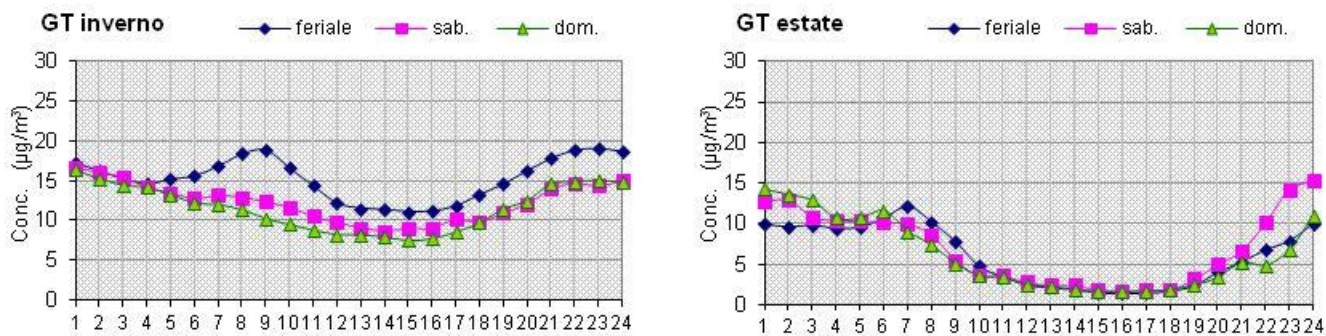
Caorle – Fondo Urbano - Residenziale (FU-Res) – Area urbana



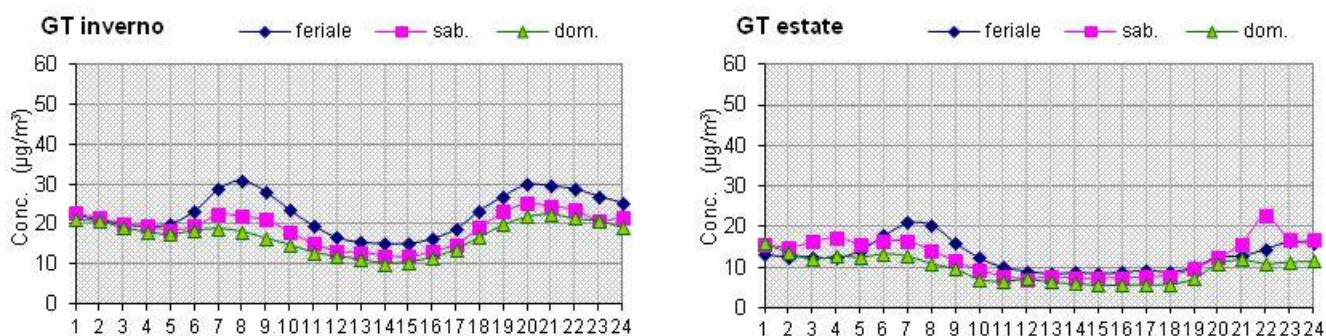
Parco Bertozzi – Fondo Urbano (FU) – Area urbana



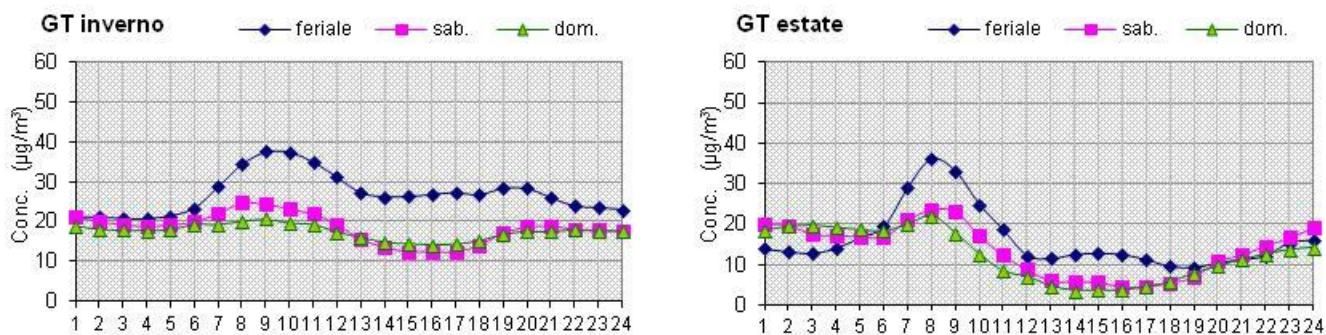
Ballirana – Fondo Rurale (FR)



Delta Cervia – Fondo Sub – Urbano (FSub-U)



Rocca Brancaleone – LOCALE - Industriale Urbana (Ind/U) – Area urbana



Porto San Vitale – LOCALE - Industriale (Ind) – Area industriale

Figura 4.6 – Biossido di azoto - giorni tipici – stazioni della rete di controllo della qualità dell'aria

Infine, in Tabella 4.4, sono riportati alcuni parametri statistici relativi alle concentrazioni orarie per la serie storica dal 2012 al 2022:

Tabella 4.4 - Andamento temporale di NO₂ dal 2012 al 2022 (concentrazioni espresse in µg/m³)

Stazione: Zalamella

	2012	2013	2014	2015	2016	2017	2018	2019	2020	2021	2022
Media	35	32	33	37	33	31	30	28	28	22	23
50°Percentile	31	29	31	33	30	27	27	25	25	19	20
90°Percentile	-	-	55	65	58	59	53	50	49	41	40
95°Percentile	-	-	66	78	70	70	62	59	59	49	48
98°Percentile	94	84	79	96	84	87	73	73	72	58	58
Max	182	161	171	144	133	152	119	119	103	94	100
> 200 µg/m ³	0	0	0	0	0	0	0	0	0	0	0
% dati validi	98	97	100	99	96	94	95	95	97	96	98

Stazione: Caorle

	2012	2013	2014	2015	2016	2017	2018	2019	2020	2021	2022
Media	25	23	19	23	20	20	19	20	18	18	17
50°Percentile	19	17	15	17	16	15	15	15	14	14	14
90°Percentile	-	-	41	49	43	46	42	43	39	39	35
95°Percentile	-	-	47	58	50	54	49	49	47	46	41
98°Percentile	76	65	55	68	58	62	58	57	55	55	50
Max	166	136	120	99	85	103	93	91	82	83	87
> 200 µg/m ³	0	0	0	0	0	0	0	0	0	0	0
% dati validi	98	99	95	94	98	96	95	97	99	99	100

Stazione: Parco Bucci (fino al 2015) e Parco Bertozzi (dal 2016)

	2012	2013	2014	2015	2016	2017	2018	2019	2020	2021	2022
Media	24	22	22	21	18	20	16	15	14	15	15
50°Percentile	19	17	19	16	13	15	11	11	10	11	12
90°Percentile	-	-	42	44	40	45	38	35	30	33	32
95°Percentile	-	-	48	52	48	54	46	42	37	39	38
98°Percentile	75	63	54	62	56	63	55	49	45	45	45
Max	157	98	100	96	92	121	92	77	76	75	85
> 200 µg/m ³	0	0	0	0	0	0	0	0	0	0	0
% dati validi	98	99	88	86	95	95	95	99	100	100	100

Stazione: Ballirana

	2012	2013	2014	2015	2016	2017	2018	2019	2020	2021	2022
Media	18	15	14	17	14	17	13	13	13	13	12
50°Percentile	13	11	12	15	10	14	10	10	10	10	11
90°Percentile	-	-	28	34	31	35	29	27	26	25	24
95°Percentile	-	-	33	39	39	42	36	33	32	31	28
98°Percentile	65	50	37	45	44	48	44	38	41	36	33
Max	117	92	58	74	70	74	70	51	61	52	53
> 200 µg/m ³	0	0	0	0	0	0	0	0	0	0	0
% dati validi	98	96	95	90	98	99	99	99	98	95	99

Stazione: Delta Cervia

	2012	2013	2014	2015	2016	2017	2018	2019	2020	2021	2022
Media	18	17	16	15	15	15	14	14	11	12	12
50°Percentile	15	13	13	12	12	11	11	11	8	10	11
90°Percentile	-	-	36	36	32	37	32	30	25	27	26
95°Percentile	-	-	42	42	39	44	38	36	31	32	30
98°Percentile	59	52	48	48	46	50	45	41	39	37	36
Max	109	92	73	72	71	85	69	56	70	53	54
> 200 µg/m³	0	0	0	0	0	0	0	0	0	0	0
% dati validi	99	93	92	94	97	97	99	99	98	95	100

Stazione: Rocca Brancaleone

	2012	2013	2014	2015	2016	2017	2018	2019	2020	2021	2022
Media	30	30	28	31	24	24	21	22	20	20	20
50°Percentile	25	27	25	27	20	20	18	18	15	15	16
90°Percentile	-	-	49	59	46	50	43	47	46	41	37
95°Percentile	-	-	57	66	55	58	51	55	54	51	44
98°Percentile	83	71	71	74	64	67	57	65	64	61	54
Max	153	130	149	110	101	118	122	99	102	105	91
> 200 µg/m³	0	0	0	0	0	0	0	0	0	0	0
% dati validi	98	99	93	98	94	97	95	94	99	95	98

Stazione: SAPIR (fino al 2013) e Porto San Vitale (dal 2014)

	2012	2013	2014	2015	2016	2017	2018	2019	2020	2021	2022
Media	30	29	26	28	27	27	23	22	20	22	22
50°Percentile	27	26	25	26	26	24	21	19	18	21	20
90°Percentile	-	-	45	51	51	52	43	42	36	42	41
95°Percentile	-	-	51	58	57	59	50	48	41	47	47
98°Percentile	80	70	57	67	64	67	58	54	47	54	56
Max	137	130	98	106	118	98	82	77	67	83	97
> 200 µg/m³	0	0	0	0	0	0	0	0	0	0	0
% dati validi	95	93	94	96	99	92	96	98	99	100	100

Per gli ossidi di azoto (NO_x) la normativa indica un valore limite annuale per la protezione della vegetazione pari a 30 µg/m³ (somma di monossido e biossido di azoto calcolata in ppm ed espressa come biossido di azoto) e dà indicazioni circa il posizionamento delle stazioni in cui verificare il rispetto del limite. In particolare, i punti di campionamento destinati alla protezione degli ecosistemi o della vegetazione dovrebbero essere ubicati a più di 20 km dagli agglomerati o a più di 5 km da aree edificate diverse dagli agglomerati o da impianti industriali e da autostrade. Nella RRQA della provincia di Ravenna la stazione che soddisfa questi criteri è quella di fondo rurale denominata "Ballirana". In questa postazione, la concentrazione media annuale di NO_x misurata nel 2022 è inferiore al limite per la protezione della vegetazione (Tabella 4.5).

NO_x	Riferimenti normativi	Ballirana
D.Lgs. 155/2010	Protezione della vegetazione Media annuale	17 µg/m ³



Tabella 4.5 - NO_x: media annuale 2022

4.3 Monossido di Carbonio CO

Il monossido di carbonio (CO) è un gas incolore e inodore generato dalla combustione incompleta delle sostanze contenenti carbonio, in condizioni di difetto di aria, cioè quando il quantitativo di ossigeno non è sufficiente ad ossidare in modo completo le sostanze organiche.

La principale sorgente è il traffico veicolare. Le concentrazioni di CO emesse dai veicoli sono correlate alle condizioni di funzionamento del motore e i picchi più elevati si registrano durante le fasi di decelerazione e con motore al minimo. La continua evoluzione tecnologica ha permesso negli ultimi anni una consistente riduzione di questo inquinante.

Valutazione in sintesi

Indicatore	Copertura temporale	Stato attuale indicatore	Trend
Concentrazione in aria di monossido di carbonio (CO)	2012 - 2022		

L'attuale configurazione della Rete Regionale prevede la misura del monossido di carbonio (CO) nella sola postazione di traffico urbano, dove potenzialmente la concentrazione di tale inquinante è più elevata: pertanto nel nostro caso il CO è rilevato nella stazione Zalamella.

A Ravenna, tale inquinante viene misurato anche nelle due stazioni Locali: Rocca Brancaleone (industriale/urbana) e Porto San Vitale (industriale).

I valori di monossido di carbonio mostrano una continua diminuzione nell'ultimo decennio, in tutte le postazioni ed il valore limite per la protezione della salute umana è ampiamente rispettato in tutte le stazioni della rete di Ravenna già da molti anni.

CO [L.Q. = 0.4 mg/m ³]				Concentrazioni in mg/m ³			Limiti Normativi	Valori guida OMS	
Stazione	Comune	Tipologia	Efficienza %	Minimo	Massimo	Media	Media Max 8 ore	Media Max 1 ora	Media Max 8 ore
							10 mg/m ³	35 mg/m ³	10 mg/m ³
Zalamella	Ravenna	Traffico	100	< 0.4	2.8	0.5	1.0	2.8	1.0
Rocca Brancaleone	Ravenna	Locale Ind/Urbano	100	< 0.4	1.7	<0.4	0.6	1.7	0.6
Porto San Vitale	Ravenna	Locale Industriale	100	< 0.4	3.2	0.4	0.6	3.2	0.6

Tabella 4.6 – CO: parametri statistici e confronto con i valori previsti dalle norme

Il valore limite per la protezione della salute umana indicato dal D.Lgs. 155/2010 - media massima giornaliera su otto ore pari a 10 mg/m³ - non è mai stato superato neppure nel 2022.

Il valore più alto della media oraria è pari a 3.2 mg/m³, registrato nella stazione Locale industriale di Porto San Vitale; inoltre in tutte le postazioni, la maggior parte dei dati è minore o uguale al limite di quantificazione strumentale (0.4 mg/m³): 51% a Zalamella, 63% a Rocca Brancaleone; 75% a Porto San Vitale.

I dati degli ultimi anni (Tabella 4.7) confermano che le concentrazioni sono molto basse e decisamente inferiori al limite di legge. Tale andamento, ormai consolidato, fa presupporre che anche in futuro questo inquinante non presenterà particolari criticità.

Tabella 4.7 - Andamento temporale di CO dal 2012 al 2022 (concentrazioni espresse in mg/m³)

Stazione: Zalamella

	2012	2013	2014	2015	2016	2017	2018	2019	2020	2021	2022
Media	0.5	0.6	0.6	0.6	0.5	0.6	0.5	0.5	0.5	0.5	0.5
50°Percentile	0.3	0.6	0.5	0.5	0.4	0.5	0.4	0.4	0.5	0.5	0.4
90°Percentile	-	-	0.9	1.0	0.9	0.9	0.8	0.8	0.9	0.7	0.8
95°Percentile	-	-	1.1	1.2	1.1	1.1	0.9	1.0	1.1	0.8	0.9
98°Percentile	1.4	1.5	1.3	1.6	1.4	1.3	1.1	1.2	1.3	1.0	1.1
Max	3.8	4.4	2.9	3.2	3.1	3.1	3.0	2.9	3.8	2.9	2.8
Max media 8 h	2.4	3.3	0.6	0.8	0.7	0.8	1.2	1.0	0.5	0.7	1.0
% dati validi	98	98	100	99	100	98	100	98	100	100	100

Stazione: Rocca Brancaleone

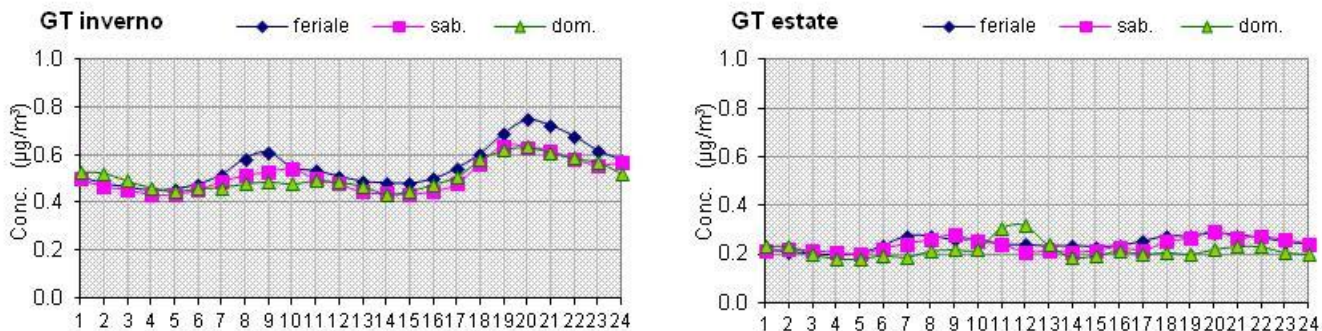
	2012	2013	2014	2015	2016	2017	2018	2019	2020	2021	2022
Media	0.3	0.3	0.3	0.5	0.4	0.4	0.4	0.3	0.4	0.4	0.3
50°Percentile	0.2	0.3	0.3	0.4	0.3	0.3	0.4	0.3	0.4	0.4	0.3
90°Percentile	-	-	0.5	0.8	0.7	0.7	0.6	0.6	0.6	0.6	0.6
95°Percentile	-	-	0.6	0.9	0.8	0.9	0.8	0.7	0.7	0.7	0.7
98°Percentile	1.0	1.0	0.8	1.1	1.0	1.1	0.9	0.8	0.9	0.9	0.8
Max	2.7	2.4	2.2	2.6	2.1	2.1	2.9	2.0	1.6	1.7	1.7
Max media 8 h	1.5	1.9	0.3	0.5	0.6	0.6	0.8	0.6	0.5	0.7	0.6
% dati validi	98	100	98	99	100	100	97	98	100	99	100

Stazione: Porto San Vitale

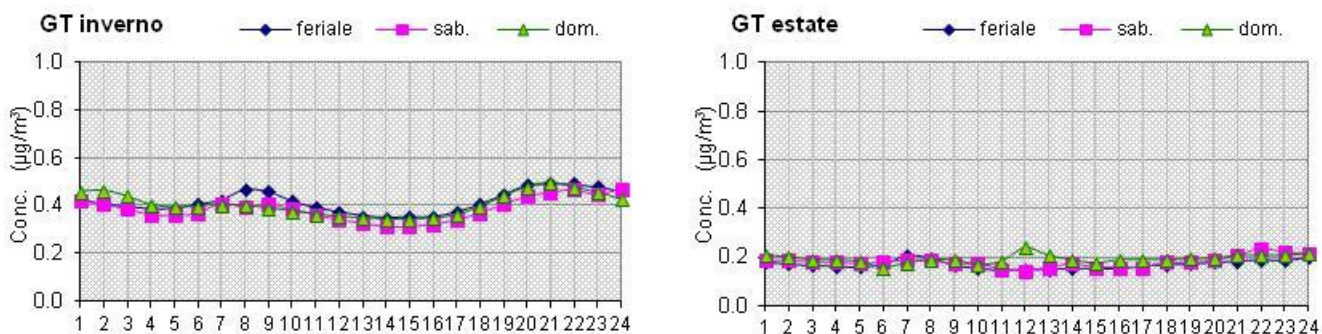
	2012	2013	2014	2015	2016	2017	2018	2019	2020	2021	2022
Media	-	-	0.4	0.4	0.3	0.3	0.3	0.3	0.3	0.4	0.4
50°Percentile	-	-	0.3	0.4	0.3	0.3	0.3	0.3	0.3	0.3	0.3
90°Percentile	-	-	0.6	0.7	0.6	0.6	0.5	0.5	0.6	0.7	0.6
95°Percentile	-	-	0.7	0.8	0.7	0.7	0.6	0.6	0.7	0.7	0.6
98°Percentile	-	-	0.8	1.0	0.9	0.8	0.7	0.7	0.9	0.9	0.7
Max	-	-	1.3	1.8	3.2	2.8	2.6	1.3	2.3	4.0	3.2
Max media 8 h	-	-	0.3	0.5	0.4	0.5	0.6	0.6	0.3	0.6	0.6
% dati validi	-	-	94	96	99	98	99	99	99	99	100

I grafici successivi (figura 4.7) mostrano i giorni tipici feriali, prefestivi e festivi, suddivisi per il periodo invernale (gen-mar e ott-dic) ed estivo (apr-set). Le concentrazioni sono maggiori nel periodo invernale, ma restano sempre molto contenute.

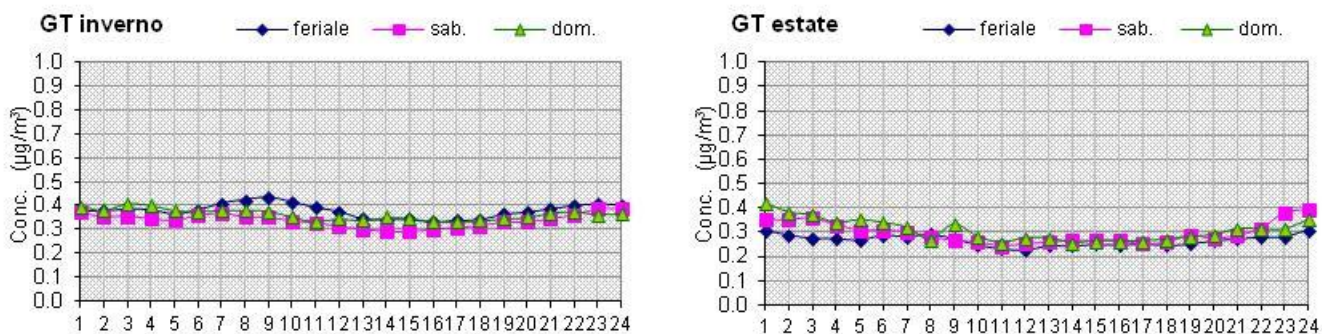
Nel grafico invernale della stazione di traffico (Zalamella) si evidenziano due "picchi": uno intorno alle 8 e l'altro intorno alle 20, in corrispondenza degli orari di punta del traffico cittadino. Agli stessi orari sono presenti concentrazioni mediamente più alte anche a Rocca Brancaleone, sebbene la variazione – come si vede nel grafico corrispondente - sia meno pronunciata anche perché la stazione è più distante dalla strada.



Zalamella – Traffico Urbano – Area urbana



Rocca Brancaleone – LOCALE - Industriale/Urbana – Area urbana



Porto San Vitale – LOCALE Industriale – Area industriale

Figura 4.7 – Monossido di carbonio - Giorni tipici – anno 2022

4.4 Ozono O₃

L'Ozono O₃ è un gas molto reattivo presente in atmosfera. Negli strati alti (stratosfera) è di origine naturale e aiuta a proteggere la vita sulla terra formando uno strato protettivo che filtra i raggi ultravioletti del sole, mentre negli strati più bassi (troposfera), se presente in concentrazioni elevate, provoca disturbi irritativi all'apparato respiratorio e danni alla vegetazione.

L'Ozono di origine naturale si forma per interazione tra composti organici emessi in natura e l'ossigeno dell'aria sotto l'irradiazione solare, mentre quello di origini antropica si forma a seguito di reazioni con sostanze precursori quali composti organici volatili (COV) e ossidi di azoto. L'immissione di inquinanti primari, prodotti da traffico, processi di combustione, solventi delle vernici, evaporazione di carburanti, etc., favorisce la produzione di un eccesso di Ozono rispetto alle quantità presenti in natura durante i mesi estivi.

Valutazione in sintesi

<i>Indicatore</i>	<i>Copertura temporale</i>	<i>Stato attuale indicatore</i>	<i>Trend</i>
Concentrazione in aria a livello del suolo di Ozono	2012 – 2022		
Superamento dei valori obiettivo previsti dalla normativa per l'Ozono	2012 – 2022		

L'ozono viene misurato nelle stazioni di Fondo: urbano, sub-urbano e rurale, dove è previsto che le concentrazioni siano più elevate, in virtù dell'origine secondaria di questo inquinante.

A Ravenna si effettuano misure di ozono anche nelle stazioni Locali di Rocca Brancaleone (industriale/urbana) e Porto San Vitale (industriale).

I valori di ozono misurati nel 2022 presentano un lieve incremento rispetto al 2021 infatti si è registrato un superamento della soglia di informazione ($180 \mu\text{g}/\text{m}^3$) nella stazione di fondo sub-urbano di Delta Cervia, mentre lo scorso anno questo valore non era mai stato superato. La soglia di allarme ($240 \mu\text{g}/\text{m}^3$) non è mai stata superata.

Il superamento del valore obiettivo per la protezione della salute umana, come per il 2021, (superamento della media massima giornaliera su 8 h di $120 \mu\text{g}/\text{m}^3$ per più di 25 giorni, calcolata come media degli ultimi tre anni) è stato registrato sempre nella sola stazione di Delta Cervia.

Sebbene il trend storico registri una stabilizzazione in termini di concentrazione di questo inquinante negli ultimi anni, occorre sottolineare che è comunque un inquinante critico per l'intero territorio regionale in quanto i livelli di ozono sono riconducibili all'origine fotochimica e alla natura esclusivamente secondaria di questo inquinante, caratteristiche che rendono la riduzione delle concentrazioni di ozono più complessa rispetto a quella di altri inquinanti primari. Infatti, spesso i precursori dell'ozono sono prodotti anche a distanze notevoli rispetto al punto in cui vengono misurate le concentrazioni maggiori di questo inquinante, e questo rende decisamente più difficile intervenire e pianificare azioni di risanamento/mitigazione.

O_3 [L.Q. = $8 \mu\text{g}/\text{m}^3$]				Concentrazioni in $\mu\text{g}/\text{m}^3$		Soglia informazione		Soglia allarme	Valori guida OMS
Stazione	Comune	Tipologia	Efficienza %	Minimo	Massimo	$180 \mu\text{g}/\text{m}^3$		$240 \mu\text{g}/\text{m}^3$	$100 \mu\text{g}/\text{m}^3$
						ore di Sup.	giorni di Sup.	ore di Sup	Max Media 8 ore
Ballirana	Alfonsine	Fondo Rurale	95	< 8	165	0	0	0	151
Delta Cervia	Cervia	Fondo Sub-urb	100	< 8	182	1	1	0	162
Parco Bertozzi	Faenza	Fondo Urbano	100	< 8	175	0	0	0	161
Caorle	Ravenna	Fondo Urbano Res	100	< 8	175	0	0	0	158
Rocca Brancaleone	Ravenna	Locale Ind/Urbano	100	< 8	153	0	0	0	135
Porto San Vitale	Ravenna	Locale Industriale	96	< 8	179	0	0	0	157

O_3	Valori obiettivo per la protezione della salute umana e della vegetazione											
	N. gg superamenti di $120 \mu\text{g}/\text{m}^3$ della media massima di 8 h da non superare per più di 25 gg (media 3 anni)										AOT 40 ¹ ($\mu\text{g}/\text{m}^3 \text{ h}$) 18000 media 5 anni	
Stazione	mar	apr	mag	giu	lug	ago	set	ott	Anno	Media 3 anni	Anno	Media 5 anni
Ballirana	0	0	5	5	14	5	0	0	29	20	26002	18064
Delta Cervia	2	1	12	15	17	5	0	0	52	34	34846	26346
Parco Bertozzi	0	0	2	6	13	6	0	0	27	21	24825	17846
Caorle	0	1	6	5	12	2	0	0	26	23	27816	22952
Rocca Brancaleone	0	0	0	0	5	0	0	0	5	8	13368	16424
Porto San Vitale	0	0	1	2	11	1	0	0	15	15	20466	16972

1 - Accumulated exposure Over Threshold of 40 ppb → valuta la qualità dell'aria tramite la somma delle differenze tra le concentrazioni orarie superiori a $80 \mu\text{g}/\text{m}^3$ (= 40 ppb per l'Ozono) e $80 \mu\text{g}/\text{m}^3$ rilevate da maggio a luglio in orario 8-20.

Tabella 4.8 – O_3 : parametri statistici e confronto con i valori previsti dalle norme

Il D.Lgs. 155/2010, oltre agli obiettivi a lungo termine per la protezione della salute umana e della vegetazione, fissa:

- la soglia di informazione (media oraria > $180 \mu\text{g}/\text{m}^3$): livello oltre il quale sussiste un rischio per la salute umana in caso di esposizione di breve durata per alcuni gruppi della popolazione particolarmente sensibili, il cui raggiungimento impone di assicurare informazioni adeguate e tempestive;
- la soglia di allarme (media oraria > $240 \mu\text{g}/\text{m}^3$ per tre ore consecutive): livello oltre il quale sussiste un rischio per la salute umana in caso di esposizione di breve durata per la

popolazione nel suo complesso ed il cui raggiungimento impone l'adozione di provvedimenti immediati.

Come già spiegato, l'ozono è un inquinante secondario che si forma a seguito di complesse reazioni fotochimiche (favorite dalla radiazione solare) a partire da inquinanti primari (o precursori) immessi direttamente in atmosfera, quali gli ossidi di azoto e i composti organici volatili.

Per questo motivo, le stazioni in cui si misura l'ozono sono stazioni di fondo:

Finalità della misurazione	Tipo di stazione	Stazioni RRQA Ravenna
protezione della salute umana	Fondo Urbano	Parco Bertozzi e Caorle
protezione della salute umana/ protezione della vegetazione	Fondo Sub Urbano Fondo Rurale	Delta Cervia Ballirana

A Ravenna l'ozono viene rilevato anche nelle due stazioni Locali, in quanto tali postazioni sono vicine o sottovento alla zona industriale, quindi a fonti potenzialmente significative di inquinanti precursori.

La formazione dell'ozono dipende anche dall'intensità della radiazione solare, pertanto l'andamento delle concentrazioni di ozono troposferico ha una spiccata stagionalità (le più significative si rilevano nel periodo primavera-estate come illustrato nelle Figure 4.8 e 4.9) ed un caratteristico andamento giornaliero, con il massimo di concentrazione in corrispondenza delle ore di maggiore insolazione (ore 13 ÷ 14 - Figura 4.10).

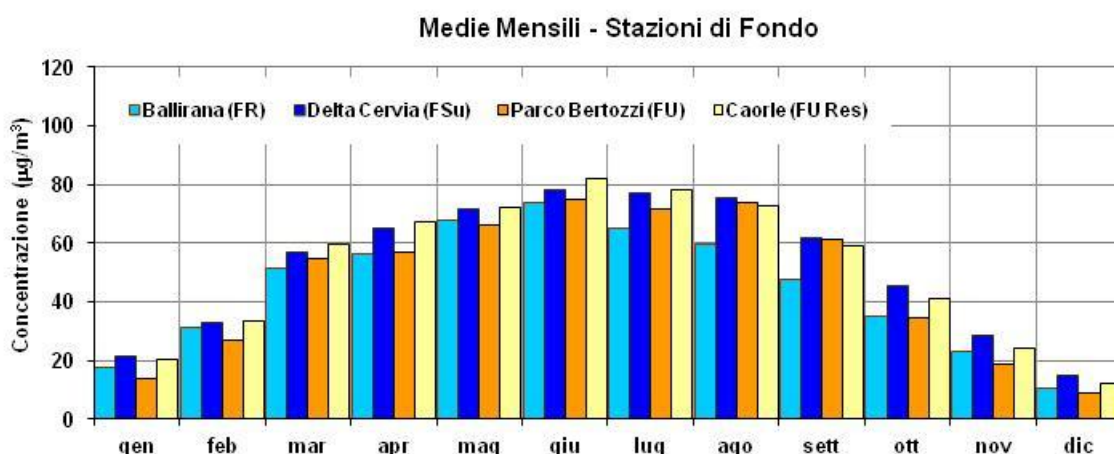


Figura 4.8 Concentrazioni medie mensili Stazioni di Fondo – anno 2022

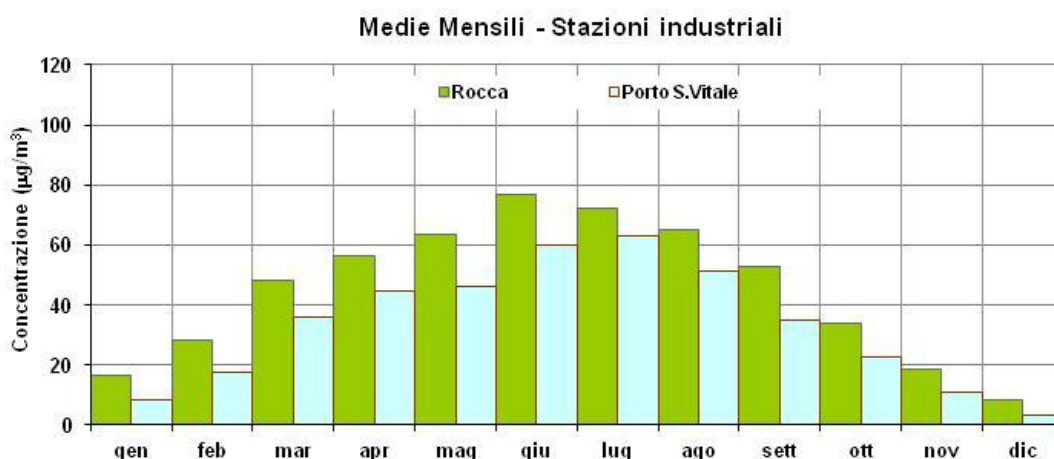
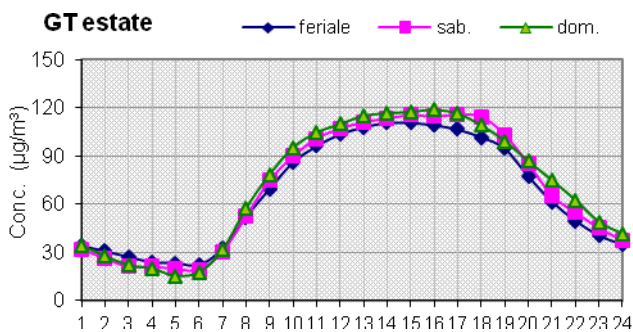


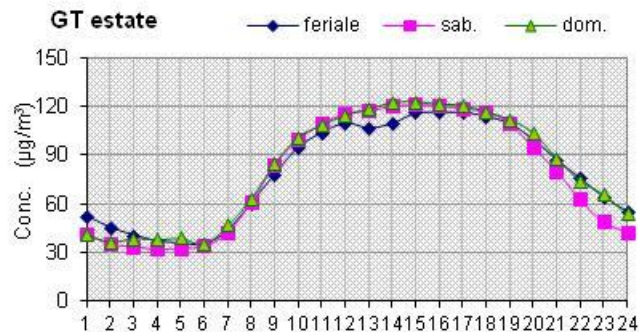
Figura 4.9 Concentrazioni medie mensili Stazioni LOCALI Industriali – anno 2022

Gli andamenti giornalieri delle concentrazioni di ozono nelle stazioni sono molto simili: il minimo è tra le 6 e le 7 del mattino (quando l'ozono prodotto il giorno precedente è completamente diffuso) ed il massimo si riscontra nelle ore centrali del pomeriggio, quando è più intensa l'insolazione e quindi maggiore la formazione dell'inquinante.

Stazioni di Fondo

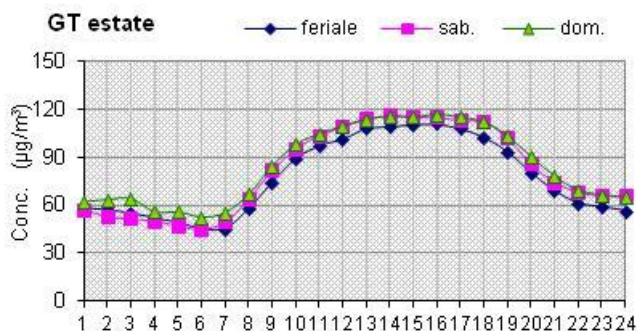


Ballirana (FR)

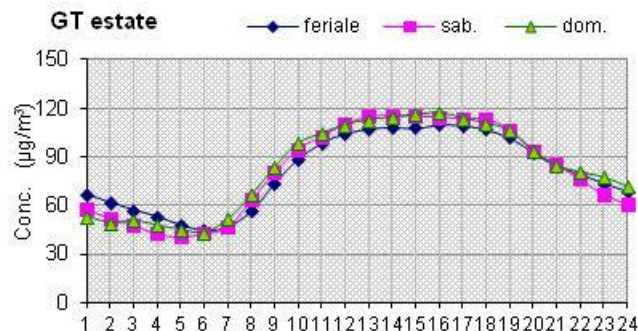


Delta Cervia (FSubU)

Stazione di Fondo Urbano

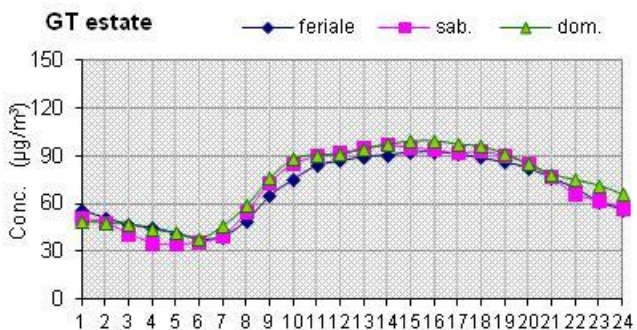


Parco Bertozzi (FU)

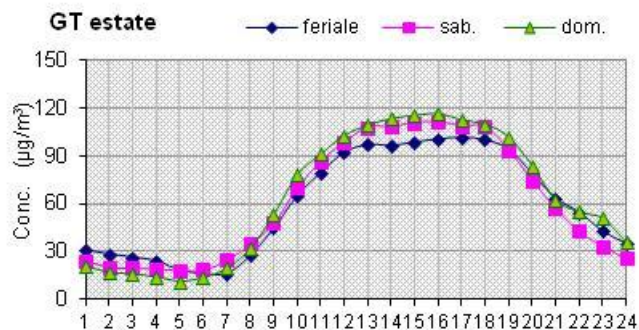


Caorle (FU Res)

Stazioni LOCALI Industriali



Rocca Brancaleone (Ind./Urbana)



Porto San Vitale (Ind)

Figura 4.10 - Ozono: giorni tipici estivi – anno 2022

Il valore obiettivo per la protezione della salute umana (superamento della media massima giornaliera su 8 h di $120 \mu\text{g}/\text{m}^3$ per più di 25 giorni, calcolata come media degli ultimi tre anni), nel 2022, è stato superato nella stazione di fondo sub-urbano di Delta Cervia (34 superamenti). Il numero di giorni di superamento dei $120 \mu\text{g}/\text{m}^3$ dal 2012 al 2022, per ogni singolo anno, è riportato in Figura 4.11.

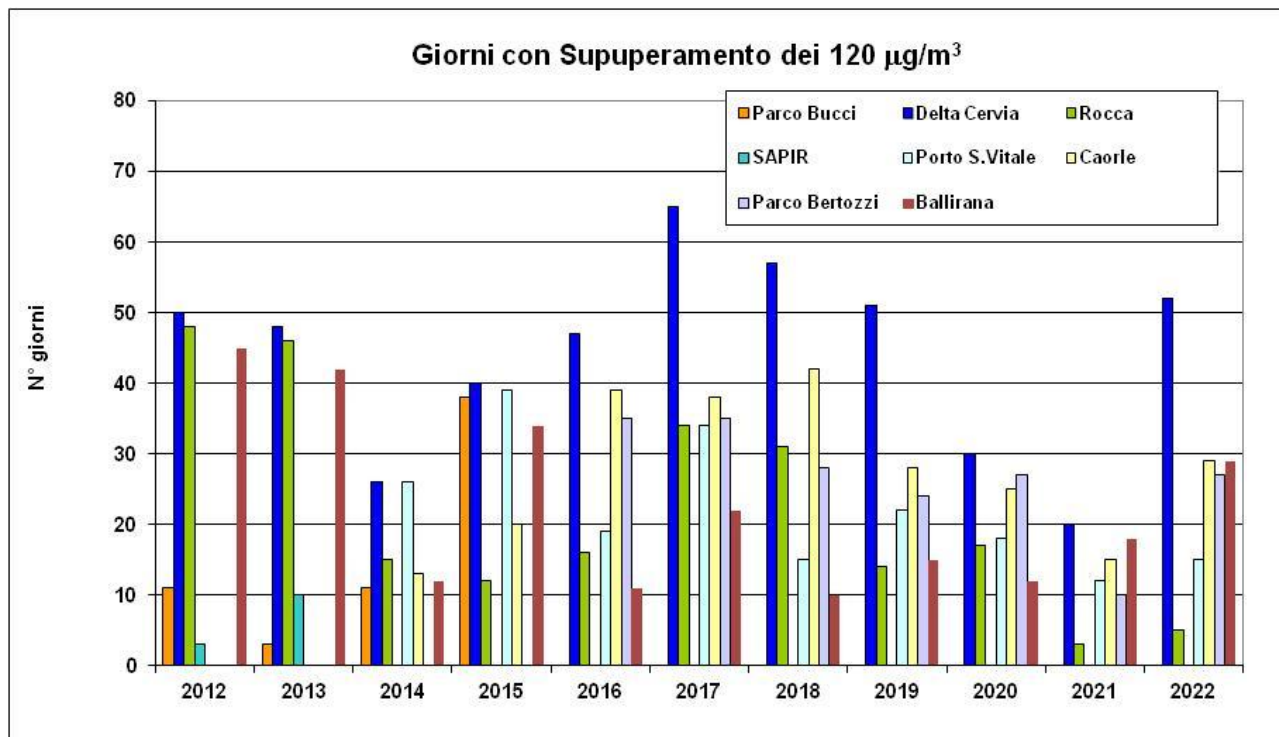


Figura 4.11 Giorni con superamento dei $120 \mu\text{g}/\text{m}^3$ - periodo 2012 - 2022

Per quanto riguarda gli episodi acuti, la soglia di informazione ($180 \mu\text{g}/\text{m}^3$) nell'anno 2022 è stata superata in un'ora di una sola giornata presso la stazione Delta Cervia ($182 \mu\text{g}/\text{m}^3$ il 15/7/2022 dalle 12 alle 13) mentre non è mai stata superata la soglia d'allarme ($240 \mu\text{g}/\text{m}^3$). Infine, si riportano in Tabella 4.9 alcuni parametri statistici relativi all'ozono, calcolati nel periodo dal 2012 al 2022.

Tabella 4.9 - Andamento temporale dell'ozono dal 2012 al 2022 (concentrazioni espresse in $\mu\text{g}/\text{m}^3$)

Stazione: Parco Bucci (fino al 2015) e Parco Bertozzi (dal 2016)

	2012	2013	2014	2015	2016	2017	2018	2019	2020	2021	2022
Media	-	-	39	43	49	51	48	48	49	47	50
50°Percentile	-	-	32	34	45	48	44	45	47	45	47
90°Percentile	-	-	86	99	98	100	98	96	97	92	102
95°Percentile	-	-	100	115	112	113	112	110	110	103	115
98°Percentile	-	-	114	133	128	130	127	123	124	114	126
Max orario $\mu\text{g}/\text{m}^3$	154	140	164	187	178	180	173	165	166	158	175
N° giorni sup 120 $\mu\text{g}/\text{m}^3$	11	3	11	38	35	35	28	24	27	10	27
N° giorni sup 180 $\mu\text{g}/\text{m}^3$	0	0	0	1	0	0	0	0	0	0	0
N° giorni sup 240 $\mu\text{g}/\text{m}^3$	0	0	0	0	0	0	0	0	0	0	0
% dati validi	99	98	97	95	99	99	98	98	100	100	100

Stazione: Ballirana

	2012	2013	2014	2015	2016	2017	2018	2019	2020	2021	2022
Media	-	-	41	41	39	41	36	42	42	45	46
50°Percentile	-	-	34	31	32	34	28	35	34	38	37
90°Percentile	-	-	92	99	88	93	87	92	92	97	103
95°Percentile	-	-	103	114	101	106	100	105	103	108	115
98°Percentile	-	-	114	128	113	122	113	119	115	121	126
Max orario $\mu\text{g}/\text{m}^3$	204	190	180	171	156	182	156	204	156	172	165
N° giorni sup 120 $\mu\text{g}/\text{m}^3$	45	42	12	34	-	22	10	15	12	18	29
N° giorni sup 180 $\mu\text{g}/\text{m}^3$	3	2	0	0	0	1	0	1	0	0	0
N° giorni sup 240 $\mu\text{g}/\text{m}^3$	0	0	0	0	0	0	0	0	0	0	0
% dati validi	99	98	94	90	98	99	99	97	96	100	95

Stazione: Delta Cervia

	2012	2013	2014	2015	2016	2017	2018	2019	2020	2021	2022
Media	-	-	47	49	51	56	52	53	49	52	54
50°Percentile	-	-	40	43	46	50	45	47	44	48	46
90°Percentile	-	-	102	105	106	114	111	109	101	101	112
95°Percentile	-	-	113	119	120	126	123	121	113	111	122
98°Percentile	-	-	125	133	133	141	134	133	127	120	133
Max orario $\mu\text{g}/\text{m}^3$	186	214	190	196	167	198	185	216	170	171	182
N° giorni sup 120 $\mu\text{g}/\text{m}^3$	50	48	26	40	47	65	52	51	30	20	52
N° giorni sup 180 $\mu\text{g}/\text{m}^3$	3	6	1	1	0	4	1	2	0	0	1
N° giorni sup 240 $\mu\text{g}/\text{m}^3$	0	0	0	0	0	0	0	0	0	0	0
% dati validi	99	96	96	94	93	94	95	96	99	98	100

Stazione: Caorle

	2012	2013	2014	2015	2016	2017	2018	2019	2020	2021	2022
Media	-	-	46	47	51	54	53	52	53	52	54
50°Percentile	-	-	44	44	49	53	50	50	53	52	51
90°Percentile	-	-	94	96	104	107	107	101	101	97	106
95°Percentile	-	-	104	109	116	118	119	113	112	106	116
98°Percentile	-	-	118	123	130	135	133	127	124	118	126
Max orario $\mu\text{g}/\text{m}^3$	-	-	177	198	187	190	174	198	173	152	175
N° giorni sup 120 $\mu\text{g}/\text{m}^3$	-	-	13	20	39	38	42	28	25	15	26
N° giorni sup 180 $\mu\text{g}/\text{m}^3$	-	-	0	1	2	2	0	3	0	0	0
N° giorni sup 240 $\mu\text{g}/\text{m}^3$	-	-	0	0	0	0	0	0	0	0	0
% dati validi	-	-	98	96	96	93	97	97	99	100	100

Stazione: Rocca Brancaleone

	2012	2013	2014	2015	2016	2017	2018	2019	2020	2021	2022
Media	-	-	47	42	45	48	48	48	48	45	44
50°Percentile	-	-	44	37	40	45	43	46	46	43	42
90°Percentile	-	-	97	91	94	100	101	97	96	88	91
95°Percentile	-	-	107	103	106	111	114	107	107	98	100
98°Percentile	-	-	119	115	120	127	128	119	118	107	108
Max orario $\mu\text{g}/\text{m}^3$	197	205	181	187	181	179	170	184	170	143	153
N° giorni sup 120 $\mu\text{g}/\text{m}^3$	48	46	15	12	16	34	31	14	17	3	5
N° giorni sup 180 $\mu\text{g}/\text{m}^3$	2	6	1	1	1	0	0	1	0	0	0
N° giorni sup 240 $\mu\text{g}/\text{m}^3$	0	0	0	0	0	0	0	0	0	0	0
% dati validi	98	98	98	99	99	100	99	98	99	99	100

Stazione: SAPIR (fino al 2013) e Porto San Vitale (dal 2014)

	2012	2013	2014	2015	2016	2017	2018	2019	2020	2021	2022
Media	-	-	36	37	32	34	30	32	34	33	34
50°Percentile	-	-	21	21	19	16	12	15	18	17	13
90°Percentile	-	-	93	97	88	95	89	93	95	91	96
95°Percentile	-	-	110	116	103	111	104	108	108	103	110
98°Percentile	-	-	127	134	122	130	119	122	121	117	120
Max orario $\mu\text{g}/\text{m}^3$	144	170	203	211	180	203	161	192	187	160	179
N° giorni sup 120 $\mu\text{g}/\text{m}^3$	3	10	26	39	19	34	15	22	18	12	15
N° giorni sup 180 $\mu\text{g}/\text{m}^3$	0	0	3	2	0	1	0	2	1	0	0
N° giorni sup 240 $\mu\text{g}/\text{m}^3$	0	0	0	0	0	0	0	0	0	0	0
% dati validi	95	94	90	96	99	97	99	98	99	99	96


4.5 Benzene C₆H₆

Il benzene è una sostanza chimica liquida e incolore dal caratteristico odore pungente.

È il più comune e il più largamente utilizzato degli idrocarburi aromatici ed è impiegato come antidetonante nelle benzine. I veicoli a motore rappresentano infatti la principale fonte di emissione per questo inquinante che viene immesso nell'aria con i gas di scarico. Un'altra sorgente di benzene è rappresentata dalle emissioni di solventi prodotte da attività artigianali ed industriali come ad esempio: produzione di plastiche, resine, detergenti, vernici, collanti, inchiostri, adesivi, prodotti per la pulizia, ecc.

Oltre ad essere uno dei composti aromatici più utilizzati è anche uno dei più tossici, classificato dall'Agenzia Internazionale per la Ricerca sul Cancro (IARC) come cancerogeno di classe I per l'uomo.

Valutazione in sintesi

<i>Indicatore</i>	<i>Copertura temporale</i>	<i>Stato attuale indicatore</i>	<i>Trend</i>
Concentrazione media annuale di Benzene (C ₆ H ₆)	2012 – 2022		

Il benzene è classificato dalla IARC come cancerogeno di classe 1, pertanto, a scopo cautelativo, viene rilevato in tutte le stazioni dell'area urbana di Ravenna. In particolare, nella stazione di traffico urbano (Zalamella) ed in quella Locale industriale (Porto San Vitale) viene eseguito un monitoraggio in continuo con dati orari, mentre nella stazione di fondo urbano (Caorle) e in quella Locale industriale-urbana (Rocca Brancaleone) il monitoraggio è settimanale, eseguito con campionatori passivi.

I valori più elevati registrati nel 2022, come previsto, sono stati rilevati nella stazione di traffico.

Le concentrazioni medie annue del benzene sono inferiori ai limiti normativi, in tutte le stazioni, come oramai da diversi anni.

La situazione, in relazione al rispetto del limite di legge, non è critica ma, considerata l'accertata cancerogenicità del composto e le concentrazioni comunque significative che si possono registrare durante i mesi invernali, la valutazione dello stato dell'indicatore non può essere considerata positiva.

Benzene C₆H₆ [L.Q. = 0,1 µg/m ³]				Concentrazioni in µg/m ³				Limite Normativo
<i>Stazione</i>	<i>Comune</i>	<i>Tipologia</i>	<i>Efficienza %</i>	<i>Minimo orario</i>	<i>Massimo orario</i>	<i>Media Max giornaliera</i>	<i>Media Max settimanale</i>	5 µg/m ³
								<i>Media annuale</i>
Zalamella	Ravenna	Traffico	99	< 0.1	10.4	3.4	2.4	0.9
Carole (*)	Ravenna	Fondo Urb. Res	94	-	-	-	2.9	0.9
Rocca Brancaleone(*)	Ravenna	Locale Ind/Urbano	98	-	-	-	3.0	0.9
Porto San Vitale	Ravenna	Locale Industriale	99	< 0.1	6.4	1.0	0.8	0.3

Tabella 4.10 – C₆H₆: parametri statistici e confronto con i valori previsti dalle norme – strumentazione in continuo e campionatori passivi^(*)

Per il benzene il limite per la protezione della salute umana, entrato in vigore il 1° gennaio 2010, è pari a 5 µg/m³ come media annuale.

In Tabella 4.10 sono riportati i parametri statistici relativi alle concentrazioni di benzene misurate a Ravenna: monitoraggio con strumentazione in continuo e campionatori passivi.

Infatti, il benzene (insieme ad altri COV, in particolare toluene e xileni) viene misurato:

- con strumentazione in continuo che fornisce dati con cadenza oraria nella postazione di traffico urbano (Zalamella) e in quella Locale industriale di Porto San Vitale;
- con campionatori passivi a cadenza settimanale nelle altre due postazioni di Ravenna: fondo urbano residenziale (Caorle), industriale/urbano (Rocca Brancaleone, rete locale).

Il campionatore passivo è un dispositivo capace di raccogliere gas dall'atmosfera ad una velocità controllata dalla diffusione molecolare e non richiede movimento attivo dell'aria. E' costituito da un tubo contenente un adsorbente che fissa l'inquinante; quando inizia il campionamento il tubo viene liberato dal contenitore ermetico e montato su apposito supporto che permette la diffusione degli inquinanti e contemporaneamente evita l'azione degli agenti atmosferici. Al momento dell'installazione viene annotata la data, l'ora e la postazione. Alla fine del campionamento il tubo viene richiuso nel contenitore, sigillato (segnando la data e l'ora) e portato in laboratorio per l'analisi. La determinazione analitica dei composti organici viene effettuata per gascromatografia dopo l'estrazione con una soluzione di solfuro di carbonio.

Dalla quantità totale di composti organici volatili rilevati, noto il volume d'aria "campionata", possono essere determinate le concentrazioni in atmosfera, espresse µg/m³, di diversi COV, fra cui il benzene. Il campionatore viene cambiato ogni settimana: il dato che si ottiene è una concentrazione media settimanale e da questa vengono poi calcolate la media annuale (parametro di riferimento legislativo per il benzene) e le medie mensili.

In tutte le stazioni la concentrazione del benzene è inferiore al limite normativo, con valori medi annui che oscillano fra 0.9 $\mu\text{g}/\text{m}^3$ a Zalamella e 0.3 $\mu\text{g}/\text{m}^3$ a Porto San Vitale, in linea con quelli registrati negli anni precedenti.

Anche nelle postazioni in cui la misura è integrata sulla settimana, le concentrazioni medie annuali si attestano, già da qualche anno, su valori prossimi a 1.0 $\mu\text{g}/\text{m}^3$.

In Figura 4.12 sono rappresentate le concentrazioni medie annuali a partire dal 2012: il valore limite, entrato in vigore nel 2010, è sempre stato rispettato e, a partire dal 2010, la concentrazione annuale è stabilmente inferiore a 2 $\mu\text{g}/\text{m}^3$.

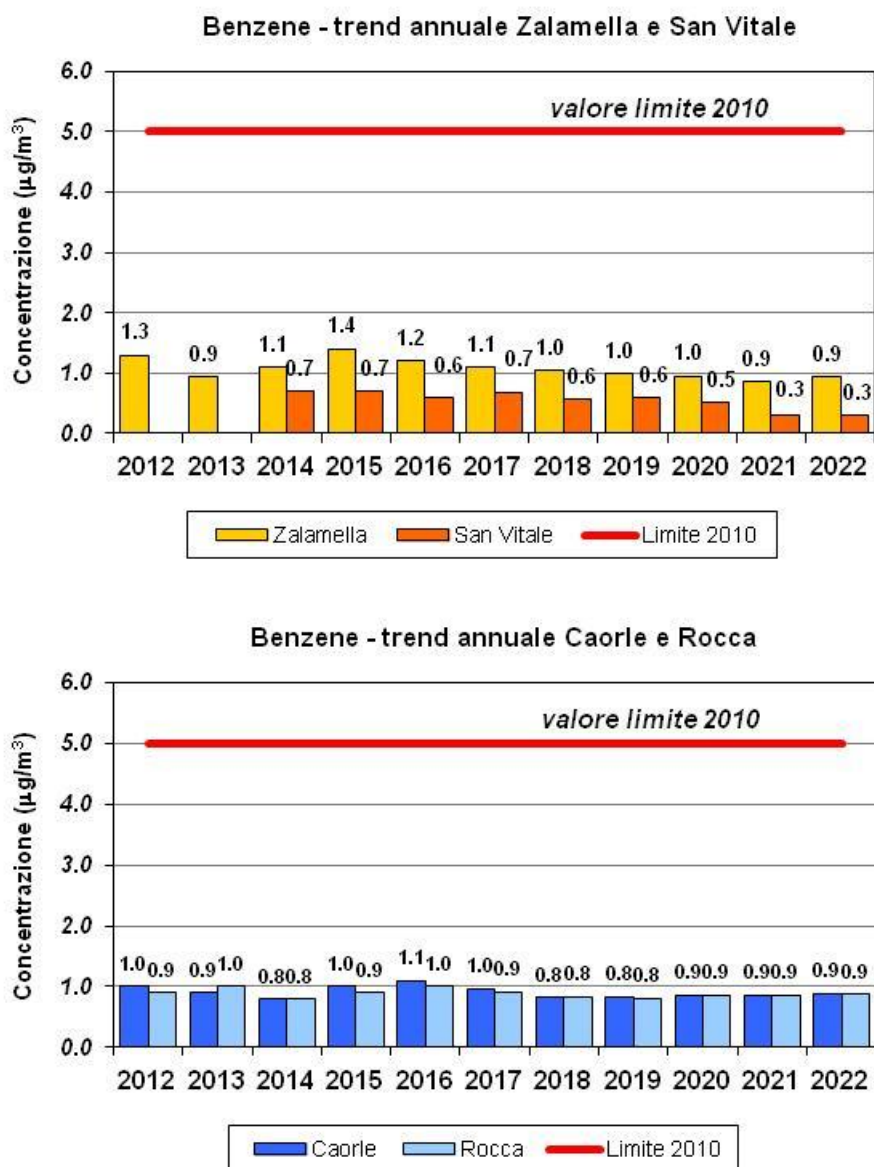


Figura 4.12 - Confronto con i valori limite- D.lgs. 155/10

I grafici successivi (Figure 4.13 e 4.14) riportano le concentrazioni medie mensili: valori molto prossimi ai 2 $\mu\text{g}/\text{m}^3$ sono stati rilevati solo a Zalamella nei mesi di gennaio e dicembre, periodo in cui anche gli altri inquinanti (ad esclusione dell'ozono) registrano le concentrazioni più elevate.

Il trend annuale delle concentrazioni è comunque simile sia nelle postazioni con analizzatori in continuo che in quelle con campionatori passivi.

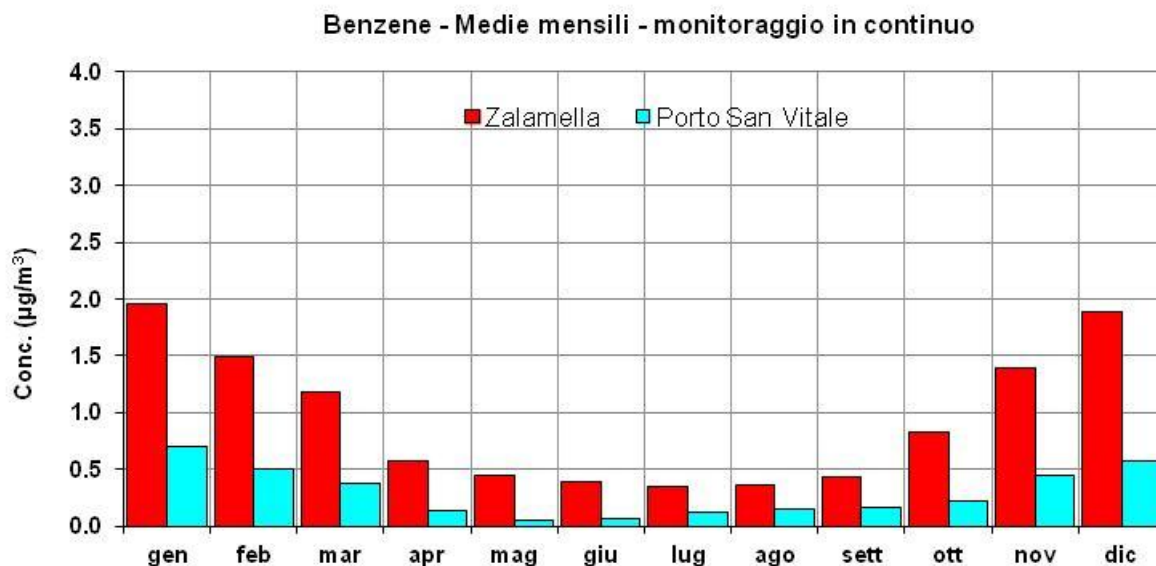


Figura 4.13 - Concentrazioni medie mensili: Zalamella e Porto San Vitale - monitoraggio continuo - Anno 2022

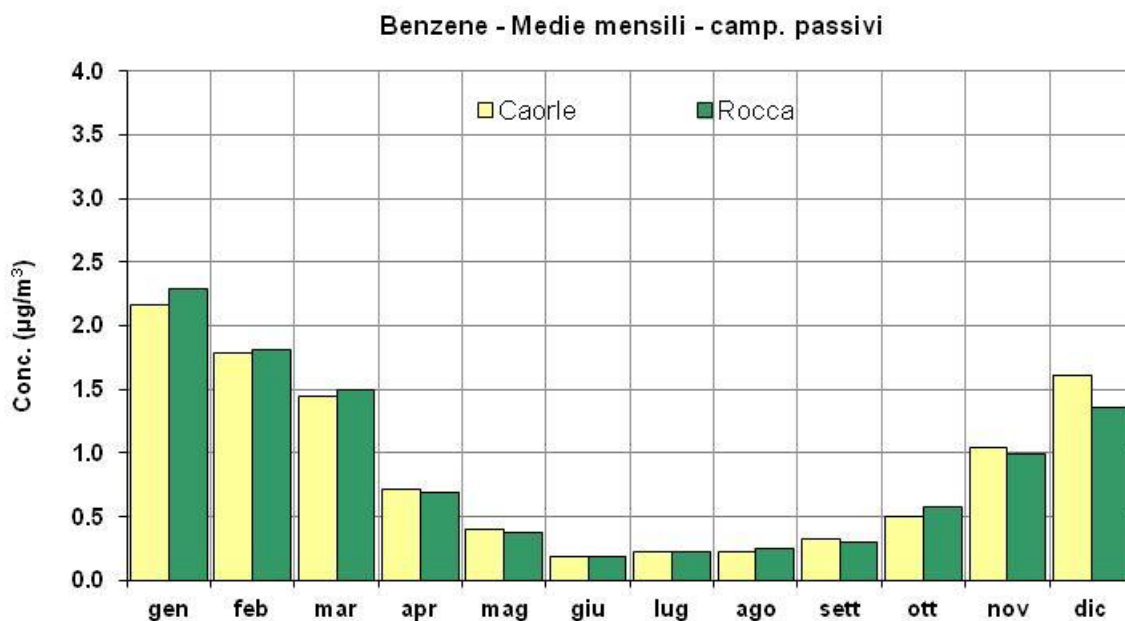


Figura 4.14 - Concentrazioni medie mensili: Caorle, Rocca - campionatori passivi - Anno 2022

La Tabella 4.11 riporta alcuni parametri statistici delle concentrazioni di benzene a partire dal 2011. Si osserva, negli anni, una progressiva diminuzione della concentrazione e, ad oggi, il dato risulta stabile su valori contenuti. Tale riduzione è essenzialmente riconducibile alla limitazione del contenuto massimo di benzene e degli idrocarburi aromatici nelle benzine².

² Già la legge 413/97 fissava per il benzene e per gli aromatici limiti massimi in percentuale volumetrica (1% in vol per il benzene e 40% in vol per gli aromatici). Il Decreto Legislativo n.66/2005 (recepimento Direttiva 98/70/CE) prevedeva per le benzine i seguenti valori massimi:

- tenore di Piombo: 0.005 g/l,
- contenuto di benzene: 1 % vol;
- contenuto di zolfo: 150 mg/kg fino al 31/12/2004, poi dal 1/1/2005: 50 mg/kg;
- contenuto di aromatici: 42% vol. fino al 31/12/2004, poi dal 1/1/2005, il 35% vol.

Tabella 4.11 - Andamento temporale di Benzene dal 2012 al 2022 (concentrazioni espresse in $\mu\text{g}/\text{m}^3$)

Stazione: Caorle (campionatori passivi)

	2012	2013	2014	2015	2016	2017	2018	2019	2020	2021	2022
% dati validi	100	100	100	100	100	100	100	100	75	100	94
Media annua	1.0	0.9	0.8	1.0	1.1	1.0	0.8	0.8	0.9	0.9	0.9
Max settimana	2.6	2.9	1.9	3.0	3.5	2.9	2.3	2.4	2.0	2.3	2.9

Stazione: Rocca Brancaleone (campionatori passivi)

	2012	2013	2014	2015	2016	2017	2018	2019	2020	2021	2022
% dati validi	100	100	100	100	100	100	100	100	75	100	98
Media annua	0.9	1.0	0.8	0.9	1.0	0.9	0.8	0.8	0.9	0.9	0.9
Max settimana	2.3	3.1	1.9	3.0	2.5	2.7	2.4	2.1	2.0	2.3	3.0

Stazione: Zalamella

	2012	2013	2014	2015	2016	2017	2018	2019	2020	2021	2022
Media	1.3	1.3	1.1	1.4	1.2	1.1	1.0	1.0	1.0	0.9	0.9
50°Percentile	0.8	0.8	0.7	0.9	0.7	0.6	0.7	0.6	0.6	0.6	0.7
90°Percentile	-	-	2.3	2.9	2.5	2.7	2.3	2.2	2.2	1.9	2.0
95°Percentile	-	-	2.9	3.9	3.4	3.6	2.8	3.0	2.9	2.5	2.5
98°Percentile	5.5	5.1	3.9	5.3	4.5	4.7	3.6	3.8	3.8	3.2	3.2
Max	16.0	16.8	12.3	48.7	10.7	18.7	10.4	8.5	20.6	11.5	10.4
N° giorni > 5 $\mu\text{g}/\text{m}^3$	0	0	0	1	0	0	0	0	0	0	0
N° giorni > 10 $\mu\text{g}/\text{m}^3$	0	0	0	0	0	0	0	0	0	0	0
% dati validi	94	91	95	95	96	94	95	93	99	99	99

Stazione: Porto San Vitale

	2012	2013	2014	2015	2016	2017	2018	2019	2020	2021	2022
Media	-	-	0.7	0.7	0.6	0.7	0.6	0.6	0.5	0.3	0.3
50°Percentile	-	-	0.4	0.4	0.3	0.3	0.3	0.3	0.3	0.2	0.2
90°Percentile	-	-	1.6	1.8	1.7	1.7	1.5	1.5	1.2	0.58	0.7
95°Percentile	-	-	1.9	2.4	2.2	2.3	1.9	1.9	2.0	1.0	0.8
98°Percentile	-	-	2.2	3.0	2.8	2.9	2.3	2.6	3.0	1.4	1.0
Max	-	-	4.0	39.2	7.2	8.7	6.6	4.2	5.7	4.0	6.4
N° giorni > 5 $\mu\text{g}/\text{m}^3$	-	-	0	0	0	0	0	0	0	0	0
N° giorni > 10 $\mu\text{g}/\text{m}^3$	-	-	0	0	0	0	0	0	0	0	0
% dati validi	-	-	98	96	94	94	95	94	98	96	99

Il D.Lgs. n.55/2011 (recepimento della direttiva 2009/30/CE) ha poi stabilito le *specifiche ecologiche* della benzina. Fra queste, i seguenti limiti:

Analisi degli idrocarburi: olefinici 18,0% (v/v) – aromatici 35,0% (v/v) - benzene)
10,0 mg/kg

1,0% (v/v) Tenore di zolfo:

Tenore di piombo: 0,005 g/l



4.6 Toluene (C₇H₈) e Xileni (C₈H₁₀)

Il toluene è un liquido volatile ed incolore dall'odore fruttato e pungente; è un idrocarburo aromatico principalmente utilizzato come sostituto del benzene, sia come reattivo che come solvente. Come solvente viene impiegato per sciogliere resine, grassi, oli, vernici, colle, coloranti e molti altri composti. E' contenuto anche nelle benzine.

Il termine xileni si riferisce alla miscela di tre composti isomeri derivati dal benzene, chiamati rispettivamente orto-xilene, meta-xilene e para-xilene, le cui proprietà chimiche variano leggermente da isomero a isomero.

Lo xilene è un liquido incolore avente un odore lievemente dolce; è anch'esso un idrocarburo aromatico infiammabile e nocivo. È un prodotto che si trova naturalmente nel petrolio e nel catrame: le industrie chimiche producono lo xilene a partire dal petrolio ed è utilizzato come solvente nella stampa, per la lavorazione delle gomme e del cuoio, come agente pulente per acciai, e come diluente per vernici. Il p-xilene viene usato anche nel confezionamento di alimenti. Si può formare anche negli incendi boschivi.

Valutazione in sintesi

<i>Indicatore</i>	<i>Copertura temporale</i>	<i>Stato attuale indicatore</i>	<i>Trend</i>
Concentrazione media annuale di toluene (C ₇ H ₈) e xileni (C ₈ H ₁₀)	2012 – 2022		

La normativa nazionale non fissa valori limite di qualità dell'aria per toluene e xileni, mentre l'OMS indica dei valori guida, che corrispondono alle concentrazioni al di sopra delle quali si possono riscontrare effetti sulla salute della popolazione non esposta professionalmente.

Toluene e xileni vengono misurati nelle stesse stazioni in cui si effettua la misura del benzene quindi: nella stazione di traffico urbano (Zalamella), in quella di fondo urbano (Caorle) e nelle stazioni Locali di Porto San Vitale e Rocca Brancaleone.

Nel 2022 i valori di toluene e xileni misurati in tutte le postazioni hanno concentrazioni massime ben al di sotto di valori guida dell'OMS.

In modo analogo al benzene, a partire dal 2009-2010 le concentrazioni di entrambi gli inquinanti sono progressivamente diminuite in tutte le stazioni.

Toluene C₇H₈				Concentrazioni in µg/m³				Valori guida OMS
<i>Stazione</i>	<i>Comune</i>	<i>Tipologia</i>	<i>Efficienza %</i>	<i>Massimo orario</i>	<i>Max Medie giornaliere</i>	<i>Max Medie settimanali</i>	<i>Media annuale</i>	260 µg/m ³
								<i>Media settimanale</i>
Zalamella	Ravenna	Traffico	99	51.8	15.4	4.8	2.5	4.8
Caorle (*)	Ravenna	Fondo Urbano Res	94	-	-	4.5	1.8	
Rocca Brancaleone (*)	Ravenna	Locale Ind/Urano	98	-	-	5.5	1.9	
Porto San Vitale	Ravenna	Locale Industriale	99	20.7	3.9	1.5	0.7	1.5
Xileni C₈H₁₀				Concentrazioni in µg/m³				Valori guida OMS
<i>Stazione</i>	<i>Comune</i>	<i>Tipologia</i>	<i>Efficienza %</i>	<i>Massimo orario</i>	<i>Media Max giornaliera</i>	<i>Media Max settimanale</i>	<i>Media annuale</i>	4800 µg/m ³
								<i>Media 24 ore</i>
Zalamella	Ravenna	Traffico	100	20.9	5.9	2.9	1.4	5.9
Caorle (*)	Ravenna	Fondo Urbano Res	94	-	-	2.4	0.8	-
Rocca Brancaleone (*)	Ravenna	Locale Ind/Urano	98	-	-	2.4	0.9	-
Porto San Vitale	Ravenna	Locale Industriale	99	9.5	1.6	0.9	0.3	1.6

Tabella 4.12 – toluene e xileni: parametri statistici e confronto con i valori previsti dalle norme – strumentazione in continuo e campionatori passivi^(*)

Per i dati di xileni, si precisa che nel monitoraggio in continuo e nella determinazione analitica sui campionatori passivi, si misurano 3 isomeri: m-xilene, p-xilene e o-xilene.

La Tabella 4.12 sintetizza le elaborazioni statistiche relative a tutti i campionamenti effettuati e la Figura 4.15 riporta le medie mensili.

Le concentrazioni massime rilevate in tutte le postazioni sono ben al di sotto dei valori guida dell'OMS (riportati in verde nell'ultima colonna in Tabella 4.12).

Toluene e xileni presentano un andamento stagionale meno marcato rispetto al benzene, ma comunque si registrano anche per questi inquinanti valori più alti in inverno e più contenuti in estate.

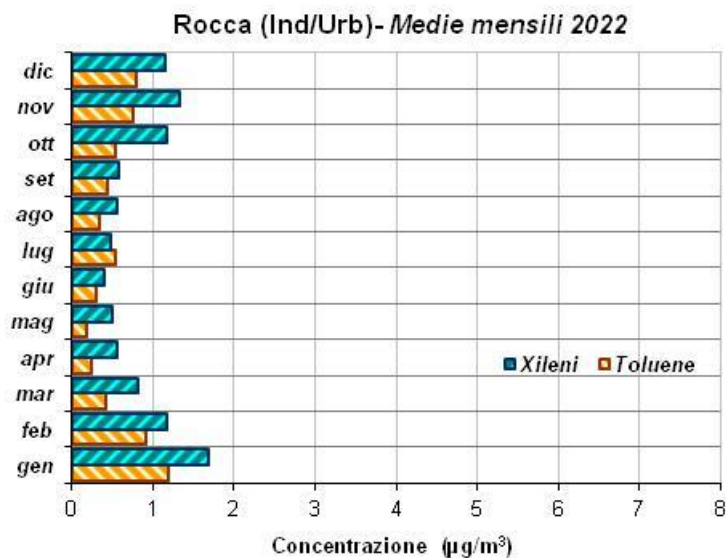
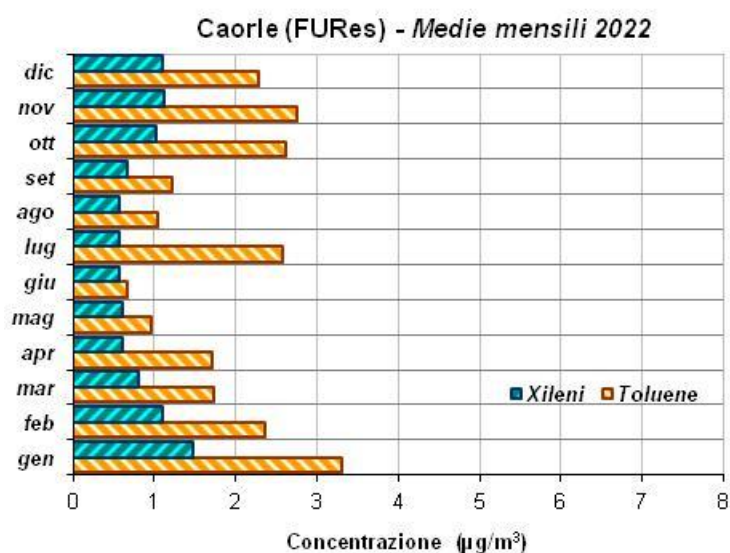
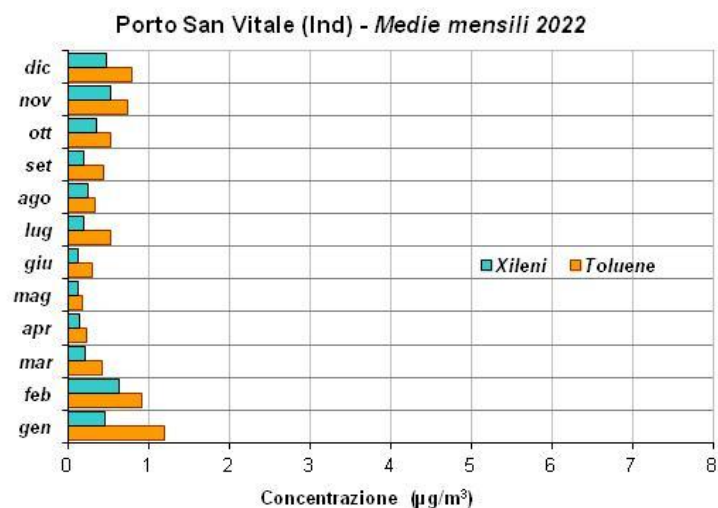
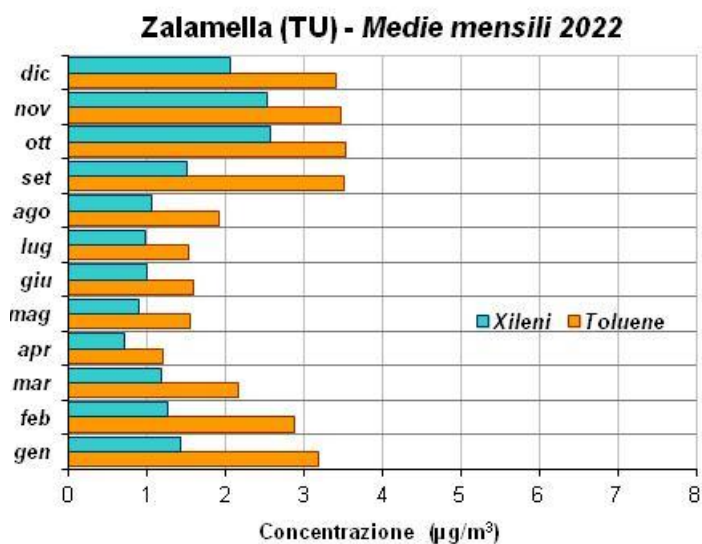


Figura 4.15 – Toluene e Xileni: concentrazioni medie mensili – anno 2022

In Tabella 4.12-bis sono riportati alcuni parametri statistici relativi a toluene e xileni per la serie storica dal 2012 al 2022

Tabella 4.12 bis - Andamento temporale di toluene e xileni dal 2012 al 2022 (concentrazioni espresse in $\mu\text{g}/\text{m}^3$)

Stazione: Zalamella

	2012	2013	2014	2015	2016	2017	2018	2019	2020	2021	2022
Toluene											
% dati validi	94	89	95	95	96	94	95	93	97	99	99
Media	3.8	3.4	3.4	2.7	3.4	3.5	3.5	3.3	3.2	2.9	2.5
Max orario	162.8	86.0	61.6	51.9	178.4	274.6	70.8	47.5	129.8	98.4	51.8
Xileni											
% dati validi	94	91	95	95	96	94	95	93	97	99	100
Media	1.9	1.6	2.1	1.7	2.0	1.9	2.3	2.2	1.6	1.8	1.4
Max orario	34.3	31.7	28.2	35.4	26.7	51.4	32.5	43.4	33.2	29.7	20.9

Stazione: Caorle (campionatori passivi)

	2012	2013	2014	2015	2016	2017	2018	2019	2020	2021	2022
Toluene											
% dati validi	100	100	100	100	100	100	100	100	75	100	94
Media annua	2.7	3.0	2.4	2.0	2.3	2.9	2.5	1.6	2.0	2.0	1.8
Max settimana	25.7	8.0	6.0	5.8	7.1	28.1	10.8	3.4	5.7	7.2	4.5
Xileni											
% dati validi	100	100	100	100	100	100	100	100	75	100	94
Media annua	1.4	1.7	1.5	1.3	1.6	2.0	1.8	1.3	1.3	1.0	0.8
Max settimana	3.7	6.2	4.0	3.9	3.9	5.9	4.2	2.8	2.3	3.1	2.4

Stazione: Rocca Brancaleone (campionatori passivi)

	2012	2013	2014	2015	2016	2017	2018	2019	2020	2021	2022
Toluene											
% dati validi	100	100	100	100	100	100	100	100	75	100	98
Media annua	2.7	2.2	2.2	4.5	2.5	2.3	1.9	1.6	1.8	2.0	1.9
Max settimana	7.4	5.0	6.1	112.1	10.3	6.6	9.5	3.4	3.1	10.9	5.5
Xileni											
% dati validi	100	100	100	100	100	100	100	100	75	100	98
Media annua	1.6	1.4	1.3	1.7	1.9	1.6	1.4	1.4	1.3	0.9	0.9
Max settimana	5.9	4.0	4.0	4.9	4.7	3.9	2.7	6.5	2.4	2.1	2.4

Stazione: SAPIR (fino al 2013) e Porto San Vitale (dal 2014)

	2012	2013	2014	2015	2016	2017	2018	2019	2020	2021	2022
Toluene											
% dati validi	100	100	100	96	94	94	95	94	98	96	99
Media annua	2.2	2.0	1.8	1.9	1.6	1.7	1.2	1.2	1.1	0.7	0.7
Max orario	-	-	42.1	122.3	82.9	97.1	46.0	29.7	26.6	13.8	20.7
Xileni											
% dati validi	100	100	100	96	94	94	95	94	93	96	99
Media annua	1.7	1.5	1.5	1.7	1.8	1.5	1.2	1.3	1.2	0.5	0.3
Max orario	-	-	54.4	38.1	305.0	59.1	17.0	57.7	20.8	21.4	9.5

4.7 Particolato PM10

Con il termine PM10 si intende l'insieme di particelle atmosferiche solide e liquide aventi diametro aerodinamico inferiore o uguale a 10 µm. In generale il particolato di queste dimensioni permane in atmosfera per lunghi periodi e può essere trasportato anche a distanza considerevole dal punto di emissione. Il PM10, che ha una natura chimica particolarmente complessa e variabile, è in grado di penetrare nell'apparato respiratorio umano e avere effetti negativi sulla salute.

Il particolato può essere emesso direttamente dalle sorgenti in atmosfera (primario) oppure formarsi in atmosfera attraverso reazioni chimiche fra altre specie di inquinanti, come ad esempio gli ossidi di zolfo e di azoto, i composti organici volatili (COV) e l'ammoniaca (particolato secondario).

Il PM10 può essere emesso da sorgenti naturali: eruzioni vulcaniche, erosione dei venti sulle rocce, incendi boschivi, o da sorgenti antropiche: tra queste una delle più significative è il traffico veicolare.

Questo inquinante è oggetto di numerosi studi a livello internazionale per la valutazione dell'impatto sanitario, ricerche che hanno portato l'Organizzazione mondiale della sanità (OMS) a affermare che «vi è una stretta, relazione quantitativa tra l'esposizione ad alte concentrazioni di particolato fine (PM10 e PM2.5) e un aumento della mortalità e morbilità, sia quotidiana sia nel tempo. [...] Il particolato fine ha effetti sulla salute, anche a concentrazioni molto basse, infatti non è stata identificata una soglia al di sotto della quale non si osservano danni alla salute». Pertanto, l'OMS, pur indicando dei valori guida (per il PM10: 20 µg/m³ come media annuale e 50 µg/m³ come media sulle 24 ore), pone l'obiettivo di raggiungere «le più basse concentrazioni di PM possibile».

Valutazione in sintesi

<i>Indicatore</i>	<i>Copertura temporale</i>	<i>Stato attuale indicatore</i>	<i>Trend</i>
Concentrazione media annuale di particolato PM10	2017 – 2022		
Numero superamenti del limite giornaliero per particolato PM10	2017 – 2022		

Il PM10 viene misurato in tutte le stazioni della rete, ad esclusione della stazione di fondo rurale (Ballirana), dove si misura il PM2.5.

Nel 2022 il limite della media annuale del PM10 (40 µg/m³) è rispettato in tutte le stazioni della provincia di Ravenna. Il limite giornaliero (media giornaliera di 50 µg/m³ da non superare più di 35 volte in un anno) è stato superato nella stazione di traffico urbano Zalamella e nella stazione Locale industriale di Porto San Vitale. I Valori guida dell'OMS (15 µg/m³ come media annuale e 45 µg/m³ come concentrazione massima sulle 24 ore) sono stati superati in tutte le stazioni.

La media annuale, già da diversi anni, si attesta attorno al valore di 30 µg/m³, quindi al di sotto del limite di legge (40 µg/m³), tuttavia il PM10 resta un inquinante critico sia per i diffusi superamenti del limite di breve periodo sia per gli importanti effetti negativi che, come dimostrato, ha sulla salute umana. Considerata la classificazione data a questo inquinante dallo IARC e le concentrazioni significative misurate, soprattutto in periodo invernale, la valutazione dello stato dell'indicatore non può essere considerata positiva.

PM10 [L.Q. = 3 µg/m ³]				Concentrazioni in µg/m³		Limiti Normativi	
<i>Stazione</i>	<i>Comune</i>	<i>Tipologia</i>	<i>Efficienza %</i>	<i>Minimo</i>	<i>Massimo</i>	<i>40 µg/m³</i> <i>Valori guida</i> <i>OMS: 15 µg/m³</i>	<i>Max 35</i> <i>Valori guida</i> <i>OMS: 45 µg/m³ da non superare mai</i>
						<i>Media anno</i>	<i>N° giorni Sup. 50 µg/m³</i>
Delta Cervia	Cervia	Fondo Sub-urb	97	< 3	75	27	22 (OMS 29)
Parco Bertozzi	Faenza	Fondo Urbano	98	6	73	24	17 (OMS 27)
Caorle	Ravenna	Fondo Urbano Res	98	6	62	25	22 (OMS 31)
Zalamella	Ravenna	Traffico	99	5	76	29	37 (OMS 58)
Rocca Brancaleone	Ravenna	Locale Ind/Urbano	99	< 3	76	27	33 (OMS 40)
Porto San Vitale	Ravenna	Locale Industriale	99	7	77	35	58 (OMS 80)

Tabella 4.13 – PM10: parametri statistici e confronto con i valori previsti dalle norme

In relazione ai dati riportati in Tabella 4.13 si può osservare che nel 2022 il limite della media annuale è stato rispettato in tutte le postazioni, mentre il limite giornaliero (media giornaliera di 50 µg/m³ da non superare più di 35 volte in un anno) è stato superato nella stazione di traffico urbano Zalamella e nella stazione Locale industriale di Porto San Vitale.

Le Figure 4.16 e 4.17 riportano rispettivamente, l'andamento negli ultimi sei anni della media annuale, evidenziando i limiti normativi del D.Lgs 155/2010 (linea fuxia continua) e OMS (linea verde tratteggiata) e del numero di giorni con concentrazioni superiori a 50 µg/m³. Dalla lettura dei grafici si può affermare che nel 2022 la media annuale è in linea con quella degli anni precedenti, mentre il numero di superamenti è inferiore al 2019 e 2020, ma maggiore del 2018 e del 2021.

In area industriale (Figura 4.18), i due parametri (media annuale e superamenti) nel 2022 sono in linea con quelli del 2021 ed inferiori agli anni precedenti: probabilmente come effetto della diminuzione di attività nell'area.

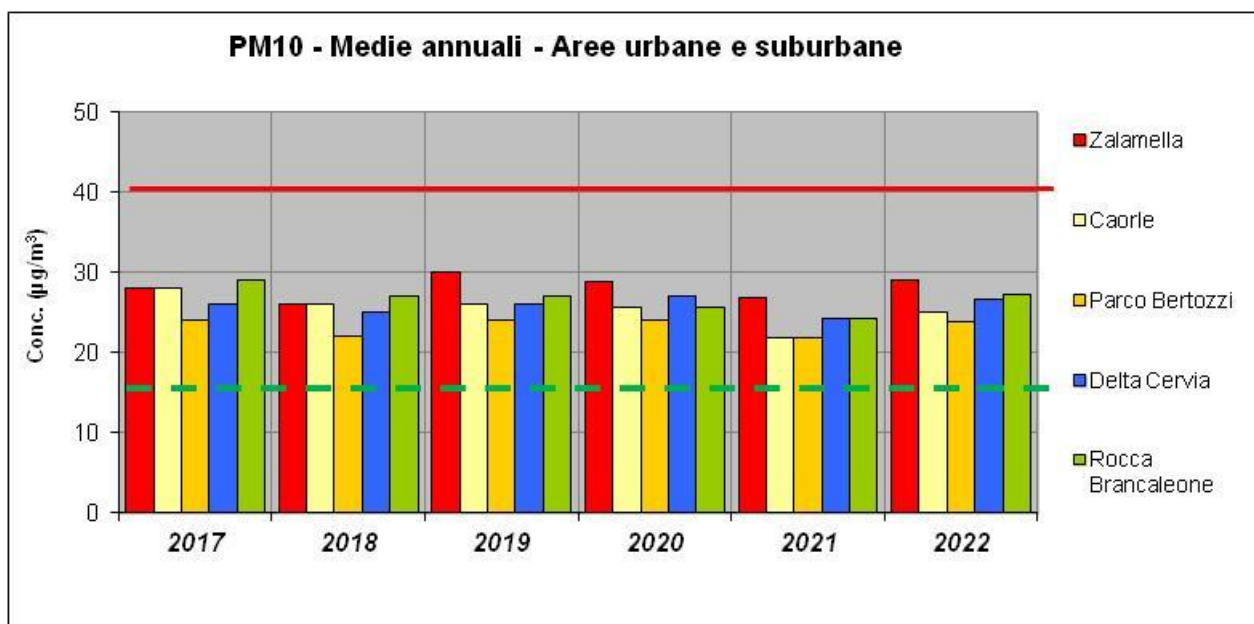


Figura 4.16 – PM10 medie annuali Area Urbana e Sub Urbana – Stazioni RRQA + Stazione Locale di Rocca Brancaleone (Ind/Urb)

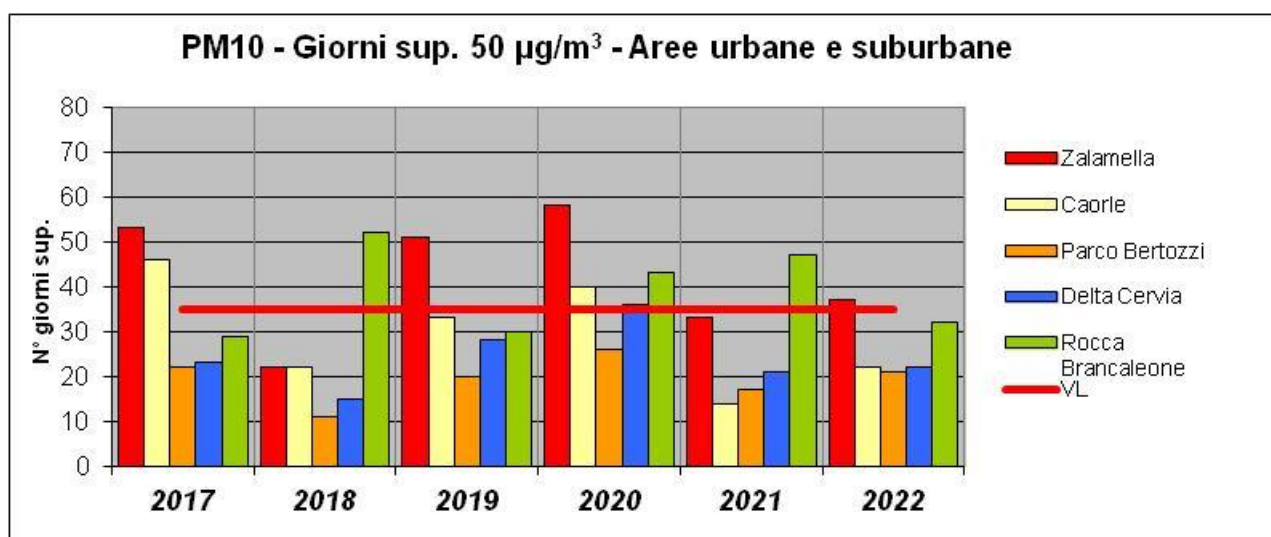


Figura 4.17 – PM10 giorni con superamento dei 50 µg/m³ - Area Urbana e Sub Urbana Stazioni RRQA + Stazione Locale di Rocca Brancaleone (Ind/Urb)

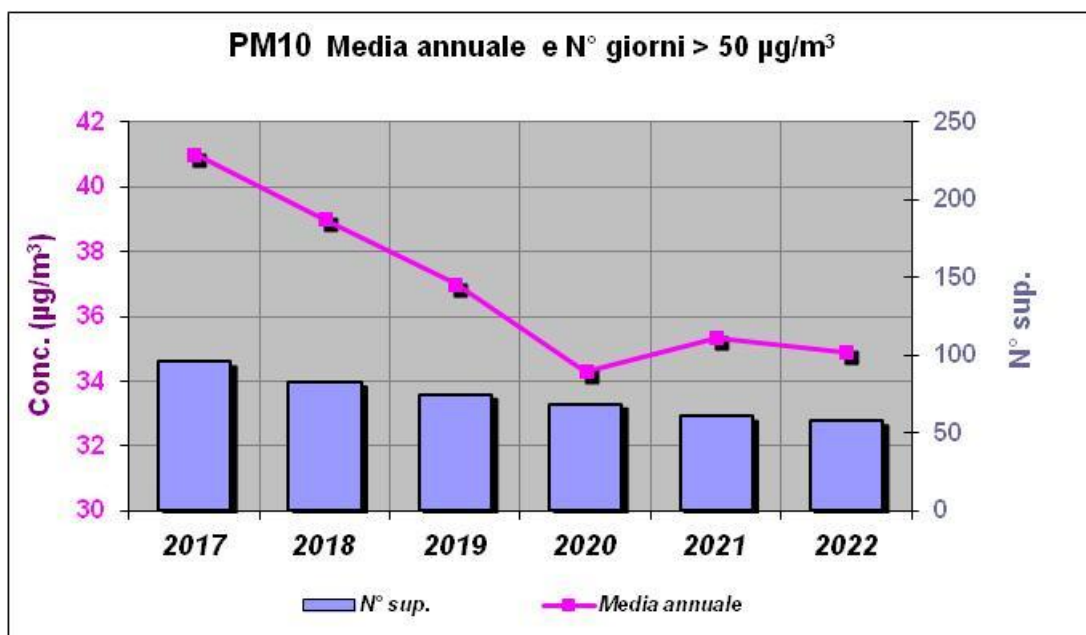


Figura 4.18 – PM10 medie annuali e giorni con superamento dei 50 µg/m³ – Area industriale – Stazione Locale - Porto San Vitale

Il grafico di Figura 4.19 (superamenti cumulati) consente di visualizzare fino a quale giorno dell'anno, nelle diverse stazioni, il limite di breve periodo (VL) è stato rispettato; nel 2022 il limite è stato superato dalla stazione Zalamella nel corso degli ultimi giorni dell'anno.

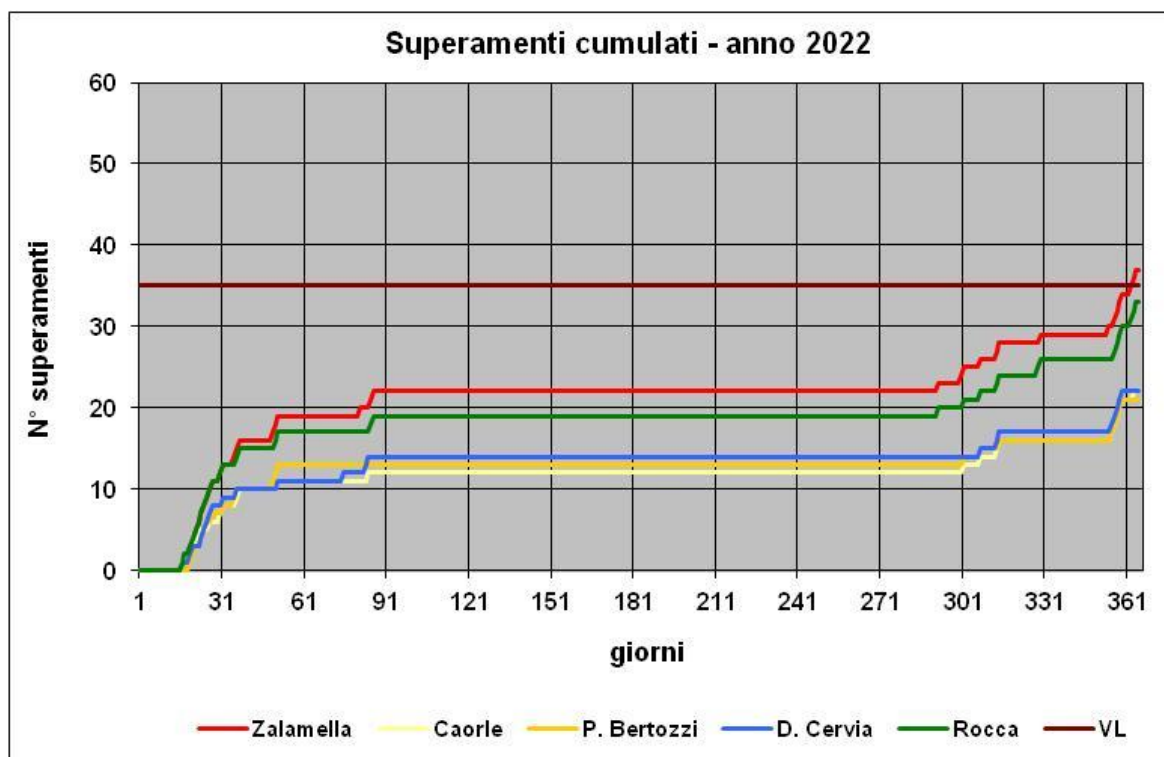


Figura 4.19 – PM10 Superamenti cumulati - Area Urbana e Sub Urbana Stazioni RRQA + Stazione Locale di Rocca Brancaleone (Ind/Urb)

Le medie mensili di PM10 (Figure 4.20 e 4.21), come previsto, sono più elevate nei mesi invernali, con concentrazioni superiori a 40 µg/m³ in diverse stazioni nei mesi di gennaio, febbraio, marzo, ottobre e dicembre.

In generale le concentrazioni più basse, sono state misurate a Caorle (fondo urbano-residenziale), Parco Bertozzi (fondo urbano) e Rocca Brancaleone (industriale/urbano) nei mesi primaverili-estivi.

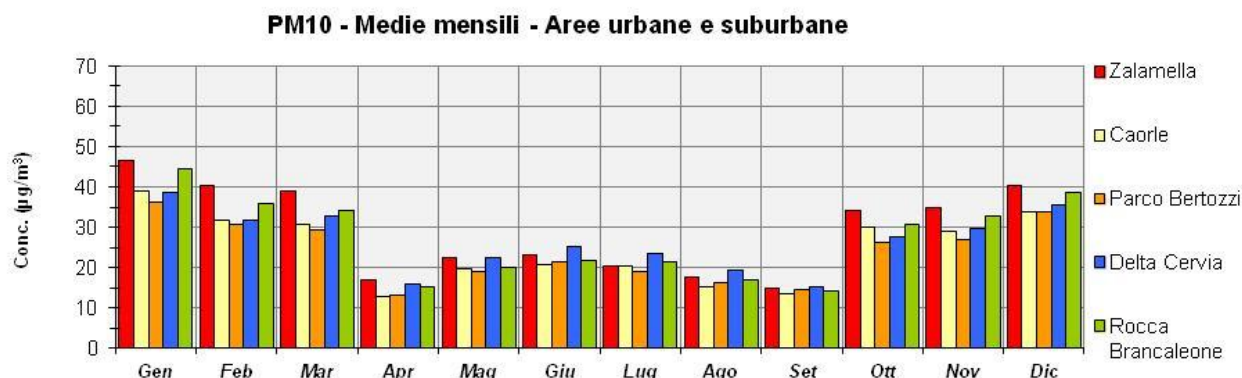


Figura 4.20 – PM10 medie mensili Area Urbana e Sub Urbana – Stazioni RRQA + Stazione Locale di Rocca Brancaleone (Ind/Urb) anno 2022

Anche in area portuale (Porto San Vitale - Figura 4.21) si evidenzia una certa “stagionalità” della concentrazione di particolato: l'andamento è simile a quello della stazione Locale urbana/industriale di Rocca Brancaleone anche se la diminuzione è meno evidente in quanto il contributo delle emissioni legate alle attività insediate nel porto (costanti nel corso dell'anno), si sovrappone alla variabilità legata alla meteorologia.

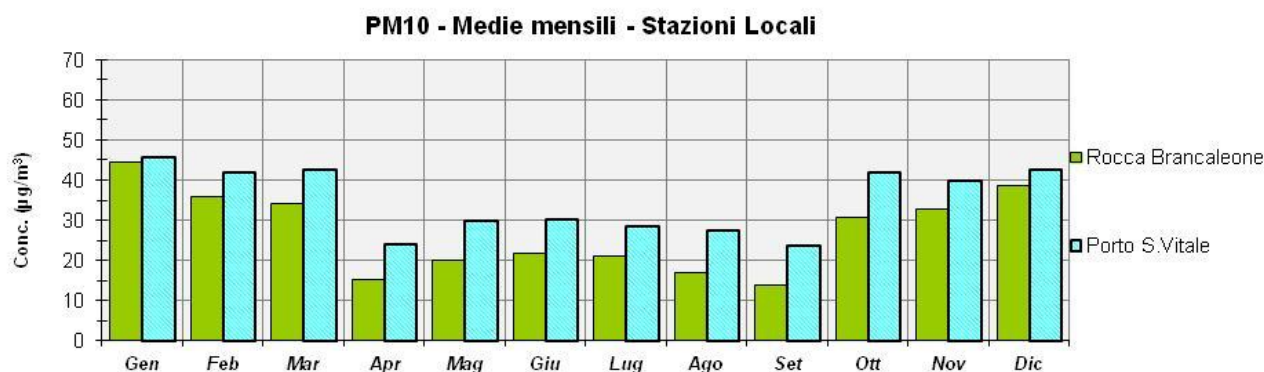


Figura 4.21 – PM10 medie mensili Area Industriale/Portuale – Stazioni Locali Industriali – anno 2022

Infine, la Tabella 4.14 riporta alcuni parametri relativi al PM10, calcolati a partire dal 2017.

Tabella 4.14 - Andamento temporale PM10 dal 2017 al 2022 (dati giornalieri in $\mu\text{g}/\text{m}^3$)

Stazione: Zalamella

	2017	2018	2019	2020	2021	2022
Media	28	26	30	29	27	29
50°Percentile	21	23	25	20	22	25
90°Percentile	56	46	58	63	49	51
95°Percentile	66	55	68	74	59	60
98°Percentile	80	62	76	89	69	66
Max	120	83	88	124	92	76
> 50 $\mu\text{g}/\text{m}^3$	53	22	51	58	33	37
% dati validi	99	98	99	99	99	99

Stazione: Caorle

	2017	2018	2019	2020	2021	2022
Media	28	26	26	26	22	25
50°Percentile	22	23	22	19	18	22
90°Percentile	54	45	50	51	42	43
95°Percentile	63	55	57	64	49	52
98°Percentile	85	64	68	75	59	58
Max	117	87	79	117	81	62
> 50 $\mu\text{g}/\text{m}^3$	46	22	33	40	14	22
% dati validi	98	96	94	98	99	98

Stazione: Parco Bertozzi

	2017	2018	2019	2020	2021	2022
Media	24	22	24	24	22	24
50°Percentile	18	20	20	19	18	21
90°Percentile	43	37	41	44	40	39
95°Percentile	54	47	53	59	50	51
98°Percentile	72	58	60	77	62	59
Max	150	75	73	110	100	73
> 50 $\mu\text{g}/\text{m}^3$	22	11	20	26	17	21
% dati validi	98	95	96	97	96	98

Stazione: Delta Cervia

	2017	2018	2019	2020	2021	2022
Media	26	25	26	27	24	27
50°Percentile	22	23	23	22	21	25
90°Percentile	45	43	46	51	43	44
95°Percentile	58	49	59	62	52	52
98°Percentile	73	59	68	77	63	58
Max	114	82	79	112	97	75
> 50 $\mu\text{g}/\text{m}^3$	26	15	28	36	17	22
% dati validi	97	97	98	98	96	97

Stazione: Rocca Brancaleone

	2017	2018	2019	2020	2021	2022
Media	29	27	27	26	24	27
50°Percentile	22	23	22	17	20	24
90°Percentile	59	47	53	58	46	48
95°Percentile	73	58	64	71	57	56
98°Percentile	89	72	70	86	66	61
Max	132	89	81	128	90	76
> 50 µg/m ³	52	30	43	47	32	33
% dati validi	99	99	97	99	98	99

Stazione: Porto San Vitale

	2017	2018	2019	2020	2021	2021
Media	41	39	37	34	35	35
50°Percentile	36	37	32	29	31	33
90°Percentile	68	60	61	60	59	58
95°Percentile	84	71	72	72	73	63
98°Percentile	105	81	85	82	90	67
Max	132	113	188	112	136	77
> 50 µg/m ³	96	83	75	69	61	58
% dati validi	99	99	98	99	99	99

4.8 Particolato PM2.5



Con il termine particolato fine PM2.5, si intende l'insieme di particelle atmosferiche solide e liquide aventi diametro aerodinamico medio inferiore a 2,5 µm. In generale il particolato di queste dimensioni microscopiche e inalabili penetra in profondità attraverso l'apparato respiratorio, dai bronchi sino agli alveoli polmonari e riesce anche, attraverso la mucosa, ad arrivare al sangue.

Il particolato PM2.5 può essere di origine primaria, quando è emesso direttamente dalle sorgenti in atmosfera o secondario, quando si forma in atmosfera attraverso reazioni chimiche fra altri composti, come ad esempio gli ossidi di zolfo e di azoto, i composti organici volatili (COV) e l'ammoniaca.

Il particolato ultrafine può essere emesso da sorgenti naturali, ad esempio eruzioni vulcaniche, erosione del suolo, incendi boschivi e aerosol marino, o da sorgenti antropiche, tra le quali traffico veicolare, utilizzo di combustibili (carbone, combustibili liquidi, rifiuti, legno, rifiuti agricoli) e emissioni industriali (cementifici, fonderie).

Questo inquinante – come il PM10 - è oggetto di numerosi studi a livello internazionale per la valutazione dell'impatto sulla salute umana: queste ricerche hanno portato l'Organizzazione mondiale della sanità (OMS) a affermare che «La maggior parte delle particelle che danneggiano la salute sono quelle con un diametro di 10 micron o meno, (≤PM10), che possono penetrare e depositarsi in profondità nei polmoni. L'esposizione cronica alle particelle contribuisce al rischio di sviluppare malattie cardiovascolari e respiratorie, nonché di cancro ai polmoni. [...] Vi è una stretta relazione quantitativa tra l'esposizione ad alte concentrazioni di particolato fine (PM10 e PM2.5) e un aumento della mortalità e morbilità, sia quotidiana sia nel tempo. [...] Il particolato fine ha effetti sulla salute anche a concentrazioni molto basse, infatti non è stata identificata una soglia al di sotto della quale non si osservano danni alla salute». Pertanto, l'OMS, pur indicando dei valori guida (per il PM2.5: 10 µg/m³ come media annuale e 25 µg/m³ come media sulle 24 ore), pone l'obiettivo di raggiungere «le più basse concentrazioni di PM possibile».

Valutazione in sintesi

<i>Indicatore</i>	<i>Copertura temporale</i>	<i>Stato attuale indicatore</i>	<i>Trend</i>
Concentrazione media annuale di Particolato ultrafine (PM2.5)	2017 – 2022		

Il PM2.5, data la sua origine prevalentemente secondaria, si misura nelle stazioni di fondo urbano e rurale. A Ravenna viene misurato anche nella stazione Locale industriale di Porto San Vitale.

Nel 2022 il valore limite della media annuale del PM2.5 (25 µg/m³) è stato rispettato in tutte le postazioni, così come il “limite indicativo” (20 µg/m³): situazione da consolidare, e possibilmente migliorare, anche nei prossimi anni, considerato l'impatto che l'inquinante ha sulla salute.

I valori più elevati si sono registrati nella stazione di Porto San Vitale, a Caorle (influenzata anche dalle ricadute dell'area portuale/industriale) ed a Ballirana. La stagione più critica è sempre quella invernale, quando le concentrazioni di PM2.5 rappresentano oltre il 70% di quelle di PM10. Considerata la classificazione di questo inquinante da parte dell'OMS e le concentrazioni significative che si rilevano - se confrontate con i valori guida dell'OMS - la valutazione dello stato dell'indicatore – nonostante il rispetto del limite - non può essere considerata positiva.

PM2.5 [L.Q. = 3 µg/m ³]				Concentrazioni in µg/m³		Limite Normativo	Limite indicativo
Stazione	Comune	Tipologia	Efficienza%	Minimo	Massimo	25 µg/m³ <i>Valori guida OMS: 5 µg/m³</i>	20 µg/m³
						Media anno	Media anno
Ballirana	Alfonsine	Fondo Rurale	99	<3	56	17	17
Parco Bertozzi	Faenza	Fondo Urbano	98	<3	52	14	14
Caorle	Ravenna	Fondo Urbano Res	98	<3	55	16	16
Porto San Vitale	Ravenna	Locale Industriale	99	3	54	17	17

Tabella 4.15 – PM2.5: parametri statistici e confronto con i valori previsti dalle norme

Nelle stazioni della Rete Regionale di Ravenna il PM2.5 viene monitorato nelle centraline di fondo urbano (Parco Bertozzi), fondo urbano residenziale (Caorle) e fondo rurale (Ballirana), oltre che nella Stazione Locale industriale (Porto San Vitale).

Il D.lgs. 155/2010, relativamente al PM 2.5, contempla due Fasi:

- Fase 1: a partire dal 1/1/ 2015, il un valore limite della media annuale del PM2.5 è 25 µg/m³;
- Fase 2: dal 1/1/2020, doveva essere raggiunto un “Valore limite da stabilire con successivo decreto ai sensi dell’articolo 22, comma 6, tenuto conto del valore indicativo di 20 µg/m³ e delle verifiche effettuate dalla Commissione europea alla luce di ulteriori informazioni circa le conseguenze sulla salute e sull’ambiente, la fattibilità tecnica e l’esperienza circa il perseguimento del valore obiettivo negli Stati membri”. Tale decreto, ad oggi, non è stato emanato e pertanto il valore di 20 µg/m³ è di seguito riportato come “limite indicativo”.

Nel 2022, in tutte le stazioni della rete di Ravenna, è rispettato sia il valore limite della media annuale (25 µg/m³), sia il “limite indicativo” (20 µg/m³). Non è invece rispettato in nessuna postazione il valore guida dell’OMS-AQG, molto più restrittivo (5 µg/m³).

Di seguito si riporta il grafico con le medie mensili (Figura 4.22): solo in alcuni mesi estivi (aprile, maggio, agosto e settembre) le concentrazioni nelle stazioni di fondo sono inferiori a 10 µg/m³.

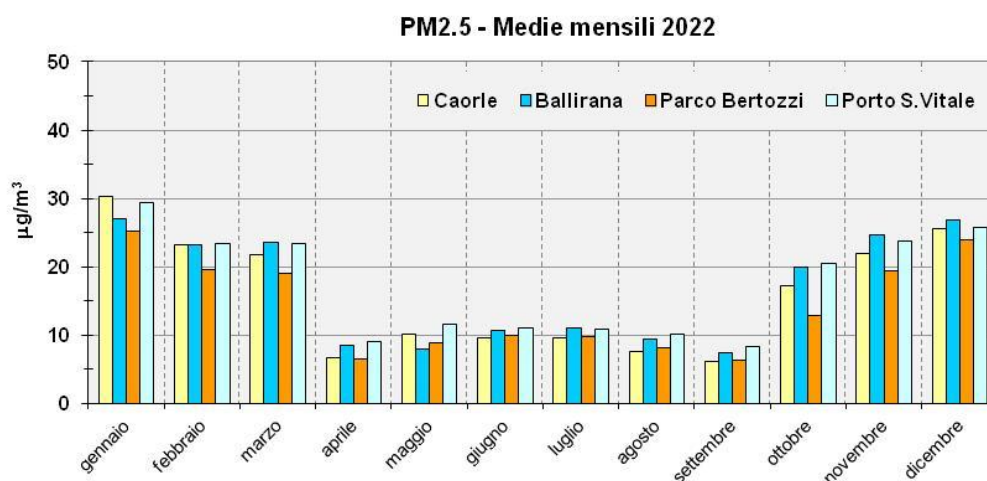


Figura 4.22 – PM2.5: medie mensili 2022

In Figura 4.23 sono riportate le medie annuali rilevate dal 2017 al 2022 nelle stazioni provinciali della RRQA, messe a confronto con il limite previsto dalla normativa ($25 \mu\text{g}/\text{m}^3$ – linea rossa), il valore indicativo della fase 2 ($20 \mu\text{g}/\text{m}^3$ – linea blu) e il valore guida dell’OMS-AQG ($5 \mu\text{g}/\text{m}^3$ - linea verde).

Negli ultimi anni, nessuna stazione ha superato né il limite normativo né quello indicativo, mentre il valore dell’OMS-AQG continua ad essere superato abbondantemente in tutte le postazioni.

Indicativo, anche se non costituisce un limite di legge, è il numero di superamenti della media giornaliera imposta dall’OMS-AQG. Fino al 2020 tale valore guida si attestava a $25 \mu\text{g}/\text{m}^3$, mentre dal 2021 è stato ristretto a $15 \mu\text{g}/\text{m}^3$, quindi per l’anno 2022 il numero di superamenti è maggiore rispetto gli anni precedenti (Figura 4.23).

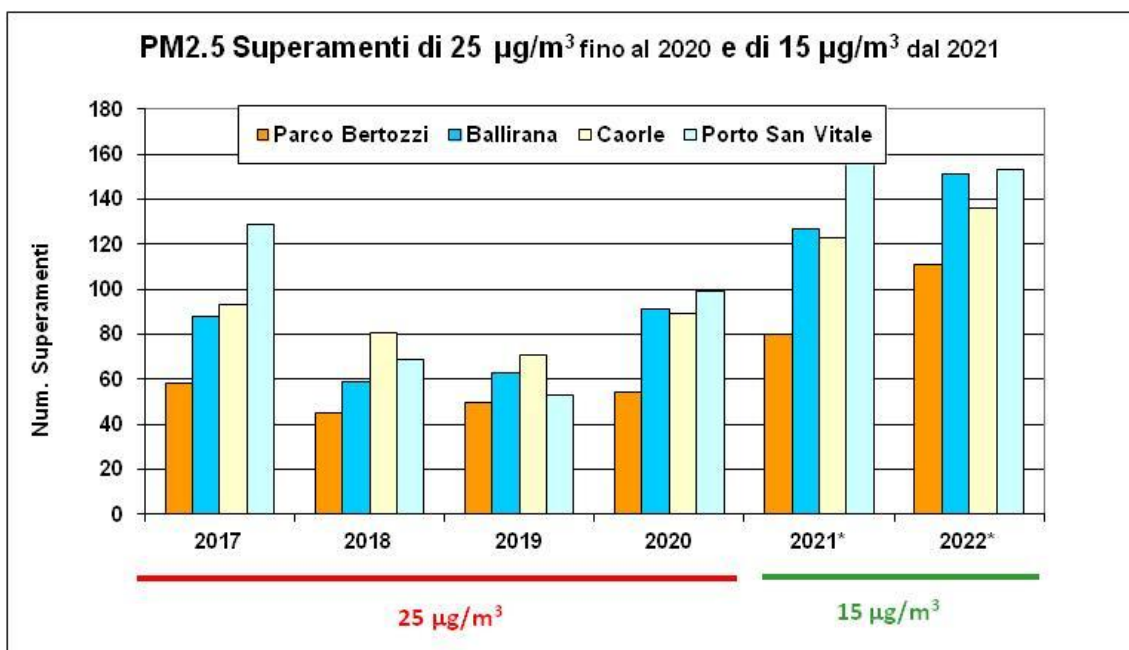
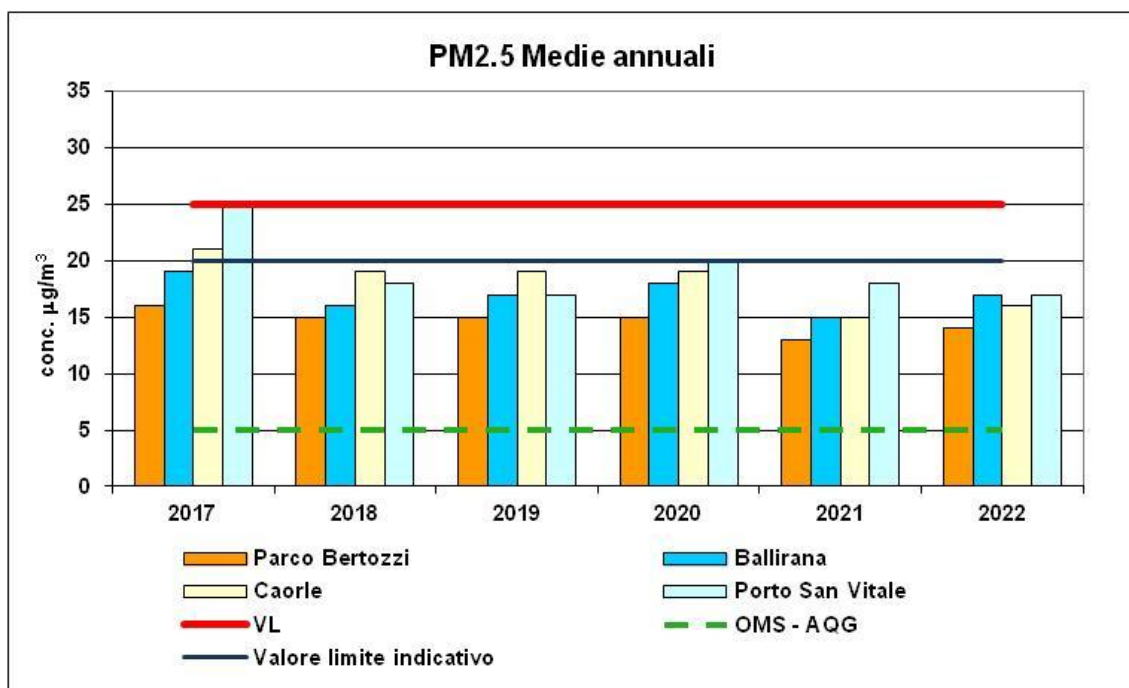


Figura 4.23 – PM2.5: medie annuali e superamenti della media giornaliera di $25 \mu\text{g}/\text{m}^3$ nell’intervallo 2017 - 2022

Nelle stazioni di Parco Bertozzi, Caorle e Porto San Vitale lo stesso strumento permette la contestuale misurazione di particolato PM10 e PM2.5 (SWAM – DualChannel): dal rapporto percentuale giornaliero delle concentrazioni delle due frazioni granulometriche, PM2.5/PM10, per ogni stazione è stata calcolata, e riportata in grafico, la media mensile (Figura 4.24).

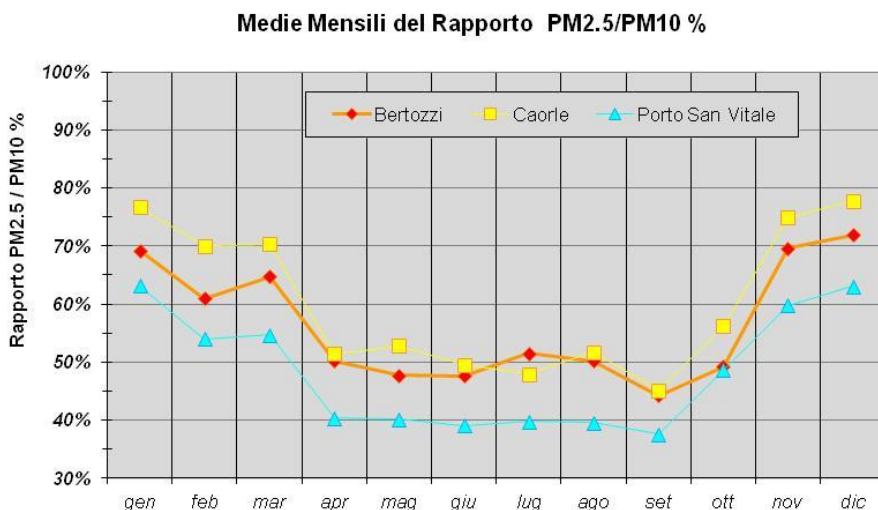


Figura 4.24 Rapporto PM2.5/PM10: medie mensili 2022 (quale % del PM10 è PM2.5)

Dagli andamenti del rapporto si osserva una spiccata stagionalità, più marcata, nella stazione di fondo urbano residenziale (Caorle): la quota di particolato fine (PM2.5) è maggiore nei mesi invernali quando oltre il 70% del PM10 è costituito da PM2.5.

Il PM10 è generato, per una quota significativa, per azione meccanica, mentre il particolato più fine (PM2.5) deriva prevalentemente dalla combustione e/o è di origine secondaria, cioè prodotto in atmosfera a partire da precursori gassosi quali ossidi di azoto (nitrati), ossidi di zolfo (solfati), ammoniaca e composti organici volatili.

La maggior quota di particolato PM2.5 durante i mesi invernali può quindi, essere in relazione con:

- l'aumento delle emissioni primarie derivanti dai processi di combustione (traffico, riscaldamento...), quantitativamente più rilevanti in questo periodo dell'anno;
- l'incremento della componente secondaria legata ad una maggiore presenza di precursori in atmosfera.

Per la stazione di Caorle, la lettura di questo grafico induce a supporre che in questa stazione, al PM2.5 primario (che si produce in zona portuale) si sovrapponga una significativa componente secondaria che si origina sempre in ambito industriale/portuale da precursori qui emessi.

Infine, la Tabella 4.15 bis riporta alcuni parametri statistici relativi al PM2.5, calcolati a partire dal 2017.

Tabella 4.15 bis – Andamento temporale PM2.5 dal 2017 al 2022 (dati giornalieri in $\mu\text{g}/\text{m}^3$)

Stazione: Parco Bertozzi

	2017	2018	2019	2020	2021	2022
Media	16	15	15	15	13	14
50°Percentile	11	12	12	10	10	11
90°Percentile	32	30	31	33	25	27
95°Percentile	41	35	41	42	33	35
98°Percentile	58	44	47	54	42	41
Max	127	61	65	87	60	52
> 25 $\mu\text{g}/\text{m}^3$ (2017-2020)	58	45	50	54	-	-
> 15 $\mu\text{g}/\text{m}^3$ (dal 2021)	-	-	-	-	80	111
% dati validi	98	95	96	98	96	98

Stazione: Ballirana

	2017	2018	2019	2020	2021	2022
Media	19	16	17	18	15	17
50°Percentile	13	14	14	12	11	13
90°Percentile	41	31	36	40	31	32
95°Percentile	51	37	43	46	37	40
98°Percentile	60	45	51	55	44	45
Max	108	58	58	72	59	56
> 25 $\mu\text{g}/\text{m}^3$ (2017-2020)	88	59	63	91	-	-
> 15 $\mu\text{g}/\text{m}^3$ (dal 2021)	-	-	-	-	127	151
% dati validi	99	98	99	99	99	99

Stazione: Caorle

	2017	2018	2019	2020	2021	2022
Media	21	19	19	19	15	16
50°Percentile	14	16	14	13	11	12
90°Percentile	47	36	40	44	31	33
95°Percentile	56	45	51	53	40	38
98°Percentile	72	55	60	64	46	46
Max	115	72	68	90	72	55
> 25 $\mu\text{g}/\text{m}^3$ (2017-2020)	93	81	71	89	-	-
> 15 $\mu\text{g}/\text{m}^3$ (dal 2021)	-	-	-	-	123	137
% dati validi	98	96	94	98	99	98

Stazione Porto S. Vitale

	2017	2018	2019	2020	2021	2022
Media	25	18	17	20	18	17
50°Percentile	19	17	15	15	15	14
90°Percentile	49	30	30	41	34	32
95°Percentile	59	36	37	48	41	38
98°Percentile	70	42	44	60	48	44
Max	108	62	57	82	59	54
> 25 $\mu\text{g}/\text{m}^3$ (2017-2020)	129	69	53	99	-	-
> 15 $\mu\text{g}/\text{m}^3$ (dal 2021)	-	-	-	-	169	153
% dati validi	99	99	98	99	99	99

4.9 Analisi sul particolato

Il particolato PM10 e PM2.5 raccolto sui filtri viene sottoposto ad analisi per la determinazione degli idrocarburi policiclici aromatici e dei metalli.

A Ravenna PM10 e PM2.5 vengono rilevati anche in tre stazioni ubicate in area industriale facenti parte della rete industriale privata. Sul particolato raccolto in queste stazioni dal 2013 viene effettuata una ricerca di PCB, diossine e furani, monitoraggio effettuato anche nel periodo 2004 – 2008.

Il D.Lgs. 155/2010 indica, nell'Allegato VI, i metodi di riferimento da utilizzare per il campionamento e la misurazione di piombo, arsenico, cadmio, nichel e del benzo(a)Pirene nell'aria ambiente.

Invece, per quanto riguarda la determinazione di PCB, Diossine e Furani, il metodo di riferimento è EPA 1613, utilizzando uno spettrometro di massa in alta risoluzione per le diossine e furani, mentre si utilizza un metodo interno del Laboratorio Multisito di Ravenna per l'analisi dei PCB.

4.9.1 Idrocarburi Policiclici Aromatici (IPA)

Gli idrocarburi policiclici aromatici (IPA) sono idrocarburi aromatici ad elevato peso molecolare, la cui molecola è formata da due o più anelli benzenici, saldati in modo da avere in comune due o più atomi di carbonio. Vengono suddivisi, in funzione del peso molecolare e del numero di atomi, in IPA leggeri (2-3 anelli condensati) e IPA pesanti (4-6 anelli). La pericolosità di alcuni IPA deriva principalmente dalla loro semi-volatilità che li rende particolarmente mobili attraverso le varie matrici ambientali.

Il composto più studiato e rilevato è il Benzo(a)Pirene [BaP] del quale l'Agenzia Internazionale di Ricerca sul Cancro (IARC) ha accertato la cancerogenicità per l'uomo (Gruppo1).



In Europa, negli anni Novanta, è stata stimata una concentrazione atmosferica media annua di questo IPA compresa fra 0,1 e 1 ng/m³ in area rurale e fra 0,5 e 3 ng/m³ in area urbana.

In particolari aree geografiche, le principali sorgenti naturali di IPA nell'ambiente sono costituite da incendi boschivi e vulcani. Per quanto riguarda le sorgenti antropiche, il maggior contributo deriva dalla combustione incompleta di composti organici durante processi industriali ed altre attività come la trasformazione di combustibili fossili, la produzione di alluminio, acciaio e di materiali bituminosi, l'incenerimento di rifiuti, la produzione di energia termoelettrica, il traffico veicolare, il riscaldamento domestico e il fumo di tabacco. In particolare, durante i processi di combustione gli IPA vengono inizialmente generati in fase gassosa e permangono solo per breve tempo nell'atmosfera in quanto, a causa della loro bassa tensione di vapore, tendono rapidamente a condensarsi e ad essere adsorbiti dalle particelle sospese, che, per la loro elevata superficie specifica, presentano alta capacità di adsorbimento anche per questi inquinanti.

In atmosfera l'esposizione agli IPA non è mai legata ad un singolo composto, ma ad una miscela generalmente adsorbita al particolato atmosferico. La distribuzione dei diversi isomeri tra fase gassosa e particolata dipende, in ultima analisi, dal peso molecolare: composti a basso peso molecolare sono praticamente presenti solo nella fase gassosa, mentre i composti definiti pesanti sono per lo più adsorbiti sul particolato atmosferico.

Il metodo analitico utilizzato per la determinazione degli IPA prevede l'estrazione del materiale particellare con solvente e la successiva purificazione su colonna di gel di silice. L'eluato così raccolto viene ripreso con un volume noto di toluene. La determinazione analitica finale viene effettuata per gascromatografia ad alta risoluzione interfacciata ad un rivelatore costituito da uno spettrometro di massa a bassa risoluzione.

Valutazione in sintesi

<i>Indicatore</i>	<i>Copertura temporale</i>	<i>Stato attuale indicatore</i>	<i>Trend</i>
Concentrazione in aria di Idrocarburi Policiclici Aromatici (IPA) – Benzo(a)pirene	2018 - 2022		

Nel 2022 il valore obiettivo di 1 ng/m³ come media annuale della concentrazione del benzo(a)pirene, valido a partire dal 2012, è stato rispettato in tutte le stazioni.

Le concentrazioni dell'ultimo quinquennio (2018-2022) sono stabili e contenute, pertanto la criticità segnalata non è relativa alle concentrazioni rilevate quanto alla classificazione dell'inquinante come accertato cancerogeno.

<i>IPA</i> <i>Concentrazione di inquinante nella frazione PM10</i>				<i>Medie mensili di benzo(a)pirene in ng/m³</i>		<i>Limiti Normativi</i>
<i>Stazione</i>	<i>Comune</i>	<i>Tipologia</i>	<i>Efficienza%</i>	<i>Minimo</i>	<i>Massimo</i>	<i>1 ng/m³</i> <i>Media annuale Benzo(a)pirene</i>
Delta Cervia	Cervia	Fondo Sub-urb	97	<0.1	0.5	0.2
Parco Bertozzi	Faenza	Fondo Urbano	98	<0.1	0.6	0.2
Caorle	Ravenna	Fondo Urbano Res	98	<0.1	0.5	0.2
Zalamella	Ravenna	Traffico	99	<0.1	0.7	0.2
Rocca Brancaleone	Ravenna	Locale Ind/Urbano	99	<0.1	0.6	0.2
San Vitale	Ravenna	Locale Industriale	99	<0.1	0.5	0.2

Tabella 4.16 – IPA sul particolato PM10: parametri statistici e confronto con i limiti normativi

In Figura 4.25 sono riportate le concentrazioni medie annuali di benzo(a)pirene (in ng/m³), rilevate nelle postazioni della provincia, negli ultimi 5 anni. Le medie annuali del 2022 sono più alte rispetto alle annualità precedenti nelle stazioni Caorle, San Vitale e Parco Bertozzi. Sono, invece, inferiori nelle stazioni Zalamella, Rocca Brancaleone e Delta Cervia. In generale, comunque, i valori sono in linea con quelli degli anni precedenti e sempre abbondantemente inferiori al limite normativo di 1 ng/m³.

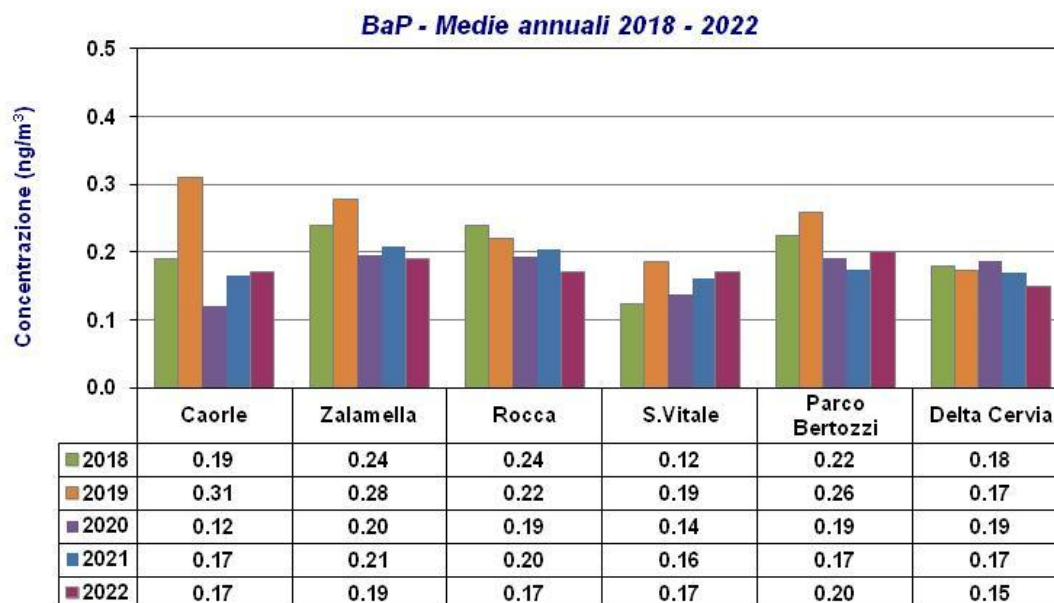


Figura 4.25 – Concentrazioni medie annuali BaP – anni 2018 – 2022

L'istogramma delle concentrazioni medie mensili di BaP (Figura 4.26) mostra un marcato andamento stagionale, come avviene anche per il particolato, con valori anche al di sotto della sensibilità analitica nei mesi estivi e valori apprezzabili nel periodo invernale; le medie mensili più alte si sono registrate a Zalamella (0.67 ng/m^3) nel mese di gennaio e a Parco Bertozzi (0.62 ng/m^3) nel mese di dicembre.

Le basse concentrazioni nei mesi estivi sono riconducibili alla concomitanza di diversi fattori: la riduzione delle sorgenti attive (minor uso dell'auto, riscaldamento spento,...), la presenza di condizioni meteorologiche più favorevoli alla diffusione degli inquinanti (venti più intensi, acquazzoni che dilavano l'atmosfera, assenza di inversione termica) ed una maggiore insolazione, in grado di favorire reazioni di degradazione degli IPA.

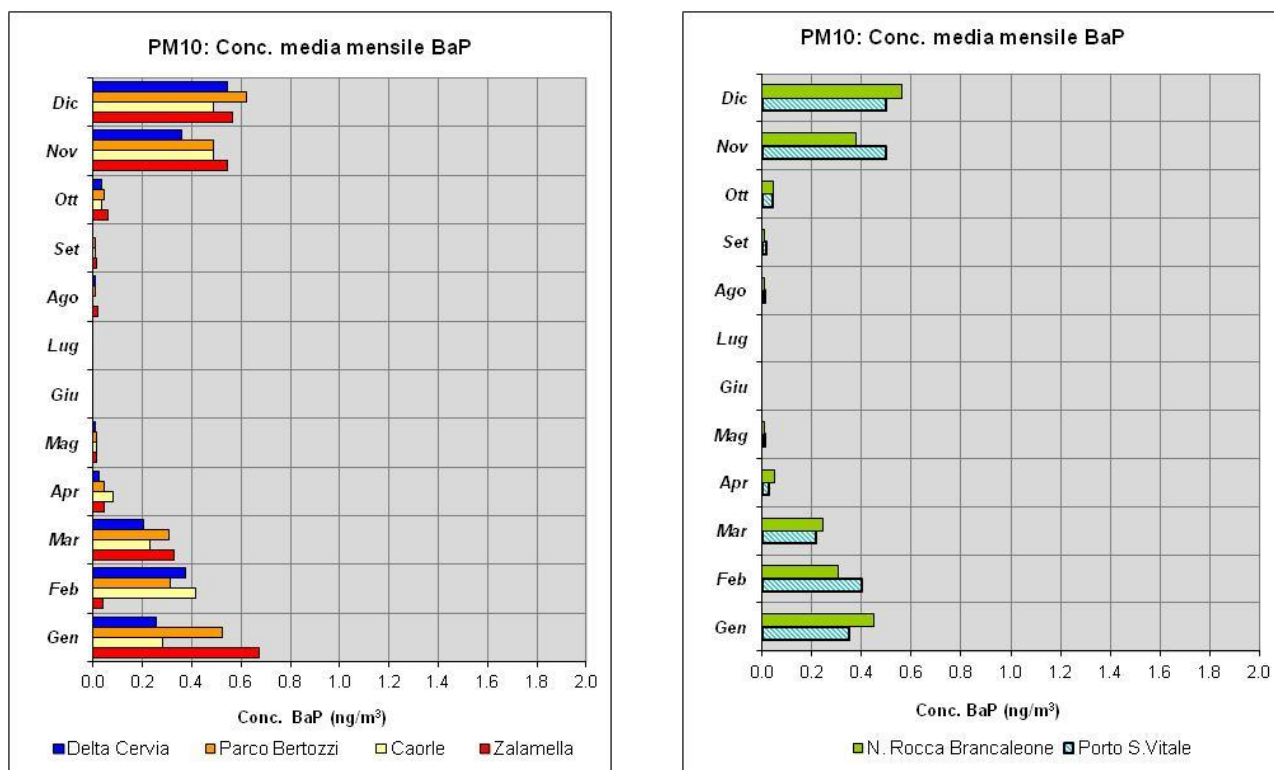


Figura 4.26 – Andamento temporale delle concentrazioni medie mensili di BaP nel PM10 nel 2022 - Stazioni urbane e di fondo (a sinistra) e in stazioni locali industriali (a destra)

Il grafico di Figura 4.27 riporta le concentrazioni medie annuali degli IPA richiamati dal D.lgs 155/2010: i congeneri a concentrazione maggiore sono il benzo[b+j]fluorantene, classificato dallo IARC come possibile cancerogeno per l'uomo (1B) soprattutto nella stazione di Caorle e l'indeno(1,2,3-cd)pirene, anch'esso classificato cancerogeno per l'uomo (1B); gli altri composti si attestano su valori più bassi.

Particolarmente basse, in tutte le postazioni, sono le concentrazioni di dibenzo(a,h+a,c)antracene, anch'esso classificato dallo IARC come 2B.

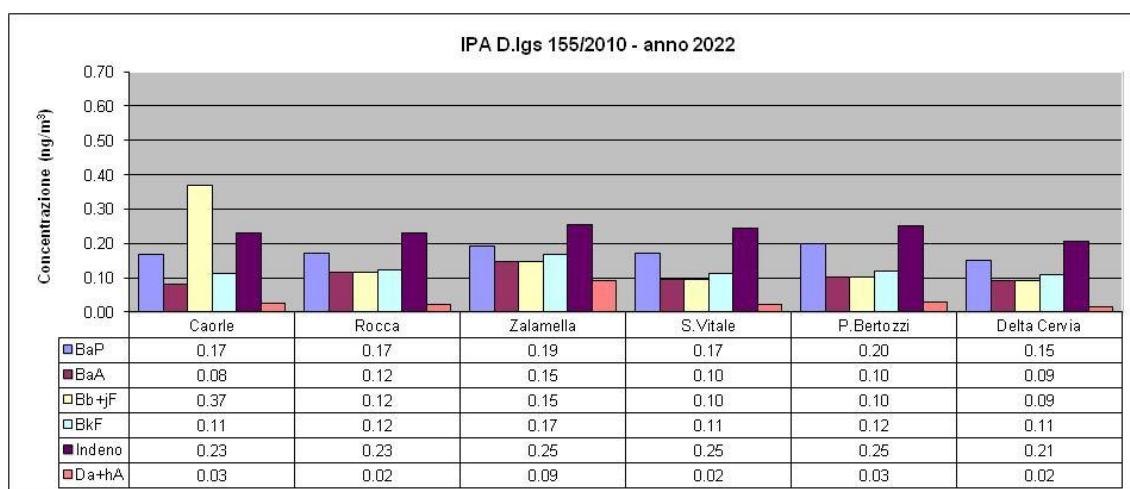


Figura 4.27 – Media annuale sul particolato PM10 (2022) degli IPA indicati dal D.lgs. 155/2010 - postazioni della rete di controllo della qualità dell'aria

4.9.1.1 - IPA nel PM2.5 e rapporto PM10/PM2.5

Dal 2009 gli IPA vengono rilevati anche sul particolato PM2.5: inizialmente solo a Ballirana (dove si misura solo il PM2.5) e a Parco Bertozzi (dove si rileva anche il PM10) poi, dal 2014, anche nelle stazioni di Caorle e Porto San Vitale dove si misura sia il PM10 che il PM2.5.

La Figura 4.28 riporta, per l'anno 2022, la concentrazione media mensile di B(a)P nel PM2.5 nelle quattro stazioni. La concentrazione media mensile più alta (0.7 ng/m³) si registra nel mese di dicembre a Parco Bertozzi.

Anche per il PM2.5 - come per il PM10 - le medie mensili di BaP hanno un andamento stagionale, con concentrazioni maggiori nel periodo invernale e concentrazioni quasi sempre inferiori al limite di quantificazione nel periodo estivo.

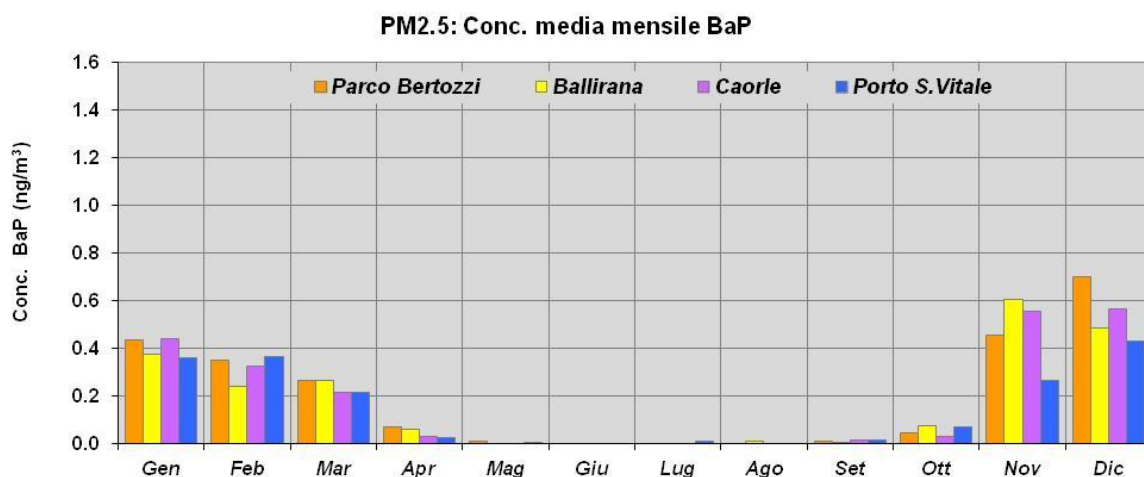
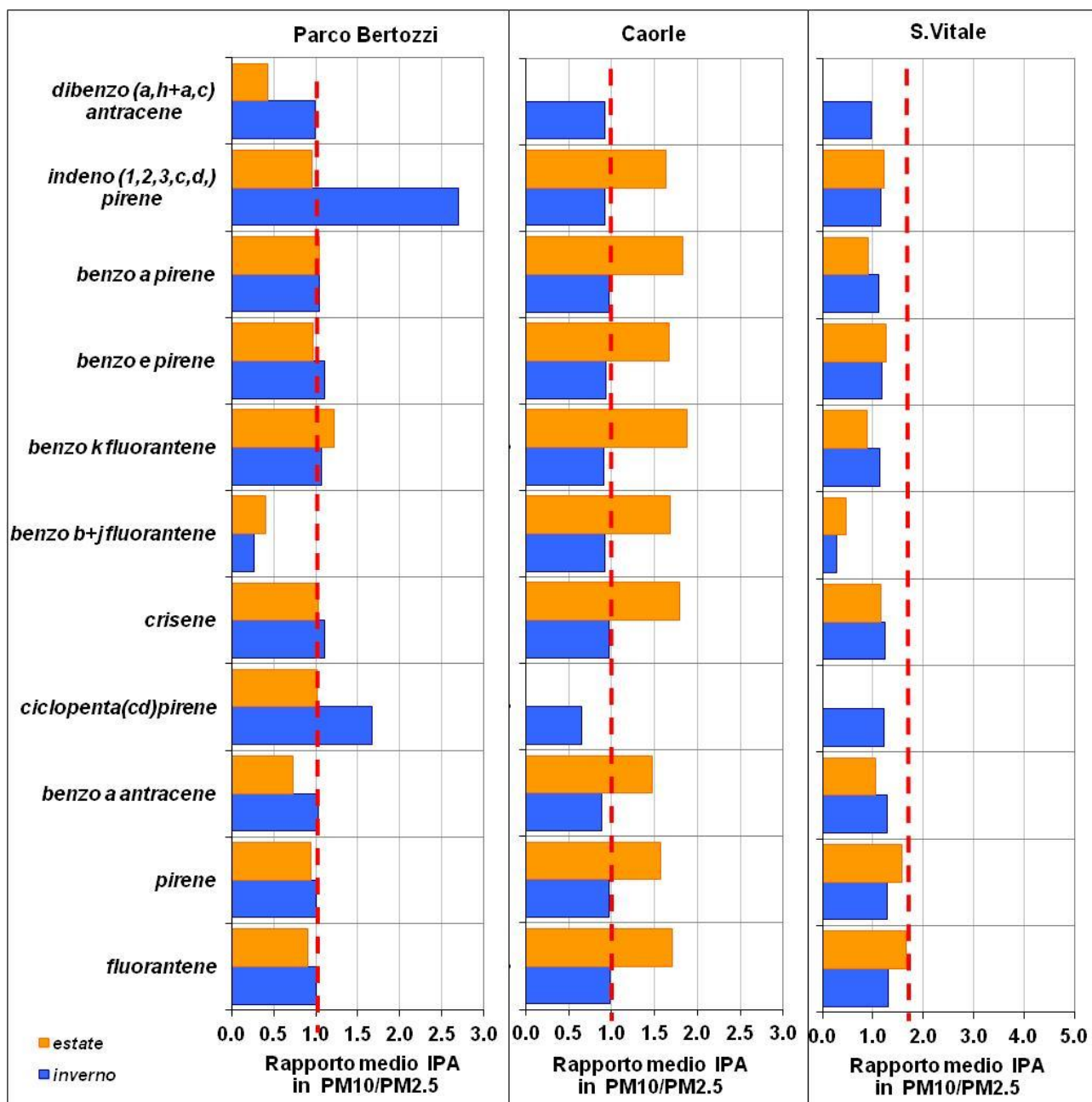


Figura 4.28 – Andamento temporale delle concentrazioni medie mensili di BaP sul PM2,5 Anno 2022

Per le stazioni in cui si misura contestualmente PM10 e PM2.5 (Parco Bertozzi, Caorle e Porto San Vitale), è stato calcolato anche il rapporto fra le concentrazioni assolute (ng di IPA/g di particolato) nelle due frazioni granulometriche. Considerata la significativa variabilità stagionale, si è scelto di rappresentare il rapporto (concentrazione nella frazione PM10 / concentrazione nella frazione PM2.5) calcolato come media dei 6 mesi “invernali” (primo e ultimo trimestre dell’anno) e dei 6 mesi “estivi”, da aprile a settembre. Quando il rapporto è superiore ad 1 indica un maggiore adsorbimento dell’IPA in esame sul particolato PM10 rispetto alla frazione più fine, mentre un valore inferiore ad 1 evidenzia un adsorbimento maggiore sul particolato PM2.5.

In Figura 4.29 è riportato il risultato di tale elaborazione per l’anno 2022, ed in generale si può affermare che nella maggior parte dei casi, si evidenzia un adsorbimento maggiore sul particolato PM10 sia nel periodo invernale sia in quello estivo nelle stazioni di Fondo Urbano mentre l’andamento è opposto nella stazione Locale Industriale di Porto San Vitale. In particolare:

- nella stazione di Fondo Urbano di Faenza, Parco Bertozzi, si rilevano valori circa uguali ad 1 o leggermente superiori nei mesi invernali, mentre nei mesi estivi, per la maggior parte dei composti il rapporto è minore di 1 tranne che per benzo K fluorantene;
- nella stazione di Fondo Urbano di Caorle i valori di tutti i composti sono maggiori 1 in estate, mentre sono inferiori o prossimi a 1 in inverno;
- nella stazione Locale di Porto San Vitale (area industriale), il rapporto è sempre minore di 1, sia nei mesi invernali sia in quelli estivi, tranne per il fluorantene che ha un rapporto pari a 1 nel periodo estivo.



Nota: non sono riportati i dati relativi al periodo estivo (istogramma arancione), del *dibenzo(a,h+a,c)antracene* per le stazioni di Caorle e Porto San Vitale in quanto inferiori al limite di quantificazione strumentale

Figura 4.29 – Rapporto “ng IPA per ogni g PM10 / ng IPA per ogni g PM2.5” - Anno 2022

4.9.1.2 Rapporti diagnostici

In questo paragrafo è stato approfondito lo studio dei rapporti fra singoli IPA.

In letteratura sono citati alcuni valori di “rapporto diagnostico” - definito come relazione tra le concentrazioni di IPA considerati dei marker per particolari sorgenti antropiche - che consentono di formulare ipotesi circa la sorgente prevalente nella formazione di questi composti.

In particolare, sono stati calcolati i rapporti diagnostici riportati in tabella 4.17, con riferimento all'anno 2022 e il risultato denota una predominanza, pressoché in tutte le postazioni, dell'apporto dato dalla sorgente “traffico veicolare”.

Diagnosis ratio	Value	Sources	References
Indeno[1,2,3-cd]pyrene/(indeno[1,2,3-cd]pyrene + benzo[ghi]perylene)	0.18	Cars	Grimmer et al. (1983); Ravindra et al. (2006a, b) Kavouras et al. (2001)
	0.37	Diesel	
	0.56	Coal	
	0.62	Wood burning	
Fluorene/(fluorene + pyrene)	0.35-0.70	Diesel emissions	Rogge et al. (1993a,b); Mandalakis et al. (2002); Fang et al. (2004); Ravindra et al. (2006a, b)
	>0.5	Diesel	
B[a]P/(B[a]P + chrysene)	<0.5	Gasoline	Khalili et al. (1995); Guo et al. (2003)
	0.5	Diesel	
Benzo[b]fluoranthene/benzo[k]fluoranthene	0.73	Gasoline	Pandey et al. (1999); Park et al. (2002)
	>0.5	Diesel	
B[a]P/benzo[ghi]perylene	0.5-0.6	Traffic emission	Pandey et al. (1999); Park et al. (2002); Pandey et al. (1999)
	>1.25	Brown coal ^b	
Indeno[1,2,3-cd]pyrene/benzo[ghi]perylene	<0.4	Gasoline	Caricchia et al. (1999)
	~1	Diesel	
CPAHs/TPAHs ^a	~1	Combustion	Prahl et al. (1984); Takada et al. (1990); Mantis et al. (2005) Ravindra et al. (2006a, 2008); Gogou et al. (1996)
Fluoranthene/benzo[e]pyrene	3.5±0.5	Automobile exhaust	Oda et al. (2001)
Pyrene/benzo[e]pyrene	6±1	Diesel engine	
	~10		
Pyrene/B[a]P	~1	Gasoline engine	
	~1		
Fluoranthene/pyrene	0.6	Vehicle	Neilson (1998)

^aSum of major non-alkylated compounds (fluorene + pyrene + benzo[a]anthracene + chrysene + benzo[b]fluoranthene + benzo[k]fluoranthene + B[a]P + indeno[1,2,3-cd]pyrene + benzo[ghi]perylene)/total concentration of PAHs.
^bUsed for residential heating and industrial operation.

Tabella 4.17– Esempi di rapporti diagnostici (Ravindra et. al., atm environment (2008) doi:10,1016/j.atmosenv.2007.12.010).

Di seguito si riportano i valori dei rapporti, calcolati per l'anno 2022 a Ravenna, di:

- $\text{indeno}(1,2,3, c,d) \text{ pirene} / (\text{indeno}(1,2,3,c,d)\text{pirene} + \text{benzo}(g,h,i)\text{perilene})$
 - $\text{BaP} / (\text{BaP} + \text{crisene})$.
- (evidenziati in rosso nella tabella 4.18).

Per ogni rapporto è stata calcolata la media annua e la media dei soli mesi autunnali ed invernali (gennaio-marzo e ottobre-dicembre), escludendo il semestre estivo (aprile – settembre) perché gli IPA - per effetto dell'insolazione - subiscono reazioni di degradazione, diverse come modalità e intensità fra i vari composti, e questo modificherebbe il valore del rapporto diagnostico.

Rapporto medio					
		$I(1,2,3,c,d)P / I(1,2,3c,d)P + B(g,h,i)Pe$		$BaP / (BaP + \text{crisene})$	
Stazione		2022	autunno ed inverno 2022	2022	autunno ed inverno 2022
Rocca	PM10	0,48	0,48	0,59	0,60
Caorle	PM10	0,50	0,50	0,62	0,63
	PM2.5	0,51	0,51	0,62	0,63
Zalamella	PM10	0,49	0,49	0,45	0,45
P. Bertozzi	PM10	0,50	0,50	0,64	0,64
	PM2.5	0,49	0,50	0,65	0,66
Cervia	PM10	0,50	0,50	0,60	0,60
Ballirana	PM2.5	0,50	0,50	0,61	0,62
San Vitale	PM10	0,49	0,49	0,60	0,59
	PM2.5	0,48	0,49	0,62	0,63

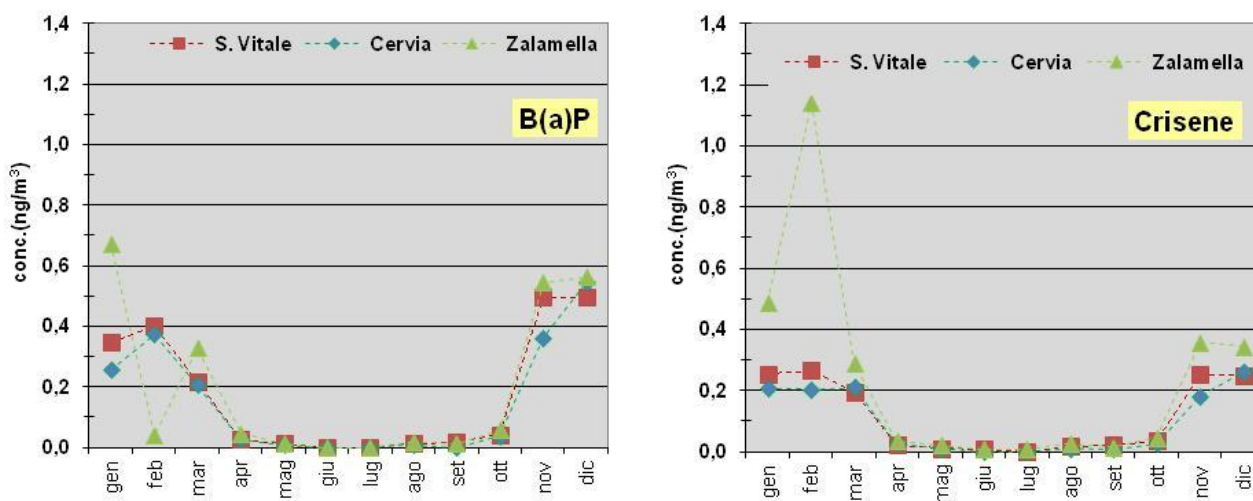
Tabella 4.18 – Rapporti diagnostici calcolati per le postazioni della provincia di Ravenna 2022

valore di riferimento	Traffico veicolare	0.35 ÷ 0.70	0.5 diesel	0.73 benzina
-----------------------	--------------------	-------------	------------	--------------

Il rapporto $I(123cd)P / [I(123cd)P + B(ghi)Pe]$ è stabile e si riscontrano valori compresi nel range di riferimento tipico delle emissioni da traffico veicolare, sia nell'anno sia in inverno.

Anche il rapporto $BaP / [(BaP + \text{crisene})]$ non varia significativamente: è simile in tutte le postazioni e i valori sono compresi fra quelli tipici di emissioni da veicoli a benzina e veicoli diesel.

Per gli IPA considerati nei rapporti diagnostici (benzo(a)pirene, crisene, indeno(1,2,3,c,d)pirene e benzo(g,h,i)perilene,) si riportano le medie mensili in tre stazioni di riferimento: postazione di traffico urbano (Zalamella), industriale (Porto San Vitale) e fondo suburbano (Delta Cervia) (Figura 4.30).



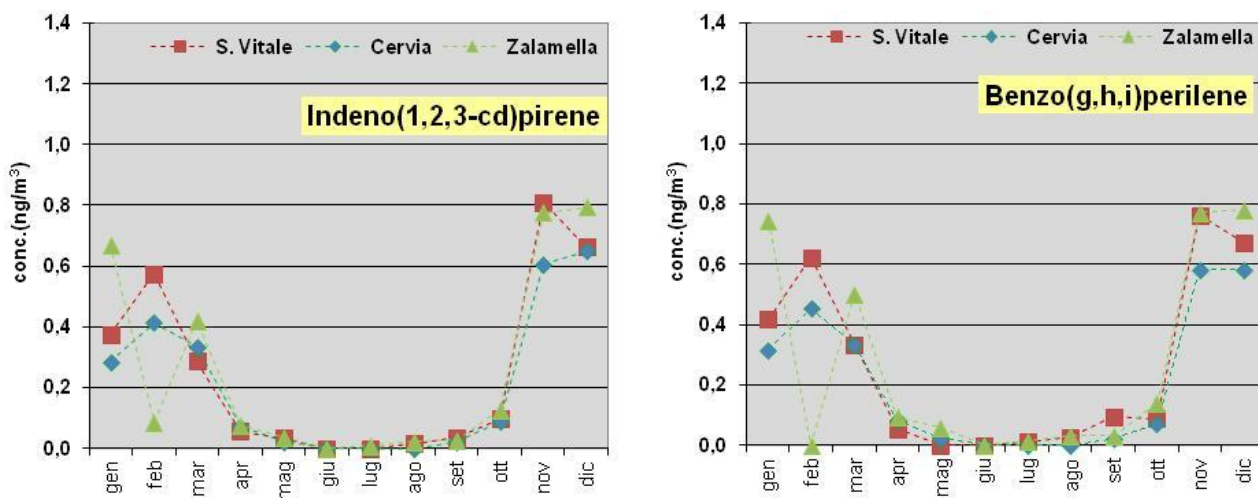


Figura 4.30 – Medie mensili degli IPA considerati nei rapporti diagnostici 2022

I due rapporti diagnostici del semestre invernale degli ultimi cinque anni – calcolati per le tre stazioni Zalamella, Delta Cervia e Porto San Vitale - sono riportati, come istogrammi, in Figura 4.31. Il primo rapporto risulta stabile intorno a 0,5. Il rapporto BaP/(BaP+Crisene) per il 2022 risulta inferiore a 0.5 a Zalamella e superiore a Delta Cervia ed a Porto San Vitale. Sullo stesso grafico è riportato il range di valori “tipici” per il traffico veicolare nel rapporto indeno/(indeno+benzo(g,h,i)perilene) e quelli “tipici” di veicoli diesel e benzina per il rapporto BaP/(BaP+Crisene).

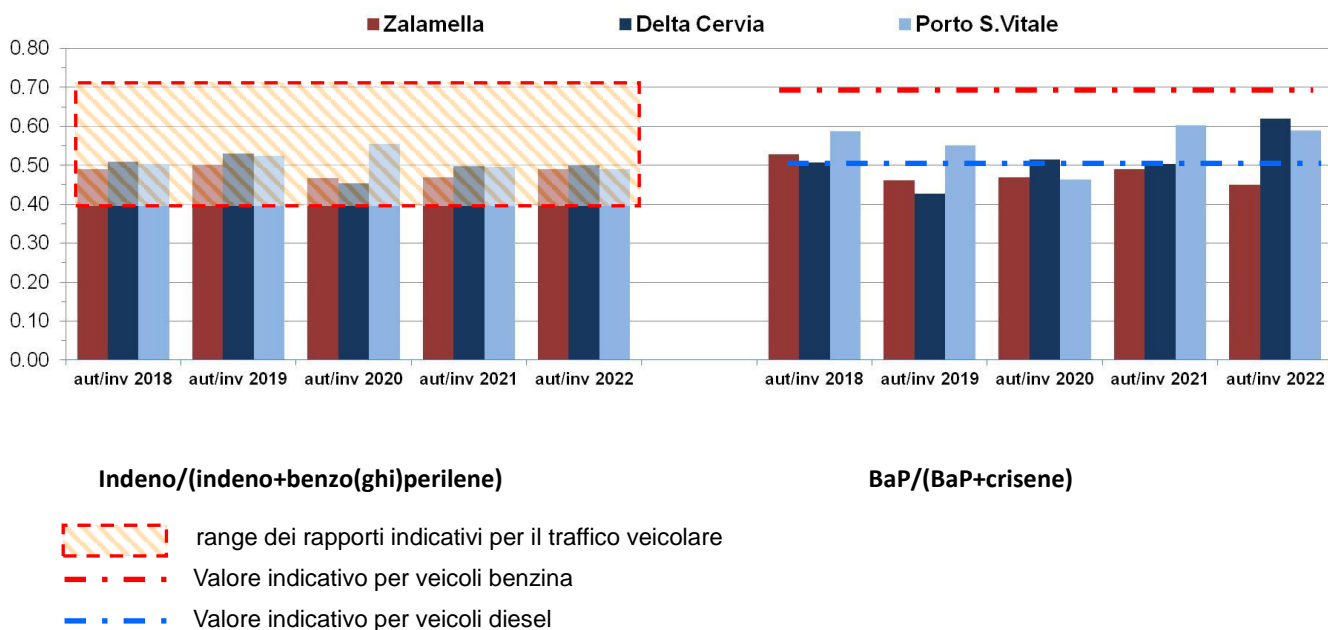


Figura 4.31 – Rapporti diagnostici, mesi invernali e autunnali 2018 – 2022

4.9.2 Metalli

Nel particolato atmosferico sono presenti metalli di varia natura. Quelli di maggior rilevanza sotto il profilo tossicologico per i quali esiste un limite normativo sono: nichel, cadmio, arsenico e piombo, che hanno evidenziato un'ampia gamma di effetti tossici sulla salute e sono classificati dall'Agenzia Internazionale di Ricerca sul Cancro (IARC) come cancerogeni per l'uomo.

I metalli presenti nel particolato provengono da diverse fonti sia naturali che antropiche:

- **Alluminio (Al), Ferro (Fe), Silicio (Si), Potassio (K), Manganese (Mn), Calcio (Ca), Cromo (Cr):** costituenti della crosta terrestre ⇒ suolo, rocce;

- **Sodio (Na), Cloro (Cl), Magnesio (Mg):** aerosol marino;

- **Bromo (Br), Piombo (Pb), Bario (Ba):** emissioni da trasporto veicolare;

- **Vanadio (V), Nichel (Ni):** combustione di olii combustibili, produzione di metalli non ferrosi, produzione di ferro e acciaio;



- **Selenio (Se), Arsenico (As), Cromo (Cr), Cobalto (Co), Rame (Cu):** combustione di carbone, produzione di metalli non ferrosi;

- **Zinco (Zn), Antimonio (Sb), Rame (Cu), Cadmio (Cd), Mercurio (Hg):** incenerimento di rifiuti, produzione di cemento, produzione di metalli non ferrosi, produzione di ferro e acciaio.

In particolare, il piombo aveva come fonte predominante il traffico veicolare da motori a benzina, ma dal 01/01/2002 con l'adozione della "benzina verde", si è registrata una riduzione del 97% della concentrazione di tale metallo sul particolato.

Piombo, zinco, cadmio, arsenico, nichel, vanadio, si trovano in prevalenza nella frazione fine del particolato, mentre elementi come, ferro, cromo, calcio, silicio, alluminio, rame e manganese si possono trovare anche nella parte più "grossolana" del PM10 (detta anche frazione coarse).

Valutazione in sintesi

<i>Indicatore</i>	<i>Copertura temporale</i>	<i>Stato attuale indicatore</i>	<i>Trend</i>
Concentrazione in aria di Metalli Pesanti (As, Cd, Ni, Pb)	2018 - 2022		

Per tutti i metalli che vengono analizzati nel particolato per l'anno 2022, le concentrazioni medie risultano in linea o inferiori ai dati rilevati negli anni precedenti (2018-2022) e comunque inferiori ai limiti di legge. Rispetto ai riferimenti normativi non si riscontrano particolari criticità per questi inquinanti anche se, considerata la classificazione di alcuni di essi da parte dello IARC e il trend stazionario (non in diminuzione per tutti i metalli) la valutazione dell'indicatore non può essere, in generale, positiva e suggerisce la continuazione di tale monitoraggio.

Metalli Concentrazione di inquinante nella frazione PM10				Valore obiettivo Media annuale nella frazione PM 10			Valore limite
Stazione	Comune	Tipologia	Efficienza %	Arsenico (As) 6.0 ng/m ³	Cadmio (Cd) 5.0 ng/m ³	Nichel (Ni) 20.0 ng/m ³	Piombo (Pb) (0.5 µg/m ³) ³ 500 ng/m ³
Delta Cervia	Cervia	Fondo Sub-urb	97	0.2	0.1	1.4	2.6
Parco Bertozzi	Faenza	Fondo Urbano	98	0.2	0.1	0.6	2.2
Caorle	Ravenna	Fondo Urbano Res	98	0.2	0.1	0.9	2.6
Zalamella	Ravenna	Traffico	99	0.3	0.1	1.0	3.0
Rocca Brancaleone	Ravenna	Locale Ind/Urbano	99	0.3	0.1	1.2	2.8
Porto San Vitale	Ravenna	Locale Industriale	99	0.3	0.1	1.6	3.1

Tabella 4.19 – Metalli sul particolato PM10 espressi in ng/m³: parametri statistici e confronto con i limiti normativi

Per la determinazione dei metalli sul particolato PM10 e PM2.5 viene utilizzato il metodo UNI EN 14902/05. Una porzione delle membrane campionate viene mineralizzata con microonde, ponendo il campione in contenitori ermetici in PTFE nei quali sono aggiunti acidi ultrapuri.

La determinazione analitica della soluzione di campione è effettuata con un sistema ICP/MS (Inductively Coupled Plasma Mass Spectrometry). I dati al di sotto del Limite di Rilevabilità (LR) sono stati considerati pari alla metà del limite stesso.

I risultati delle analisi evidenziano come metalli e non metalli siano sempre presenti nel particolato campionato, con percentuali massime sulla massa del particolato atmosferico del 2 - 3%.

Di seguito si riportano i risultati di alcuni lavori effettuati ormai più di dieci anni fa, che quindi hanno una valenza più qualitativa che quantitativa (essendosi nel frattempo modificato il pattern emissivo), relativi ai range della concentrazione media annuale di alcuni metalli (Pb, Cd, Ni, As) rilevata in Italia e in Europa, *pubblicati dell'Istituto Superiore di Sanità (ISS)* (tabella 4.22).

Inquinante	ISS 1999-2000 ⁽¹⁾	ISS 2003 ⁽²⁾	ISS 2004 ⁽³⁾	Range italiano	Range europeo	Valore obiettivo
Piombo	68	21	10.1	6.3 - 210	10 -100	500
Cadmio	0.62	0.51	0.34	0.2 - 4	0.2 – 2.5	5
Nichel	6.6	6.2	4.8	3.3 - 35	1.4 -13	20
Arsenico	--	4.3	1.7	0.3 – 8.4	0.5 - 3	6

1) Misure ISS - periodo aprile 1999-febbraio 2000; 2) Valori medi annuali delle concentrazioni determinate nel periodo 1996-2003 a: Firenze, Roma, Bari, Padova, Bolzano, Reggio Emilia, Catania, Torino, Venezia, Milano, Aosta. 3) Siti urbani influenzati dal traffico.

Tabella 4.20 - Istituto Superiore di Sanità: concentrazioni (ng/m³) di piombo, cadmio, nichel, arsenico nichel – Anni 2000 – 2004

Nelle Figure 4.31 – 4.32 – 4.33 sono riportate le medie annuali dei metalli ricercati sul particolato PM10 e PM2.5 delle stazioni della Provincia di Ravenna.

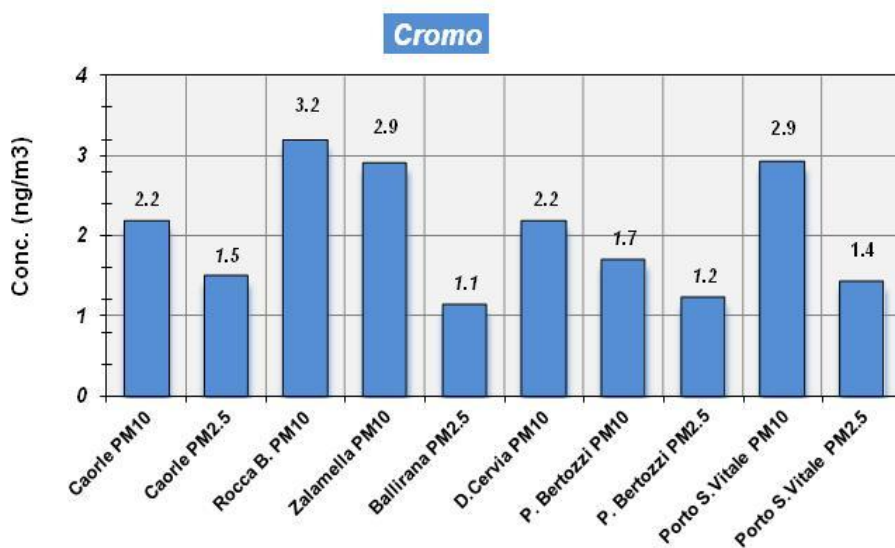
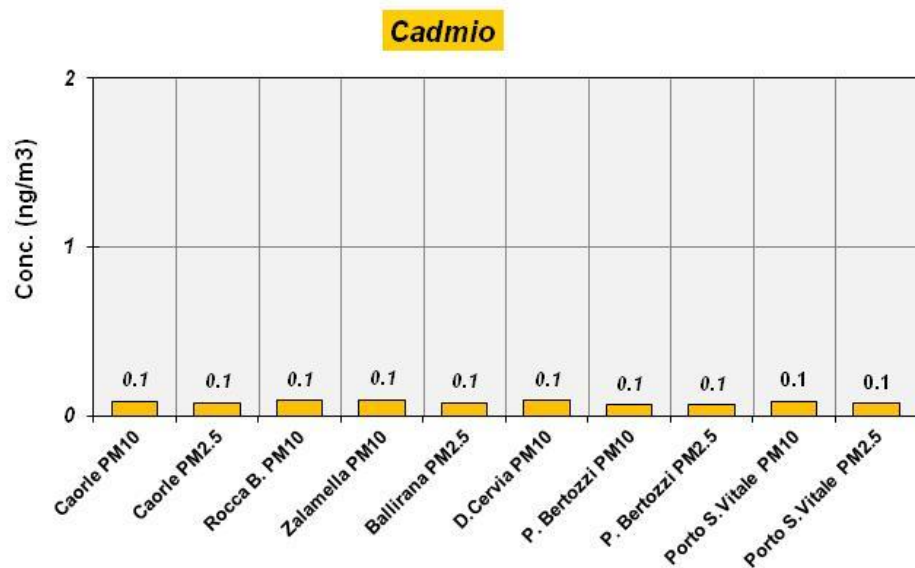
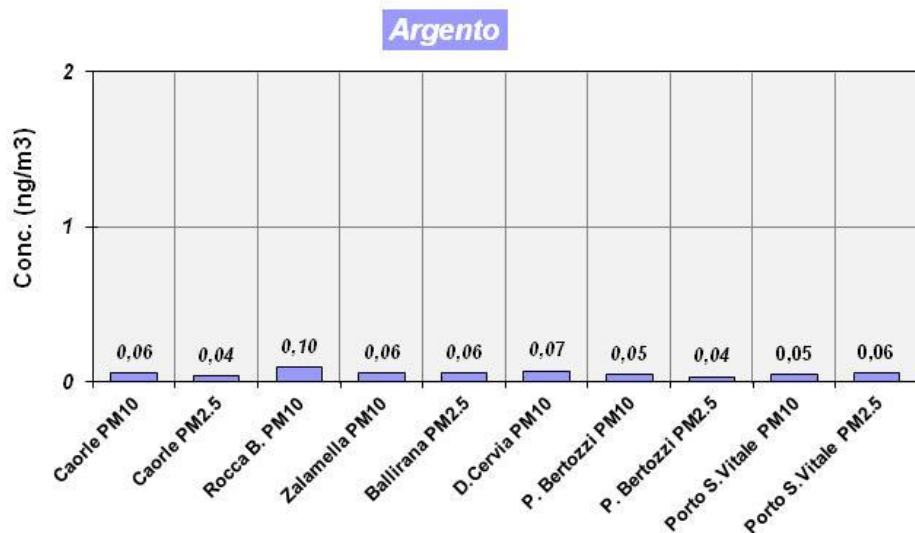


Figura 4.31 Metalli: concentrazione media annuale sul particolato PM10 e PM2.5

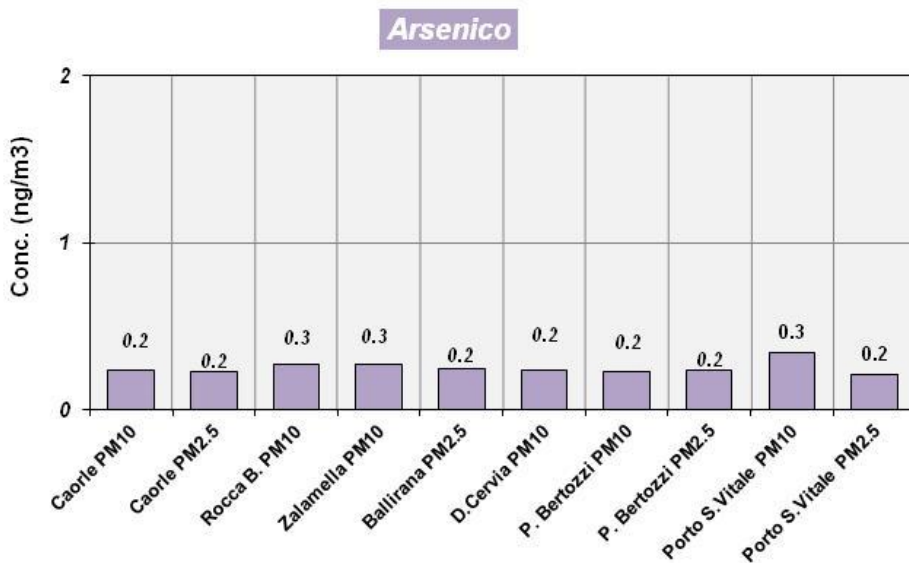
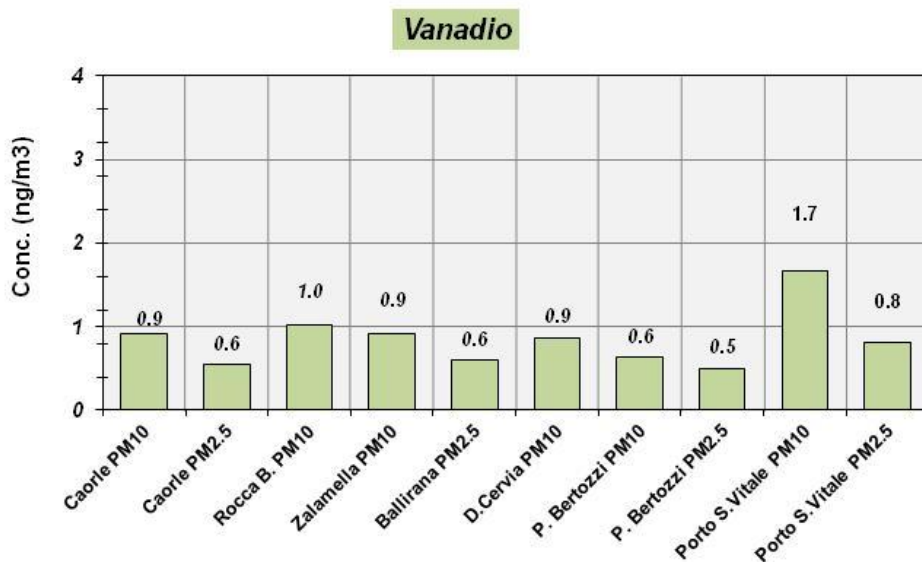
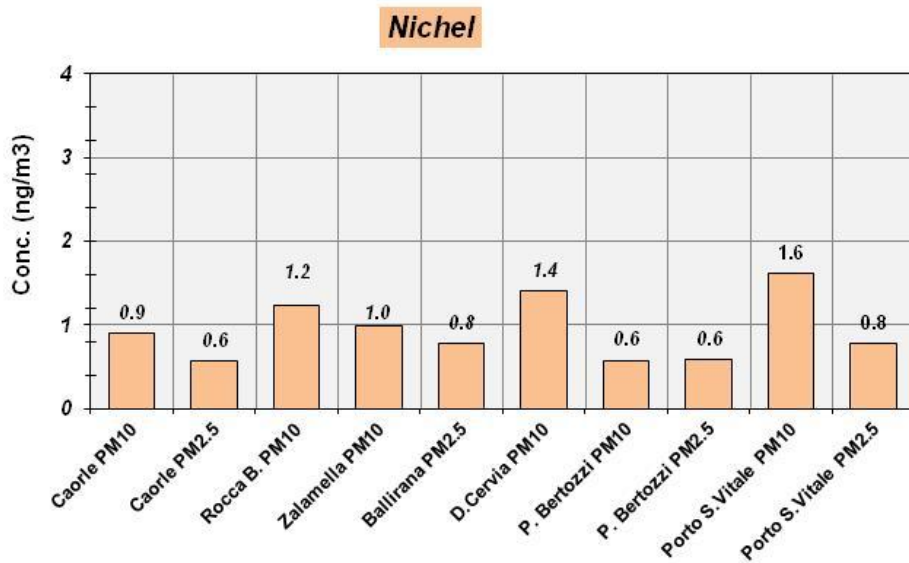


Figura 4.32
Metalli:
concentrazione media
annuale sul
particolato PM10 e
PM2.5

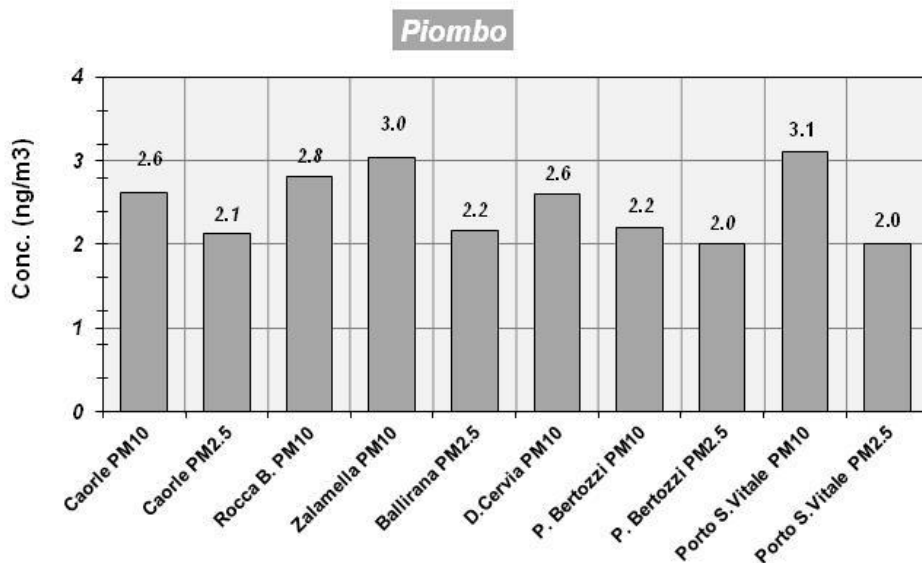


Figura 4.33
Metalli:
concentrazione media
annuale sul
particolato PM10 e
PM2.5

Come prevedibile, nelle stazioni in cui viene misurato sia il PM10 che il PM2.5, le concentrazioni di metalli sono superiori nella frazione granulometrica più grossolana (PM10).

Nelle Figure 4.34 (a) e 4.34 (b) sono riportati gli andamenti mensili di tutte le stazioni della Rete Regionale e le Locali.

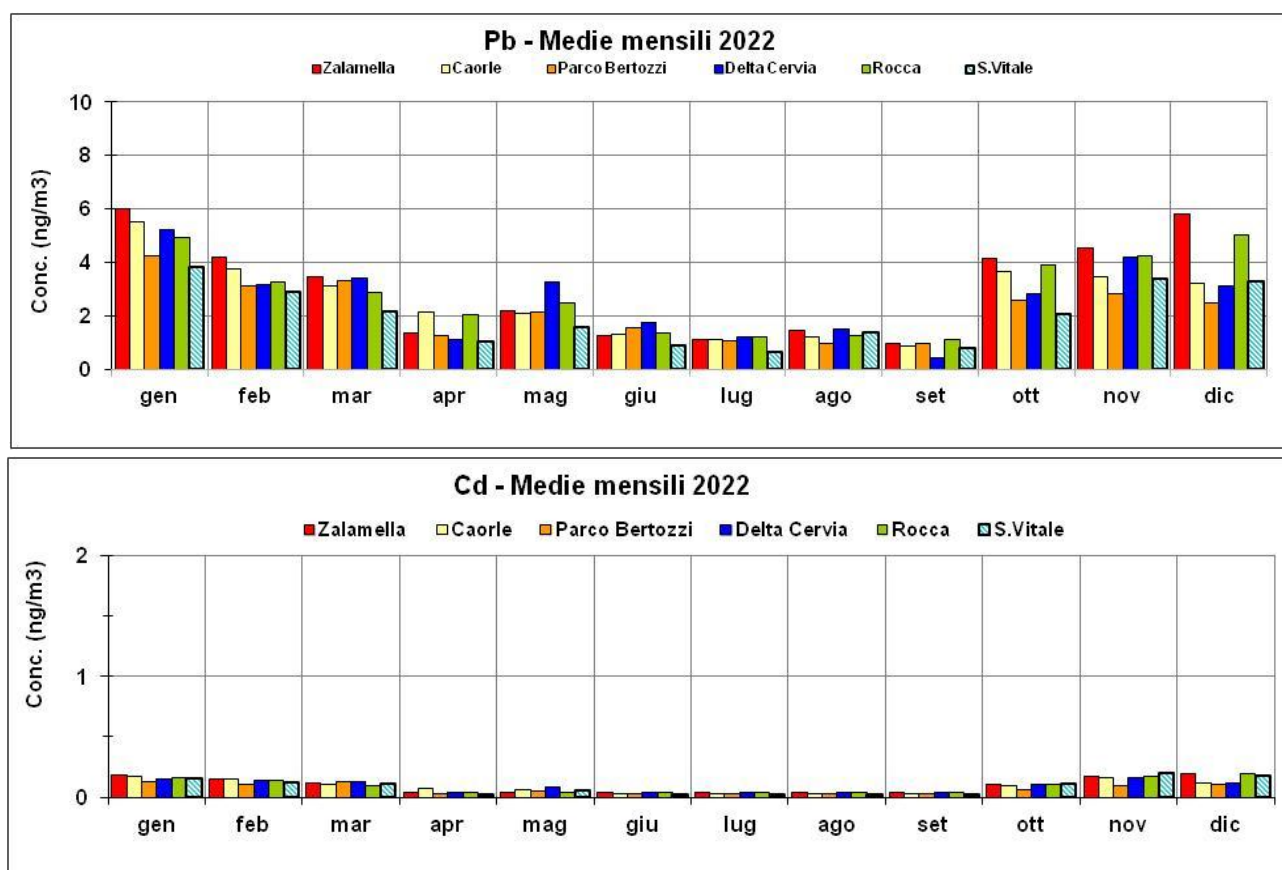


Figura 4.34 (a) – Medie mensili di piombo e cadmio nel particolato PM10 – Anno 2022

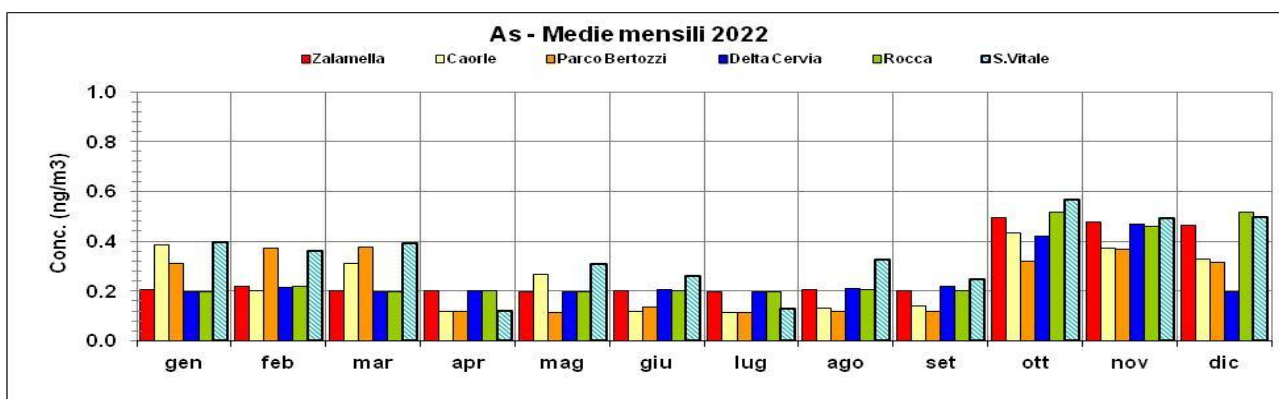
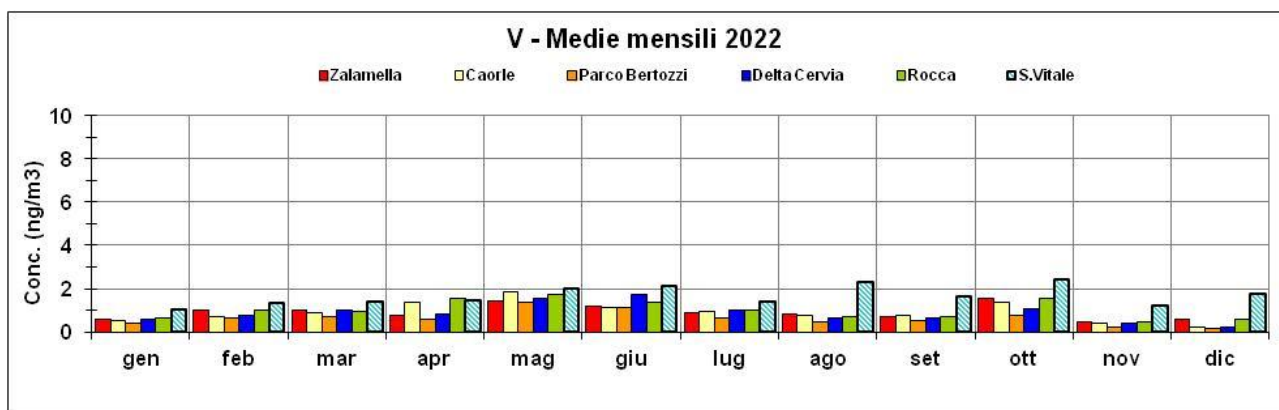
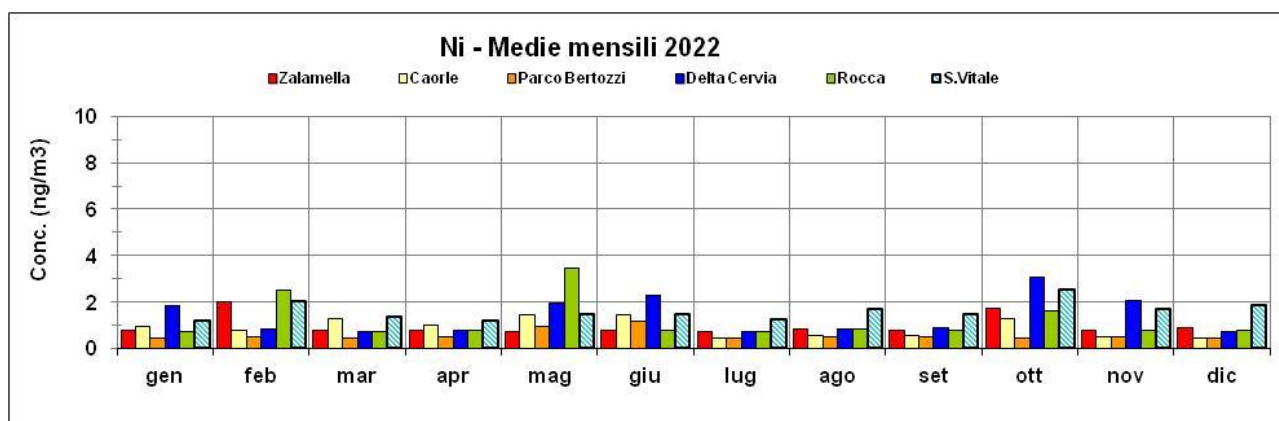
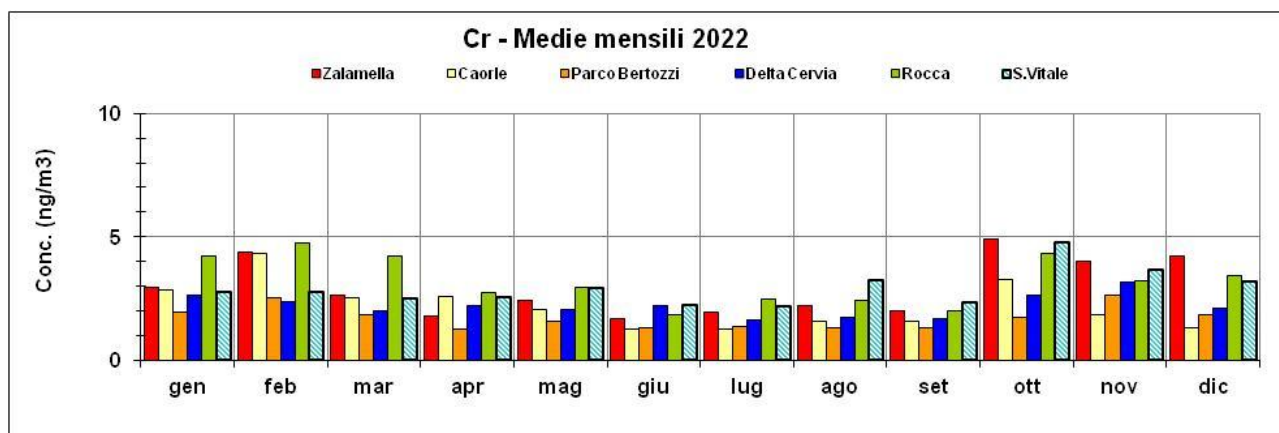


Figura 4.34 (b)– Medie mensili di cromo, nichel, vanadio e arsenico nel particolato PM10 – Anno 2022

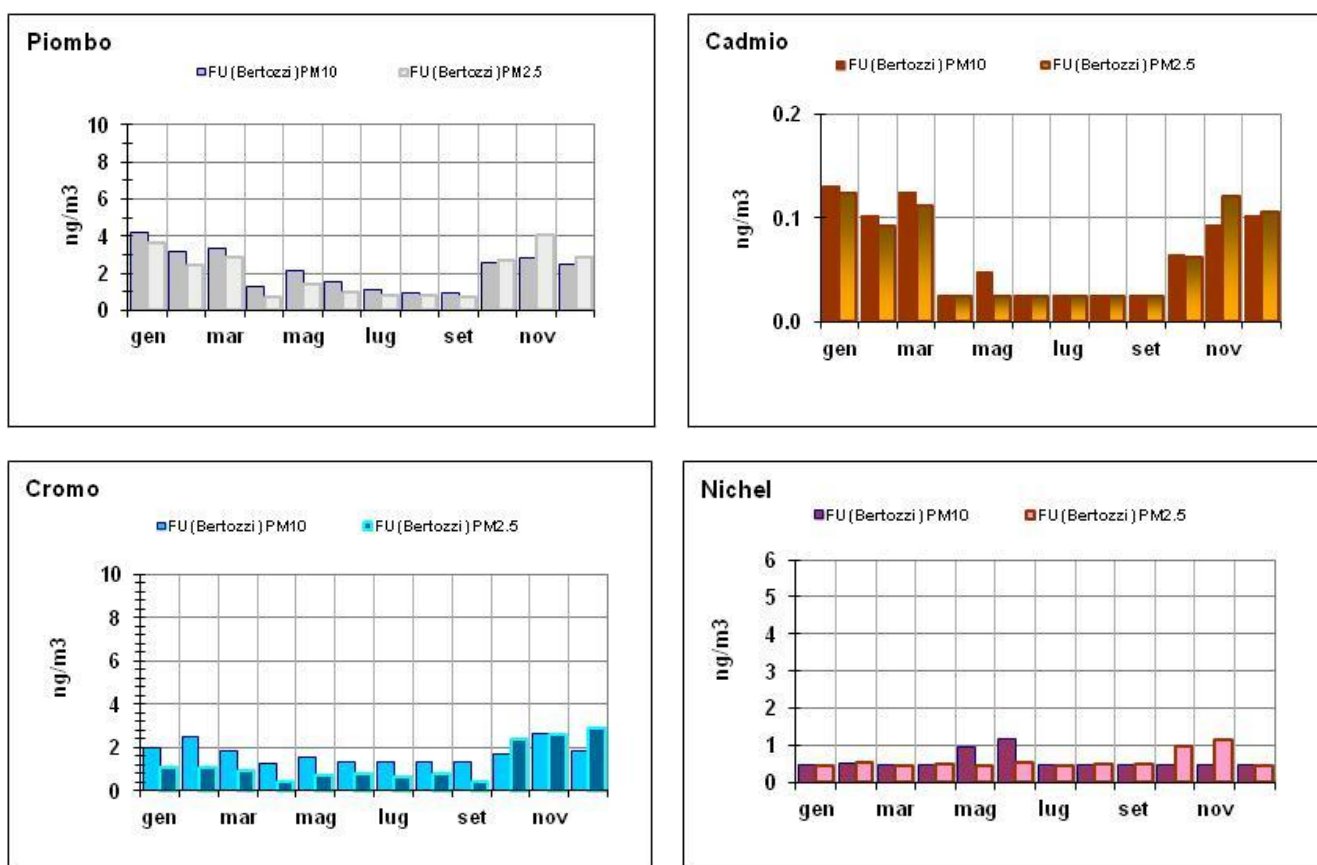
Le concentrazioni misurate nella rete di Ravenna (RRQA e Stazioni Locali) confrontate con i dati pubblicati dall'ISS e con i campionamenti effettuati nell'area urbana di Bologna nel biennio 2004 – 2005 (Tabella 4.21), mostrano valori dello stesso ordine di grandezza o inferiori rispetto ai dati riportati in bibliografia in tutte le stazioni, per il nichel (Ni), l'arsenico (As), il cadmio (Cd) ed il piombo (Pb).

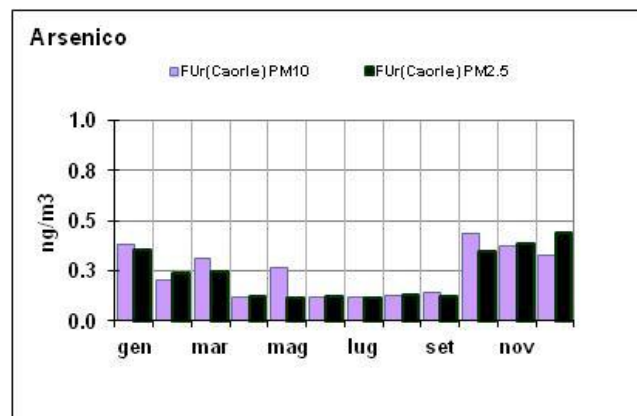
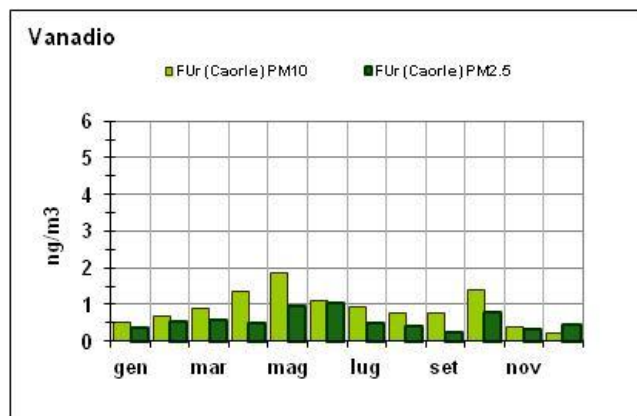
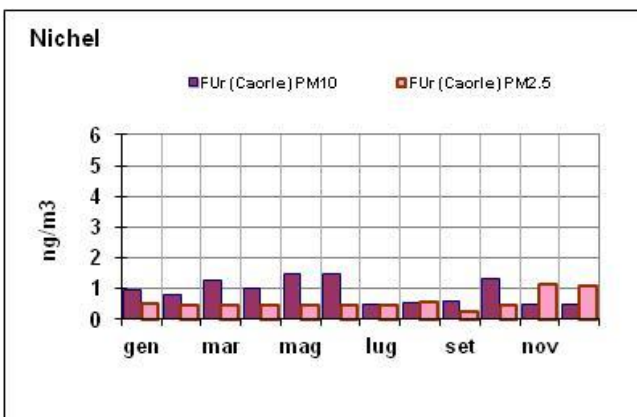
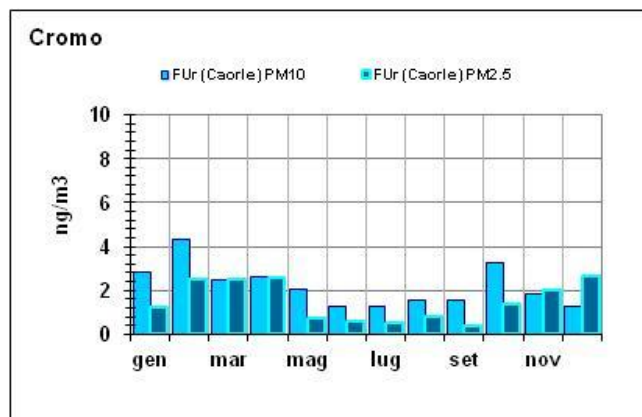
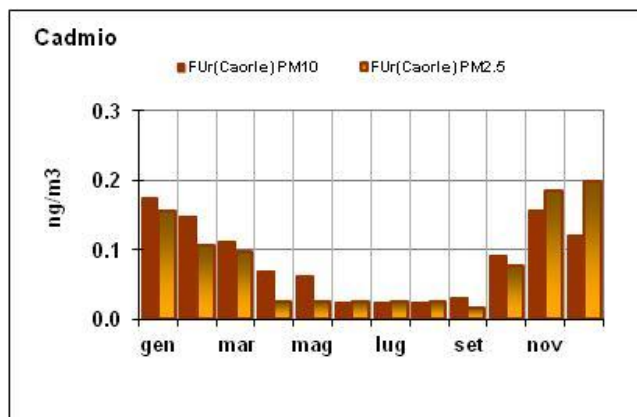
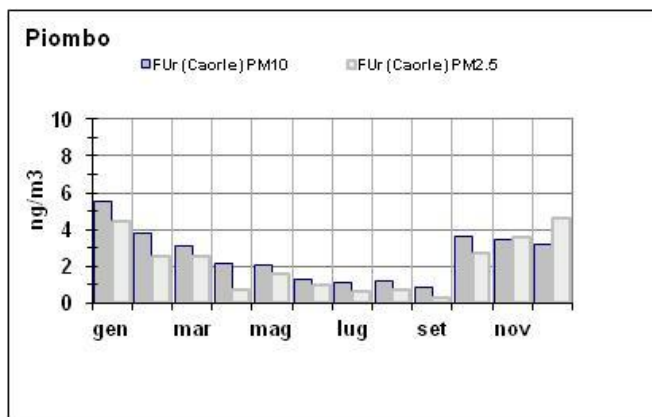
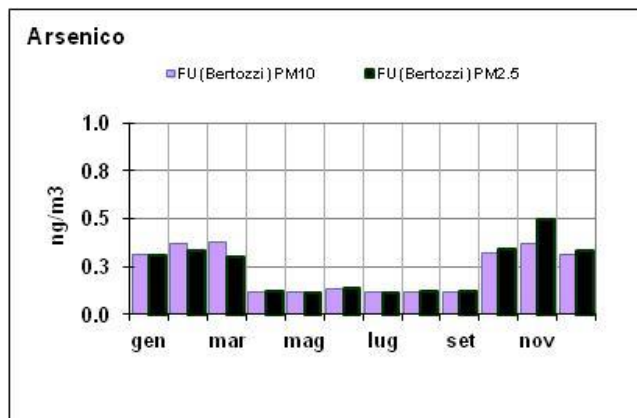
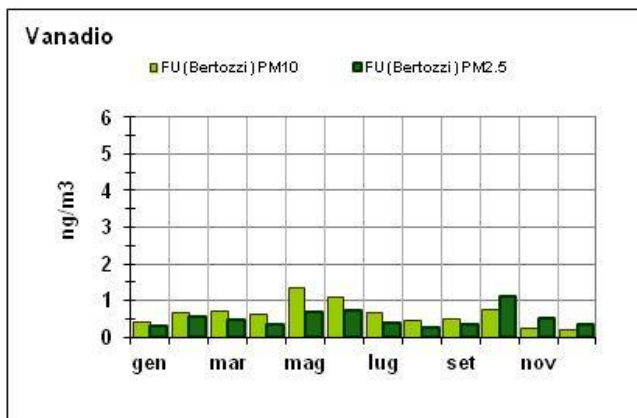
Mentre i valori di Cr e V risultano più elevati, rispettivamente, nelle stazioni di Zalamella (Traffico Urbano) a ottobre ed a Porto San Vitale ad ottobre.

<i>Metallo</i>	<i>Cr</i>	<i>Ni</i>	<i>As</i>	<i>Cd</i>	<i>V</i>	<i>Pb</i>
Concentrazione (ng/m ³) ISS 2004	-	4,8	1,7	0,3	-	10
Concentrazione (ng/m ³) Bologna PM10	3,1	4,0	1,4	0,6	1,5	18
Concentrazione (ng/m ³) Ravenna 2022	Min 1.2	Min 0.5	Min 0.1	Min 0.0	Min 0.2	Min 0.5
	Max 4.9	Max 3.4	Max 0.6	Max 0.2	Max 2.4	Max 6.0

Tabella 4.21 Confronto concentrazioni medie annuali in ng/m³ di alcuni metalli rilevate a Bologna (2004-2005), a Ravenna (2022) dati ISS 2004

Gli istogrammi delle concentrazioni medie mensili di metalli nel particolato PM10 e PM2.5 rilevate nelle stazioni di Parco Bertozzi (Fondo Urbano), Caorle (Fondo Urbano Residenziale) e Porto San Vitale (Stazione Locale Industriale/Portuale) sono riportati in Figura 4.35.





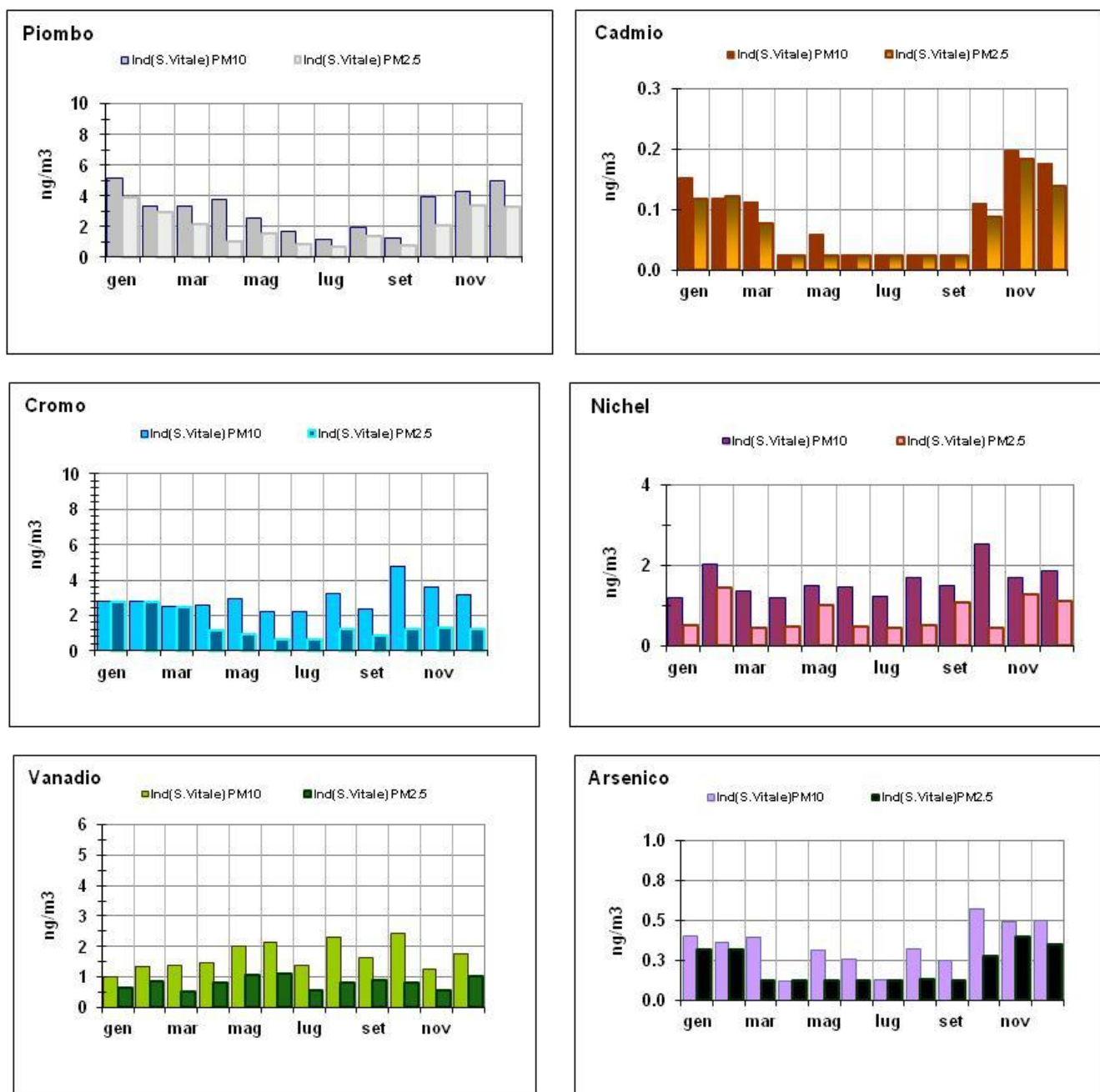


Figura 4.35 – Medie mensili di alcuni metalli nel particolato PM10 e PM2.5 – Anno 2022

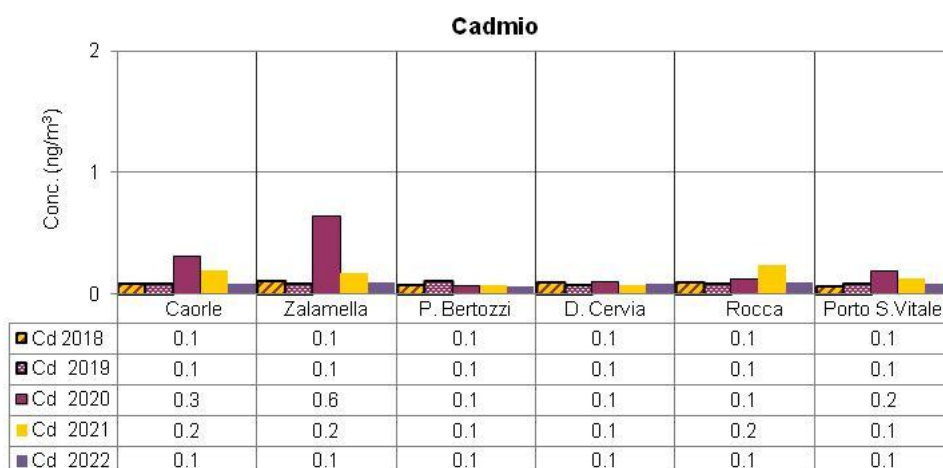
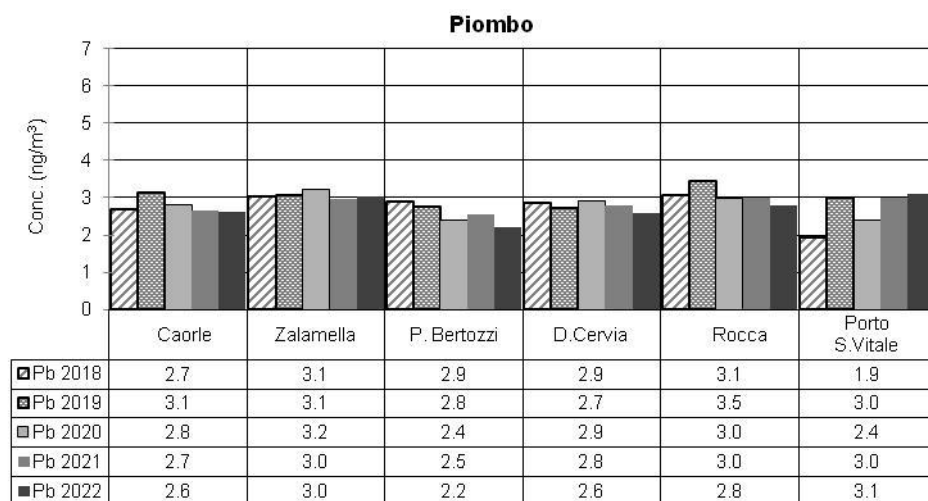
Seguono i grafici (Figura 4.36 e 4.37) delle concentrazioni medie annuali dal 2018 al 2022:

- la concentrazione di Piombo è, nell'ultimo anno, leggermente in calo in quasi tutte le stazioni (a parte Porto San Vitale in cui si registra un leggero aumento, inferiore al 5%);
- il Cadmio, nel 202, presenta concentrazioni analoghe o minori rispetto gli anni precedenti;
- Cromo, Nichel, e Vanadio, nella maggior parte delle stazioni, presentano concentrazioni analoghe o inferiori rispetto al 2021 e generalmente inferiori agli anni precedenti.

In sintesi, nel 2022 i valori obiettivo (per Arsenico, Cadmio e Nichel) e il valore limite (per il Piombo) previsti dalla normativa sono ampiamente rispettati.

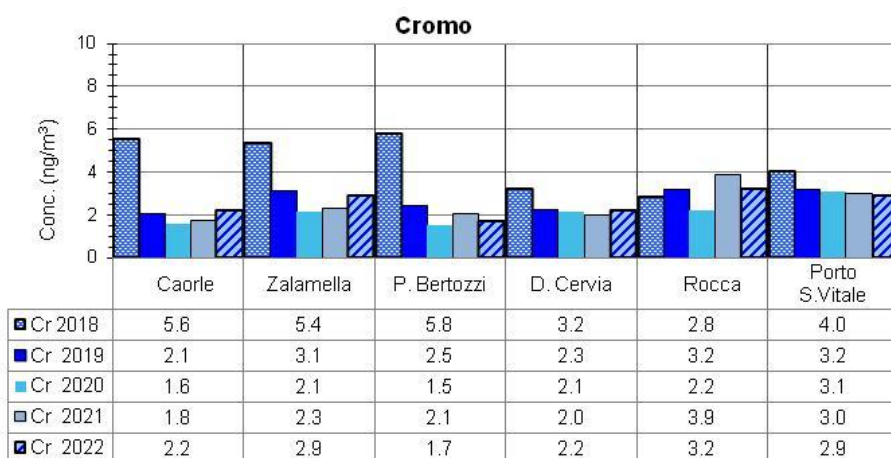
I dati di Vanadio e Cromo, per i quali non sono stati fissati dalla normativa valori obiettivo, vengono confrontati con i dati indicati dall'OMS, e mostrano concentrazioni in linea con quelle che si trovano

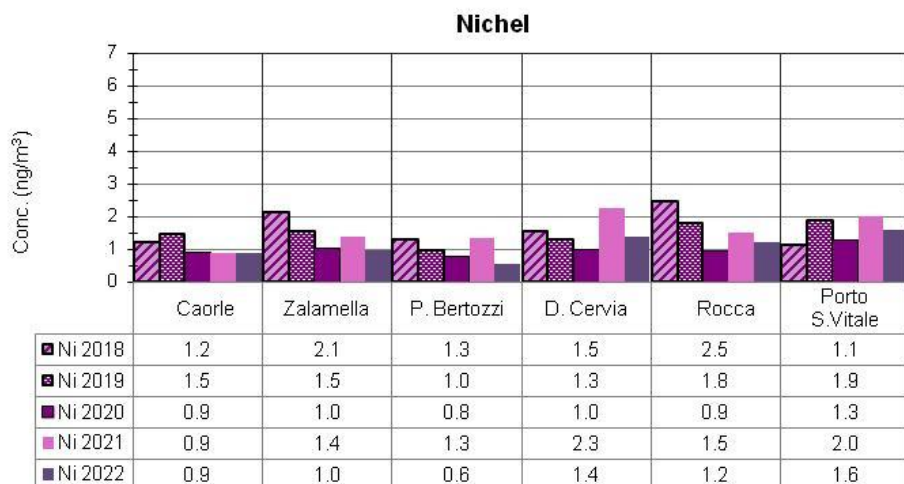
in letteratura per le grandi aree urbane, ad esclusione della stazione industriale del porto che presenta valori leggermente superiori anche se inferiori rispetto gli anni precedenti.



**Figura 4.36 –
Andamento medie
annuali di alcuni
metalli nel
particolato PM10 –**

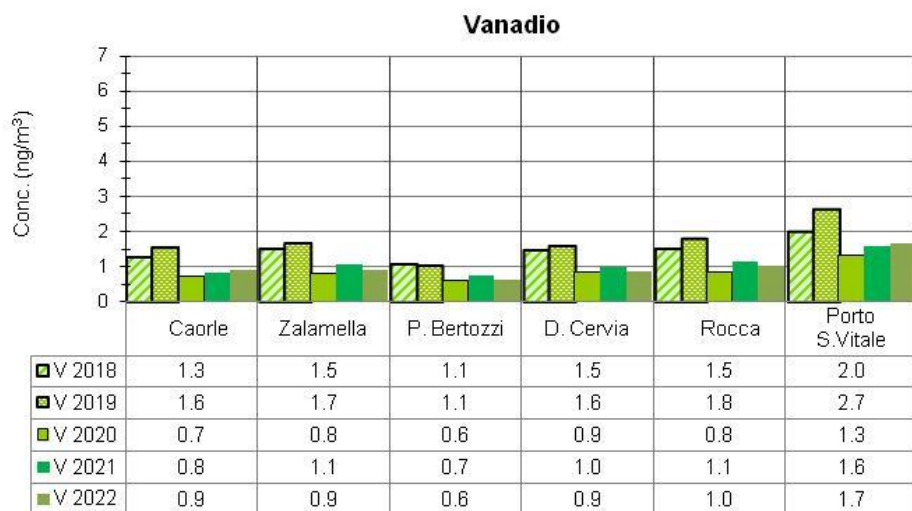
Anni 2018 ÷ 2022





**Figura 4.37 –
Andamento medie
annuali di alcuni
metalli nel
particolato PM10**

Anni 2018 ÷ 2022



4.9.3 Diossine, Furani e Policlorobifenili nel particolato PM10, PM2.5

Diossine (**PCDD**) - Furani (**PCDF**) e Policlorobifenili (**PCB**), fanno parte della più ampia famiglia dei Composti Organici Persistenti (**POPs**). I POPs sono sostanze chimiche molto resistenti che, una volta immesse nell'aria, nell'acqua o nel terreno, a causa della loro scarsa degradabilità, permangono nell'ambiente per lungo tempo.

Alcuni POPs, come i PCB, erano prodotti a scopo industriale, altri, come DIOX e furani, derivano dalla combustione di sostanze chimiche organiche e da processi industriali. Verso la fine degli anni '70 gli insetticidi e altri POPs sono stati vietati o sottoposti a restrizioni d'uso in molti paesi, tra cui l'Italia.

Il termine **Diossine - Furani** si riferisce ad un gruppo di 210 composti chimici aromatici policlorurati, divisi in due famiglie e simili per struttura, detti congeneri: 75 congeneri hanno struttura chimica simile a quella della policlorodibenzo-diossina (PCDD), 135 hanno struttura simile al policlorodibenzo-furano (PCDF). 17 di questi congeneri sono considerati tossicologicamente rilevanti. Le diossine sono immesse nell'ambiente da varie sorgenti e possono essere trasportate per lunghe distanze in atmosfera. In natura vengono rilasciate durante gli incendi boschivi e le eruzioni vulcaniche; le attività umane responsabili della loro formazione sono in generale riconducibili a processi di combustione incontrollata, ad esempio incendi. ISPRA, nella pubblicazione del 2006 (Quaderni APAT ISBN 88-448-0173-6), riporta una stima UE: gli incendi accidentali, con il 21% del totale, sono al secondo posto (dopo la produzione di pesticidi) fra le attività antropiche e naturali per il rilascio di diossine e furani sul suolo.



Generalmente le diossine vengono rilevate, nelle diverse matrici ambientali, come sommatoria dei diversi congeneri. Da sottolineare che non tutti i congeneri sono tossici, e non lo sono alla stessa maniera. Per esprimere la tossicità dei singoli congeneri e della totalità del campione analizzato è stato introdotto il concetto di «fattore di tossicità equivalente (TEF)». I TEF si basano sulla considerazione che PCDD e PCDF sono composti che producono effetti tossici simili ed esprimono la tossicità di un determinato congenere rispetto al congenere più tossico - la 2,3,7,8-TCDD (2,3,7,8-tetraclorodibenzo-p-diossina) - a cui è assegnato il valore 1. In pratica, il valore di concentrazione in "tossicità equivalente" (TEQ) di un campione è ottenuto sommando i valori di concentrazione dei singoli congeneri dopo averli moltiplicati per i rispettivi TEF.

Per i TEF sono stati proposti due schemi di classificazione: quello introdotto in sede NATO/CCMS nel 1988, denominato sistema i-TEQ (International Toxicity Equivalent), e quello proposto per la prima volta dall'Organizzazione Mondiale della Sanità nel 1998 (Van den Berg, 1998), denominato sistema WHO-TEQ 1998, che ha incluso i fattori di tossicità anche per i 12 congeneri di PCB-DL. Nel 2005 il sistema WHO-TEQ è stato aggiornato modificando alcuni fattori di tossicità equivalente: tale sistema è riconosciuto come WHO-TEQ 2005 (Van den Berg, 2006).

I **PCB** sono composti organici di sintesi clorurati, estremamente stabili, poco solubili in acqua e dalle ottime proprietà dielettriche. Per queste loro caratteristiche sono stati estensivamente impiegati, sin dagli anni '30, nel settore elettrico in qualità di isolanti ed in seguito come lubrificanti, in fluidi per impianti di condizionamento, nella preparazione delle vernici e nei sigillanti di giunti di edifici in calcestruzzo. Anche per i PCB è stato adottato il sistema TEF dal WHO. In particolare, 12 PCB hanno proprietà tossicologiche molto simili a quelle delle diossine e per questo motivo vengono chiamati PCB-DL (Dioxin Like). Per questi composti sono stati fissati dei TEF che valutano la tossicità in riferimento alla diossina 2,3,7,8-TCDD e quindi le concentrazioni di PCB espressi in funzione dei TEF possono essere sommati a quelli delle diossine e dei furani. I TEF dei PCB-DL sono generalmente più bassi di quelli delle diossine, tuttavia i PCB sono di solito presenti in ambiente a livelli più elevati rispetto a diossine e furani.

Non esistono riferimenti normativi né a livello nazionale, né a livello europeo che regolamentino la presenza di diossine - furani e PCB in aria. La Commissione Consultiva Tossicologica Nazionale indica, per la concentrazione in aria (seduta del 12/02/1988), un livello di azione per PCDD e PCDF pari a 40 fg/m³ in unità I-TEQ (espresso in tossicità equivalente utilizzando i Fattori di Tossicità NATO del 1988, I-TEQ), mentre l'OMS, per esposizioni prolungate nel tempo a concentrazioni maggiori o uguali di 300 fg WHO-TEQ/m³, suggerisce "di indagare la presenza di sorgenti da porre sotto controllo". Un ulteriore riferimento è il limite di 150 fg/m³ WHO-TEQ stabilito dal Comitato Federale tedesco per il controllo dell'inquinamento atmosferico (LAI, 2004).

Valutazione in sintesi

<i>Indicatore</i>	<i>Copertura temporale</i>	<i>Stato indicatore</i>	<i>Trend</i>
Concentrazione in aria di PCDD, PCDF e PCB	2018-2022		

Nel 2022 le concentrazioni medie dei congeneri ricercati risultano inferiori ai valori limite consigliati dalla Commissione Consultiva Tossicologica Nazionale ed ai valori di fondo riportati in letteratura. Non si sono riscontrati particolari criticità ed in molti casi, le concentrazioni sono inferiori al limite di quantificazione strumentale³.

Per quanto riguarda il trend, nel periodo monitorato, le concentrazioni non presentano variazioni significative, tranne per la classe dei policlorobifenili (PCB), che presentano concentrazioni superiori rispetto gli anni precedenti, seppur inferiori rispetto ai limiti di quantificazione (l'unica eccezione è la stazione AGIP29 per la frazione PM2.5).

La valutazione dell'indicatore, date le caratteristiche di questi composti, non viene comunque classificata positiva, mentre lo è quella del trend (sostanzialmente invariato).

Anche in considerazione della necessità di avere valori di riferimento locali in casi di eventi incidentali (es. incendi), si sottolinea l'importanza di mantenere un sistematico controllo dei POP's e, quindi, della prosecuzione delle attività di monitoraggio con le modalità ad oggi implementate.

<i>PCDD, PCDF e PCB-DL</i>				<i>Concentrazione nelle frazioni PM10 e PM2.5 Medie annuali (TEQ)</i>			
<i>Stazione industriale</i>	<i>Frazione granulometrica</i>	<i>Tipologia</i>	<i>Efficienza %</i>	<i>PCDD L. Q. 2 fg/m³</i>	<i>PCDF L. Q. 1 fg/m³</i>	<i>PCB-DL L. Q. 3 fg/m³</i>	<i>TOTALE fg/ m³</i>
Germani	PM10	Industriale	98	2	5	< 3	7
	PM2.5	Industriale	98	2	5	< 3	7
Marani	PM10	Industriale	98	2	4	< 3	6
	PM2.5	Industriale	98	2	4	< 3	6
Agip29	PM10	Industriale	94	2	4	< 3	6
	PM2.5	Industriale	95	2	5	4	7

Tabella 4.22 – Diossine (PCDD), Furani (PCDF) e Policlorobifenili (PCB) sul particolato PM10 e PM2.5: medie annuali (concentrazioni espresse come TEQ)

³ Il metodo e la strumentazione analitica utilizzata consentono di determinare concentrazioni dell'ordine di qualche femtogrammo [fg = 10⁻¹⁵ g], cioè di qualche milionesimo di miliardesimo di grammo → Limite di Quantificazione [L.Q.]

Il monitoraggio dei **POPs** adsorbiti sul particolato PM10 e PM2.5 della rete di Ravenna viene effettuato analizzando i campioni raccolti in tre delle stazioni della Rete Industriale Privata, gestita dal Consorzio di Imprese “Ravenna Sistemi Industriale” (RSI): Germani, Marani e Agip29 (Fig.4.38). La scelta è ricaduta su queste tre postazioni in quanto sottovento rispetto alla zona industriale dove si stimano più significative le ricadute delle emissioni di questi macrosettori.

Le analisi per la ricerca dei microinquinanti sono eseguite nel Laboratorio Multisito Arpae di Ravenna. In Tabella 4.22 sono riportate le medie annuali di Diossine, Furani e PCB rilevate sulle frazioni PM10 e PM2.5 delle tre stazioni della rete industriale.

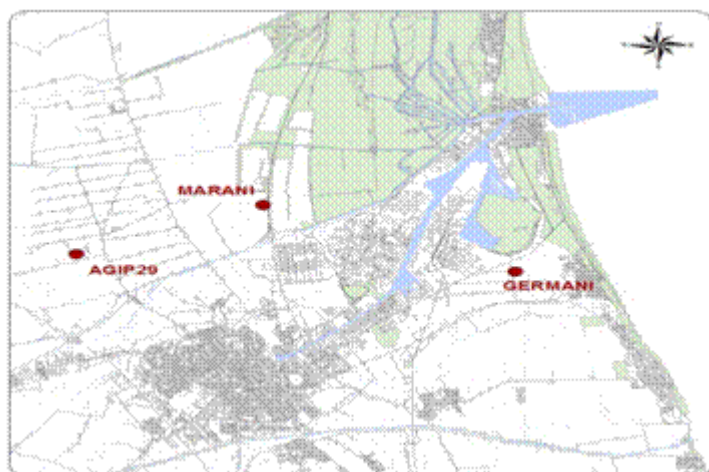


Figura 4.38 –
Localizzazione sul territorio delle tre stazioni RSI in cui viene monitorato il particolato per la ricerca di POPs

In Figura 4.39 sono rappresentate le concentrazioni medie annuali di diossine (esprese in femtogrammo su metro cubo [fg/m^3]) adsorbite sul particolato (PM10 e PM2.5) raccolto in corrispondenza delle tre stazioni di monitoraggio. La concentrazione media annuale di diossine (media annuale Σ) è calcolata come somma delle concentrazioni delle sette diossine congeneri indicate in legenda: l'altezza di ogni segmento colorato all'interno di ciascuna barra è proporzionale alla concentrazione media annuale con cui il congenere contribuisce alla media annuale somma delle sette diossine indicate.

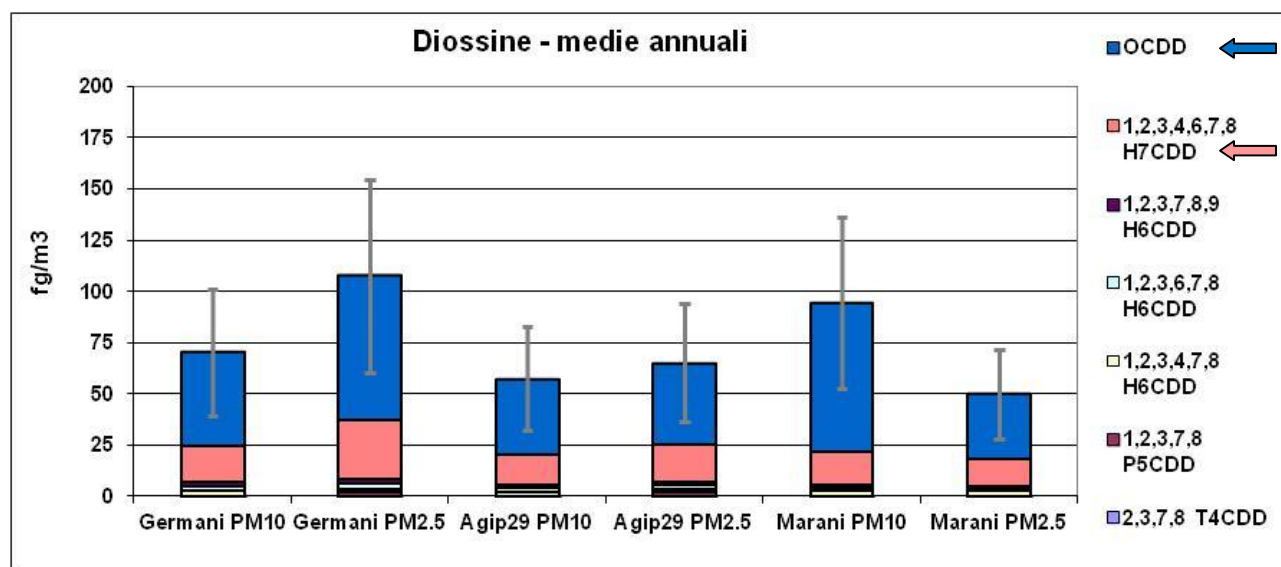


Figura 4.39 – Concentrazioni medie annuali di diossine nel particolato – Anno 2022

Nel 2022 le concentrazioni medie Σ sono generalmente basse e si attestano fra circa 50 e 110 fg/m^3 , valori inferiori a quelli riportati in letteratura.

In generale, i congeneri che concorrono maggiormente sono OCDD e 1,2,3,4,6,7,8 H7CDD, congeneri caratterizzati da un TEF (fattore di tossicità equivalente) pari, rispettivamente, a 0.001 e 0.01.

Infatti, la concentrazione dei POPs adsorbiti sul particolato viene calcolata tenendo conto anche della tossicità relativa (rispetto alla TCDD - 2,3,7,8-tetraclorodibenzo-p-diossina): ogni congenero viene moltiplicato per il proprio «fattore di tossicità equivalente (TEF)» definito in riferimento alla diossina TCDD, per la quale si assume un TEF uguale a 1.

Di seguito si riportano:

- I fattori di tossicità equivalente (TEF) per Diossine e Furani proposti dalla classificazione internazionale (**I-TFE**) e quelli indicati dall'Organizzazione mondiale della sanità (**WHO-TFE**) (Tabella 4.23). Le due classificazioni (rispetto ai 17 congeneri considerati) differiscono solo per il peso dato al 1,2,3,7,8 P5CDD: il WHO attribuisce a tale composto lo stesso fattore della 2,3,7,8-tetraclorodibenzo-p-diossina (WHO-TEF = 1), mentre la classificazione internazionale gli attribuisce un I-TFE, rispetto alla TCDD uguale a 0,5 (I-TFE = 0,5).

PCDD e PCDF (Diossine e Furani)		I-TEF (NATO/CCMS, 1988)	WHO-TEF (2005)
Diossine	2,3,7,8- TCDD	1	1
	1,2,3,7,8 P5CDD	0,5	1
	1,2,3,4,7,8 H6CDD	0,1	0,1
	1,2,3,6,7,8 H6CDD	0,1	0,1
	1,2,3,7,8,9 H6CDD	0,1	0,1
	1,2,3,4,6,7,8 H7CDD	0,01	0,01
	OCDD	0,001	0,0003
Furani	2,3,7,8 T4CDF	0,1	0,1
	1,2,3,7,8 P5CDF	0,05	0,03
	2,3,4,7,8 P5CDF	0,5	0,3
	1,2,3,4,7,8 H6CDF	0,1	0,1
	1,2,3,6,7,8 H6CDF	0,1	0,1
	2,3,4,6,7,8 H6CDF	0,1	0,1
	1,2,3,7,8,9 H6CDF	0,1	0,1
	1,2,3,4,6,7,8 H7CDF	0,01	0,01
	1,2,3,4,7,8,9 H7CDF	0,01	0,01
	OCDF	0,001	0,0003

Tabella 4.23 – TEF relativi per diossine e furani. I singoli composti risultano avere un fattore di tossicità equivalente compreso fra 0,5 (50%) e 0.0001 (0.01%)

- I fattori di tossicità equivalente (TEF) per i Policlorobifenili (PCB), proposti dal WHO (2005), espressi in riferimento alla diossina TCDD (Tabella 4.24). I PCB risultano decisamente meno tossici della TCDD: da un decimo (PCB 126 – I-TEF = 0,1) a 0,3 milioni.

PCB	WHO-TEF (2005)
<i>PCB 81</i>	0,0003
<i>PCB 77</i>	0,0001
<i>PCB 123</i>	0,00003
<i>PCB 118</i>	0,00003
<i>PCB 114</i>	0,00003
<i>PCB 105</i>	0,00003
<i>PCB 126</i>	0,1
<i>PCB 167</i>	0,00003
<i>PCB 156</i>	0,00003
<i>PCB 157</i>	0,00003
<i>PCB169</i>	0,03
<i>PCB 189</i>	0,00003

Tabella 4.24 – TEF di alcuni PCB (in riferimento alla diossina TCDD ⇒ PCB-DL)

Utilizzando i relativi TEF è possibile valutare la “tossicità equivalente” anche dei PCB (PCB-DL cioè PCB-Dioxin Like) e calcolare la tossicità del particolato tenendo conto dei POPs presenti, sommando quindi Diossine, Furani e Policlorobifenili.

In Tabella 4.25 sono riportate le percentuali di TCDD rilevate nel particolato rispetto alla somma delle sette diossine (PCDD) congeneri (prima riga) e dei diciassette congeneri diossine e furani (PCDD + PCDF – seconda riga): la percentuale di TCDD sul totale delle diossine (PCDD - riga 1 della Tabella 4.25) si attesta intorno a 0.55%, mentre – se si considerano anche i furani (riga 2 in tabella) – tale percentuale quasi raddoppia.

	Germani PM10	Germani PM2.5	Agip29 PM10	Agip29 PM2.5	Marani PM10	Marani PM2.5
% di TCDD su tot PCDD	0.62%	0.39%	0.62%	0.57%	0.44%	0.69%
% di TCDD su tot PCDD+PCDF	1.04%	0.57%	1.09%	1.01%	0.62%	1.25%

Tabella 4.25 – % di TCDD nelle concentrazioni medie annuali nel particolato – Anno 2022 – rispetto alla sommatoria di sole diossine e diossine e furani (senza tener conto del «fattore di tossicità equivalente» I-TEF)

I dati bibliografici sulle concentrazioni in aria ambiente di POPs sono piuttosto scarsi. Di seguito (Tabella 4.26) si riportano:

- i valori di fondo di PCDD e PCDF rilevati in diverse località del Nord America, rappresentativi di zone lontane da potenziali sorgenti emmissive, ricavati dal documento Apat, 2006;
- le concentrazioni in aria ambiente di PCB totali riportati dall'Istituto Superiore di Sanità;
- i valori di fondo per diossine, furani e policlorobifenili (sommati TEQ-WHO 2005) risultati di uno studio condotto nel territorio veneto da ARPAV nel 2015 (ARPAV, Diossine, furani e PCB-DL in Veneto. Valutazione dei livelli di alcuni microinquinanti organici in aria ambiente su tutto il territorio regionale. Allegato alla Relazione annuale Qualità dell'Aria, 2015).

	Area	PCDD/PCDF WHO-TEQ [fg/m ³]		PCB totali [pg/m ³]
Apat 2006	Urbana, Nord America	120 ± 94	range: 30 - 200	
	Rurale, Nord America	13	range: 4 - 20	
ISS	Rurale, Nord America			2 - 70
	Urbana/Ind. Germania			3300
	Rurale, Germania			3
	Urbana/Ind. Parigi			60 - 200
	Traffico intenso, Roma			1900 – 5400
ARPAV (2015)		range Somma di PCDD/PCDF e PCB-DL WHO-TEQ (2005) [fg/m ³]		
	Belluno	4-15		
	Padova	6-74		
	Rovigo	8-71		
	Treviso	6-56		
	Venezia	7-95		
	Verona	5-60		
	Vicenza	7-46		

Tabella 4.26 – Concentrazioni di fondo di PCDD/PCDF e di PCB totali

Alla luce di quanto esposto relativamente alla diversa tossicità dei composti analizzati, è utile considerare le concentrazioni medie annuali di diossine, furani e policlorobifenili adsorbite sul particolato, tenendo conto del rispettivo fattore di tossicità equivalente (TEF) (Figura 4.40).

Le concentrazioni totali TEF raggiungono valori da 10 a 100 volte più bassi rispetto alle concentrazioni tal quali. I valori vanno infatti da poco più di 6 (Marani) a meno di 11 (Agip29) fg-TEQ/m³, valori in linea con i valori prossimi al limite inferiore dei range di valori riscontrati nello studio Arpav per il Veneto.

In generale, i congeneri che danno il contributo più significativo alla concentrazione totale TEQ sono:

- per le PCDD → la 2,3,7,8 T4CDD e la 1,2,3,7,8 P5CDD;
- per i PCDF → il 2,3,4,7,8 P5CDF e il 2,3,4,6,7,8 H6CDF;
- per i PCB-DL → il PCB 126 in misura maggiore e il PCB 169.

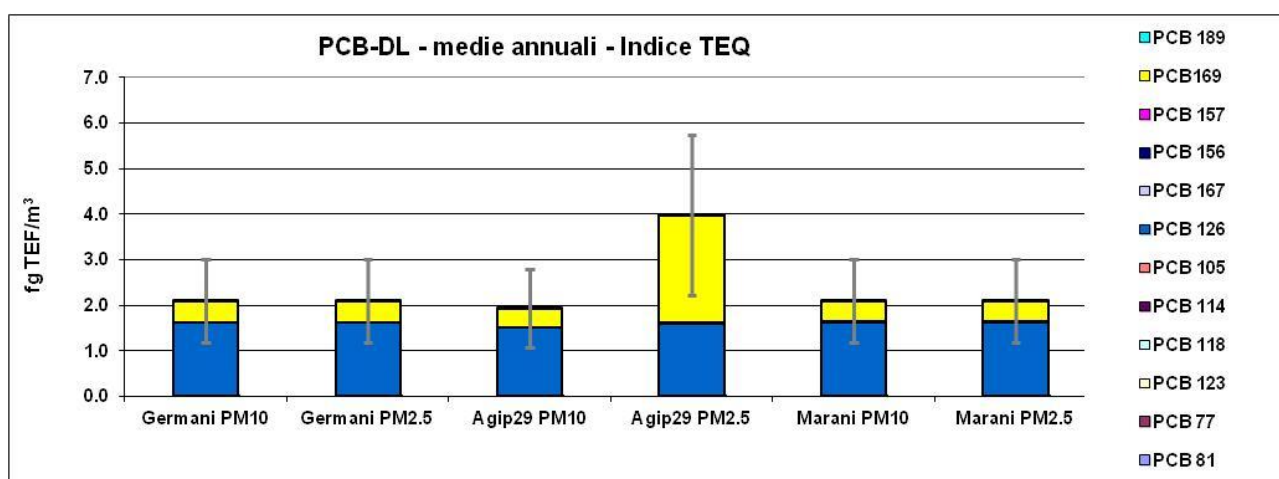
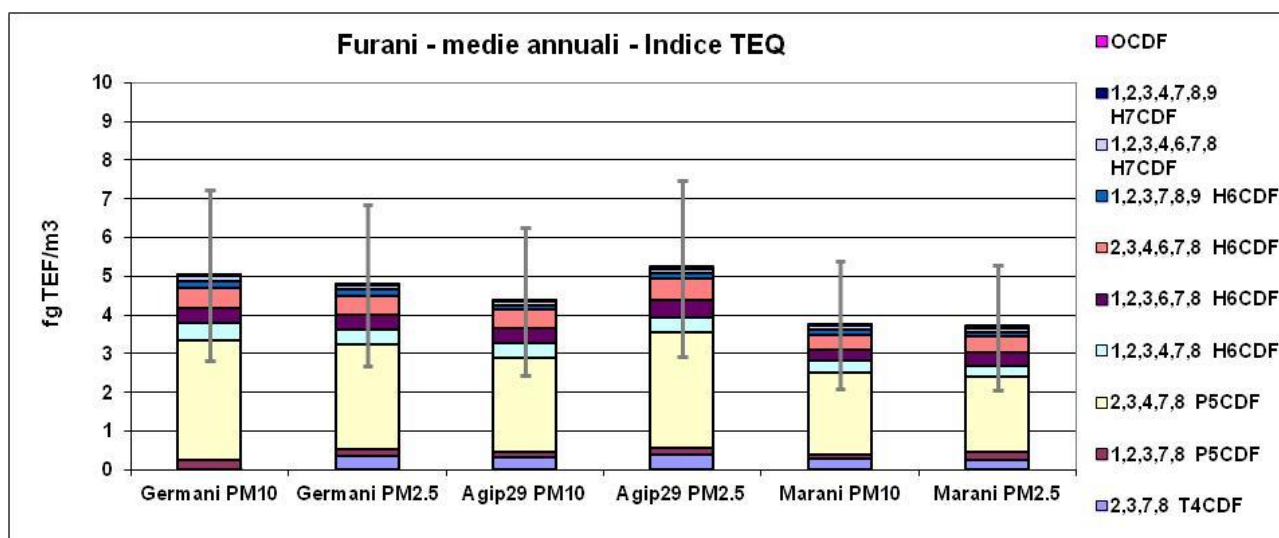
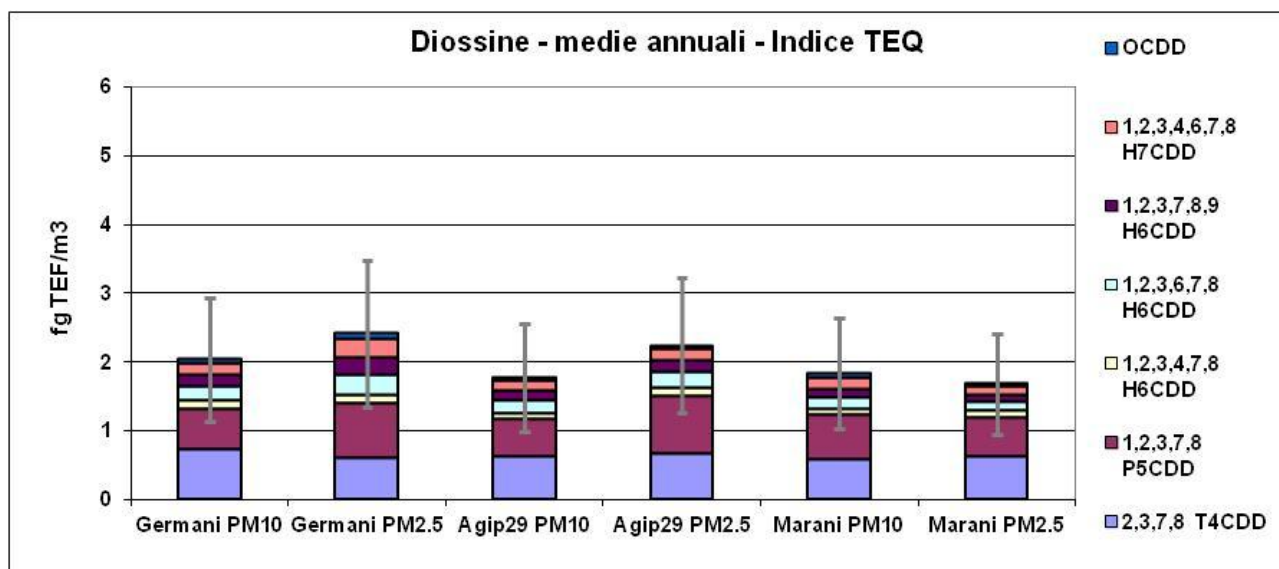


Figura 4.40 – PCDD, PCB e PCDF medie annuali 2022 in Tossicità Equivalente (TEQ)

Sono state calcolate le medie mensili delle concentrazioni totali di PCDD, PCDF e PCB sia come concentrazioni in aria (Figura 4.41, concentrazione espressa in fg -TEQ/m³) sia come concentrazione sulla massa di particolato PM10 e PM2.5 (Figura 4.42, concentrazione espressa in

fg TEQ/ μg di particolato) per valutare la variabilità della concentrazione di congeneri in aria e adsorbita sul particolato in funzione della stagionalità e della granulometria.

Sia in aria che sul particolato, le concentrazioni medie mensili risultano più alte nei mesi invernali, con un abbassamento consistente - al di sotto del limite di rilevabilità strumentale - nei mesi estivi. Sono osservabili alcune eccezioni nei mesi di maggio e giugno per le stazioni Germani e AGIP29. Il grafico di Figura 4.42 evidenzia come l'adsorbimento dei POPs sul particolato sia, in periodo invernale, decisamente maggiore sulla frazione PM2.5 rispetto al PM10.

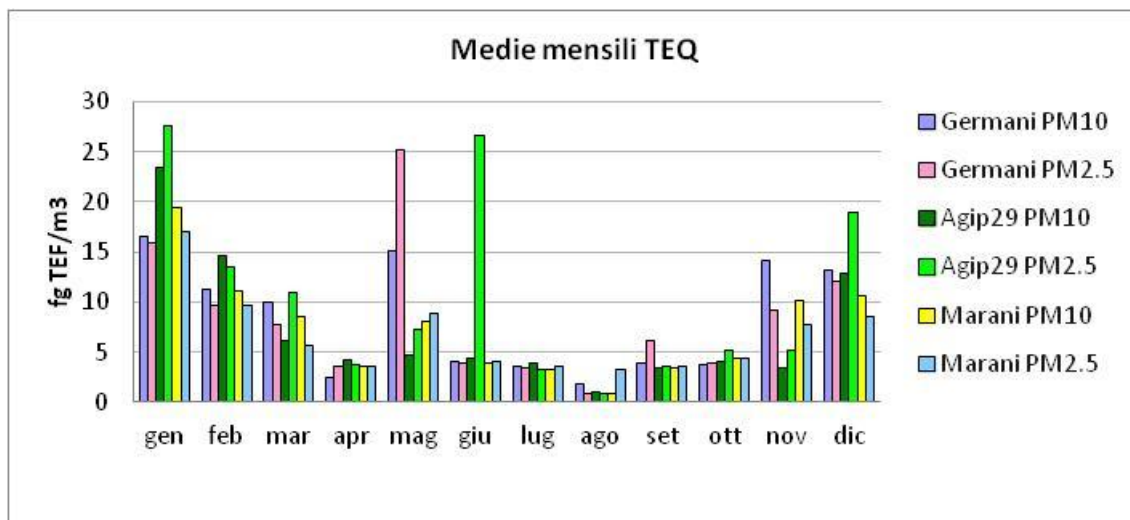


Figura 4.41 – Tossicità equivalente per sommatoria di PCDD, PCDF, PCB - medie mensili 2022

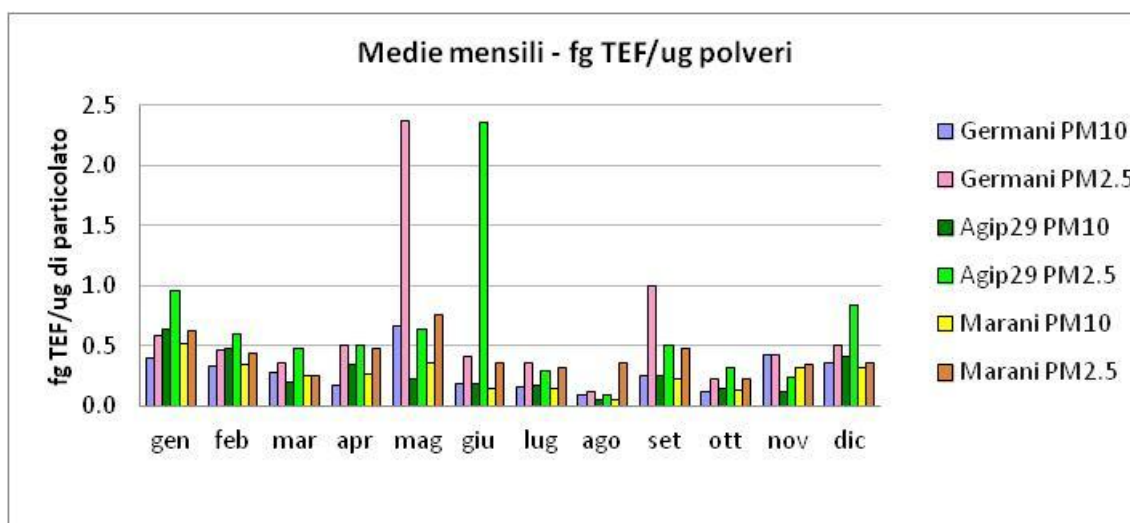


Figura 4.42 – Rapporto fra tossicità equivalente per sommatoria di PCDD, PCDF, PCB e particolato raccolto sui filtri - medie mensili 2022

Per rappresentare l'andamento negli ultimi 5 anni di PCDD, PCDF e PCB-DL, in Figura 4.43 sono riportate le concentrazioni medie annuali per ogni stazione, espresse in termini di tossicità equivalente TEQ.

Per tutte le tre classi di composti le medie annuali sono molto contenute (dell'ordine di qualche femtogrammo/ m^3 , cioè di qualche milionesimo di miliardesimo di grammo ($10^{-15} \text{g}/\text{m}^3$), così come le variazioni da un anno all'altro.

La concentrazione annuale media delle diossine (Figura 4.43 a) nel 2022 è maggiore rispetto ai tre anni precedenti ma in linea con quella del 2018; più bassa per i furani rispetto al 2021 ad eccezione della stazione di Germani che è allineata con gli anni 2018-2020 (Figura 4.43 b). Per i PCB-DL (Figura 4.43 c) le concentrazioni sono superiori rispetto al periodo 2018-2021, ma comunque per la quasi totalità dei casi (ad eccezione del PM2.5 di Agip29) sempre inferiori al limite di quantificazione strumentale di 3 fg/m³.

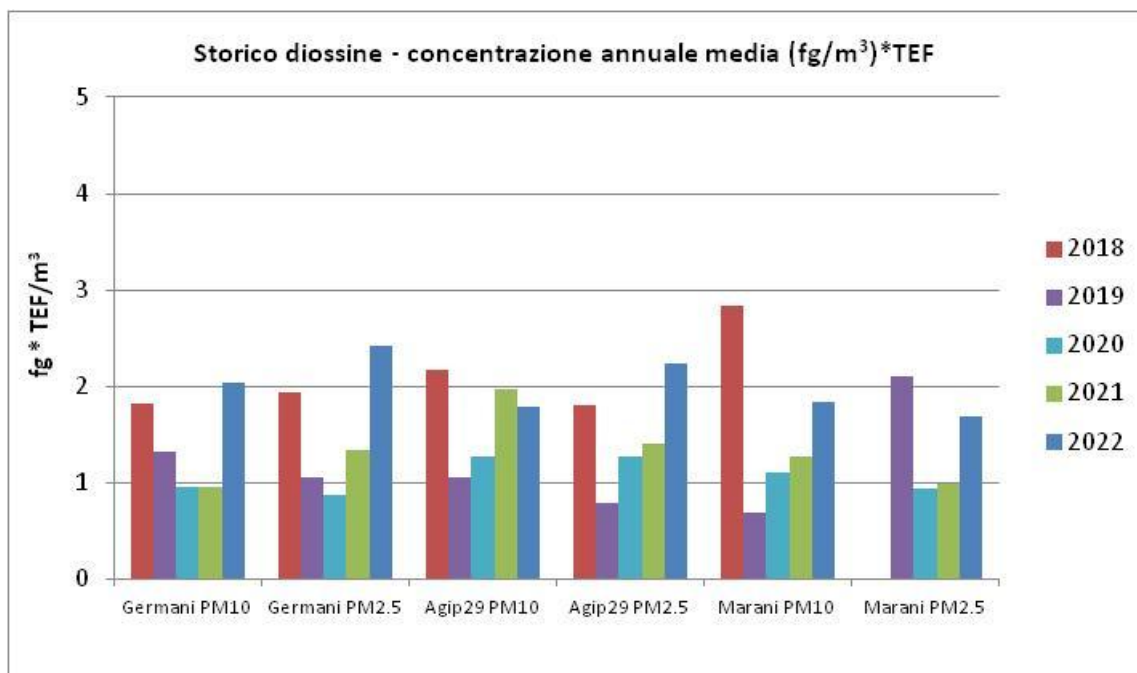


Figura 4.43 a – Trend medie annuali per PCDD

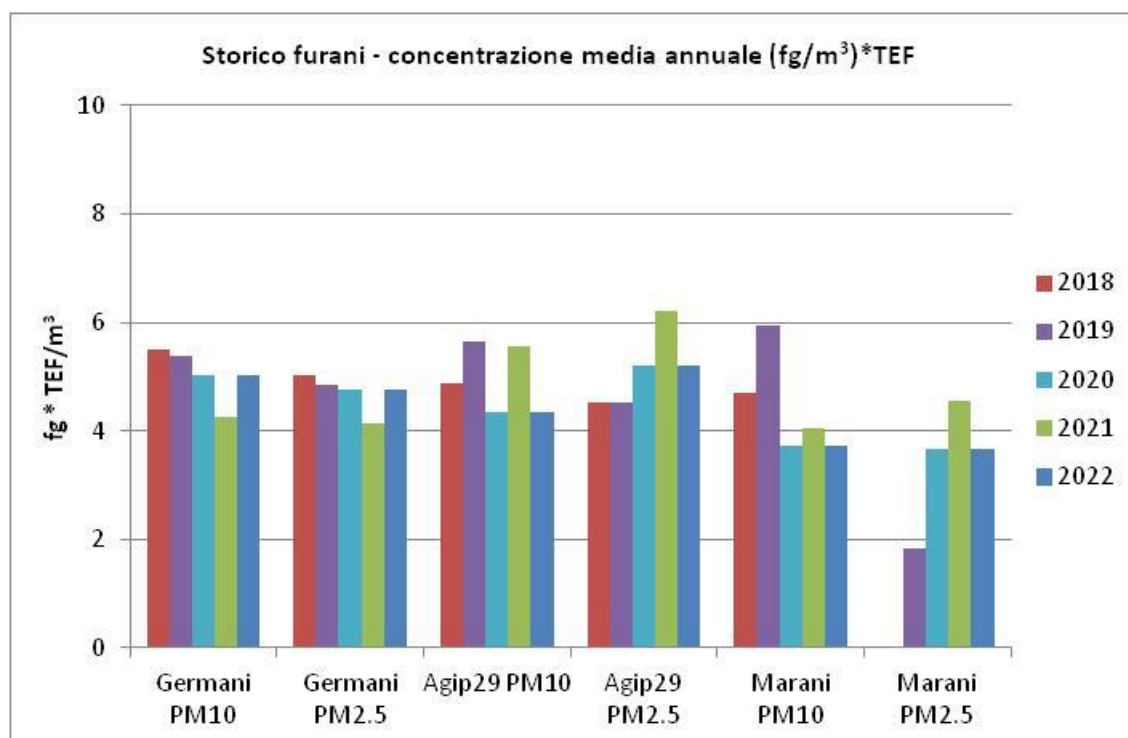


Figura 4.43 b – Trend medie annuali per PCDF

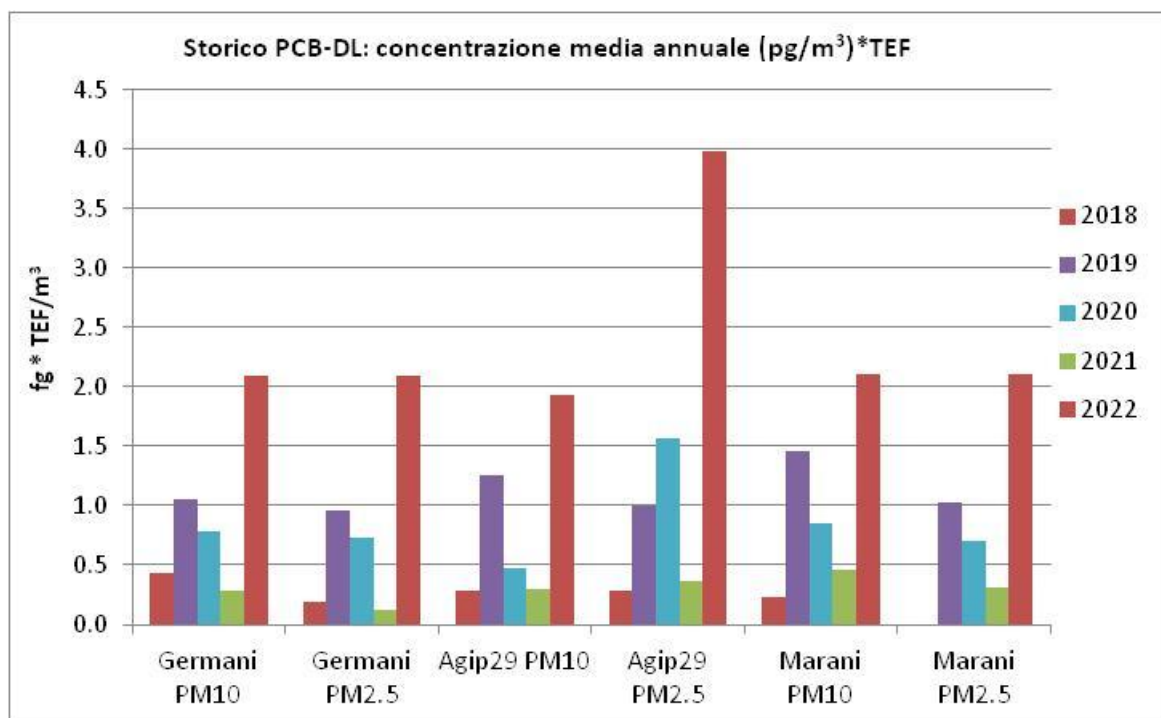


Figura 4.43 c – Trend medie annuali per PCB-DL

4.10 - Deposizioni: Metalli, IPA, Diossine, Furani e Policlorobifenili

Valutazione in sintesi

Indicatore	Copertura temporale	Stato indicatore	Trend
Metalli (Pb, Cd, Cr, Ni, V, As)	2018 – 2022		
IPA	2018 – 2022		
Deposizioni di PCDD, PCDF e PCB	2018 – 2022		

Nel 2022, quinto anno in cui sono stati analizzati i microinquinanti nelle deposizioni (secche ed umide) nella stazione del ravennate, i dati misurati risultano contenuti anche se superiori rispetto agli anni precedenti, ma inferiori rispetto al 2021. In ogni caso, tali valori sono in linea con i dati riportati in letteratura e, dove presenti, più bassi dei valori limite indicati nella normativa di alcuni paesi dell'Unione Europea.

La valutazione dell'indicatore e del trend, date le caratteristiche di questi composti, non è comunque classificata positiva anche se in termini di concentrazione i valori sono inferiori rispetto all'anno precedente per la maggior parte dei casi.

Poiché la determinazione dei flussi di deposizione per alcuni inquinanti atmosferici costituisce un buon sistema di sorveglianza ambientale, si ritiene importante la prosecuzione delle attività di monitoraggio di tale matrice, anche per costruire una serie storica che confermi questi primi dati.

Gli inquinanti emessi in atmosfera durante la loro dispersione in aria subiscono processi che determinano l'innescio di trasformazioni chimiche - dovute alla presenza contemporanea di sostanze capaci di reagire (processi di reattività chimica), l'impoverimento del *plume* ed il 'trasferimento' delle sostanze inquinanti al suolo (processi di deposizione).

Nei processi di deposizione si distingue fra:

- *Deposizione Secca* → Meccanismo, sempre presente, che elimina una parte dell'inquinante presente in aria e lo trasferisce al suolo senza intervento dell'acqua presente in atmosfera;
- *Deposizione Umida* → Meccanismo di eliminazione causato dall'azione delle acque meteoriche che catturano le particelle nei pressi del suolo.

L'entità della deposizione dipende, fra l'altro, dal livello di turbolenza atmosferica (maggiore è il livello di turbolenza, maggiore è la quantità di inquinante portato al suolo e maggiore è la probabilità che venga trasferito al suolo stesso) e dalle proprietà fisico-chimiche dell'inquinante (la reattività chimica e la solubilità degli inquinanti gassosi, oppure la densità e le dimensioni del particolato atmosferico).

Sia per i gas sia per la deposizione di particolato vale la legge secondo cui il Flusso (F) di particolato al suolo è proporzionale alla sua concentrazione in aria:

$$F = V_d \cdot C(z) \quad \text{dove } V_d \text{ è la velocità di deposizione.}$$

Nello studio dei fenomeni di deposizione, si assume che il particolato abbia una velocità di sedimentazione gravitazionale propria (proporzionale alla propria densità e alle sue dimensioni), non interagisca con la vegetazione ed abbia la medesima resistenza aerodinamica dei gas.

Si può avere una stima delle sostanze che si depositano al suolo analizzando campioni raccolti mediante un deposimetro tipo bulk (così come previsto dal DLgs 152/07 e dalla norma UNI EN 15841:2010).

La determinazione dei flussi di deposizione per alcuni inquinanti atmosferici, mediante deposimetri, costituisce – come si diceva - un buon sistema di sorveglianza ambientale. Pur considerando le possibili interferenze che sistemi di questo possono avere (es. insetti, fogliame, ecc.), si sono dimostrati negli anni strumenti estremamente utili, in particolare per quegli inquinanti che possono accumularsi nell'ambiente (es. attraverso la catena alimentare) quali, appunto, i POPs, in particolare le PCDD/F, PCB⁴.

Nel monitoraggio avviato a Ravenna dal 2018, in alternativa al deposimetro tipo bulk, viene utilizzato il campionario *Wet & Dry (W&D)* (Figura 4.44), costituito da due recipienti, in materiale idoneo e di dimensioni standardizzate, per la raccolta separata della deposizione umida e secca che, nello specifico, vengono riunite in un unico campione (deposizione totale).



Figura 4.44 – Deposimetro Wet&Dry per la raccolta separata delle deposizioni secche ed umide

Le postazioni in cui è installato il campionario W&D sono a Ravenna, nella Pineta del Parco 2 Giugno, presso la Cà Nova, e a fianco della Stazione Locale della rete di controllo di qualità dell'aria Porto San Vitale. Nel 2020 è stata dismessa la postazione installata in ambito urbano (presso la sede Arpae, in via Alberoni); i dati relativi al 2018 e 2019 di questa stazione sono comunque riportati nei grafici, a titolo di confronto.

A novembre 2020, il deposimetro presso la Pineta Cà Nova ha subito un guasto, risultato fatale, pertanto, i dati raccolti in questa postazione si riferiscono al periodo 2018-2020.

Poiché, come si diceva in premessa, si ritiene importante la prosecuzione delle attività di monitoraggio delle deposizioni, nel corso del 2022 è stata mantenuta la postazione del Porto San Vitale, nonostante non sia possibile confrontarla con altre stazioni.

Le deposizioni totali sono raccolte mediante esposizione passiva per un periodo compreso tra una settimana e un mese, in funzione della piovosità.

⁴ Comunicazione della Commissione al Consiglio, al Parlamento Europeo e al Comitato Economico e Sociale Europeo relativa all'attuazione della strategia comunitaria sulle diossine, i furani e i bifenili policlorurati (COM(2001)593).

Nel campione di deposizione totale a Ravenna vengono ricercati metalli, IPA, PCB, diossine e furani.

I risultati sono espressi in “flusso di deposizione”, cioè come rapporto fra la massa di inquinante raccolta dal depositometro e la superficie di campionamento in un giorno. In particolare:

- Il flusso di deposizione dei metalli e degli IPA totali viene espresso come media giornaliera [in $\mu\text{g}/\text{m}^2 \cdot \text{giorno}$], calcolata a partire dai flussi mensili
- Il flusso di deposizione del benzo(a)pirene viene espresso come media giornaliera [in $\text{ng}/\text{m}^2 \cdot \text{giorno}$], calcolata a partire dai flussi mensili;
- il flusso di deposizione di diossine e furani viene espresso come media giornaliera [in $\text{pg}/\text{m}^2 \cdot \text{giorno}$], calcolata a partire dai flussi mensili;
- il flusso di deposizione dei PCB viene espresso come flusso annuale [in $\mu\text{g}/\text{m}^2 \cdot \text{anno}$], cioè come sommatoria della massa mensile di PCB raccolta sulla superficie di deposizione.

4.10.1 IPA

In mancanza di una normativa specifica, i dati di benzo(a)pirene rilevati nelle deposizioni totali sono stati posti a confronto con valori rilevati in bibliografia, riportati nella successiva Tabella 4.27.

Publicazione	Area	BaP [$\text{ng}/\text{m}^2 \cdot \text{gg}$]
Menichini et al. 2006	Melfi, area rurale	1.9 – 5.7
Magistrato acque 2000	Laguna di Venezia	6 - 9
EMEP 2005	Finlandia, area rurale	2 - 10
EMEP 2005	Svezia, area rurale	5 - 17
Magistrato acque 2000	Venezia, area urbana	30
Motelay-Massei et al. 2003	Parigi, area urbana	25
Halsall et al. 1997	Cardiff, area urbana	219
Halsall et al. 1997	Manchester, area urbana	300

Tabella 4.27 – riferimenti bibliografici – benzo(a)pirene nelle deposizioni

In Tabella 4.28 sono invece riportate le medie annuali di BaP e la sommatoria di IPA totali rilevati nelle postazioni di Ravenna.

		Porto San Vitale
Benzo(a)pirene	$\text{ng}/\text{m}^2 \cdot \text{gg}$	21.94
IPA tot	$\text{ng}/\text{m}^2 \cdot \text{gg}$	379.0

Tabella 4.28 – BaP e IPA totali - medie annuali 2022

Il flusso di deposizione del BaP risulta linea con il flusso riportato in bibliografia per le aree urbane, nonostante la postazione San Vitale sia collocata in un'area industriale/portuale.

Il Benzo(a)pirene e gli IPA totali nelle deposizioni hanno avuto un decremento nel triennio 2018-2020, mentre dal 2021 si registra un incremento, come risulta dalla Figura 4.44, dov'è riportato il flusso di deposizione del benzo(a)pirene e gli IPA totali espressi come media annua e calcolati a partire dai flussi mensili.

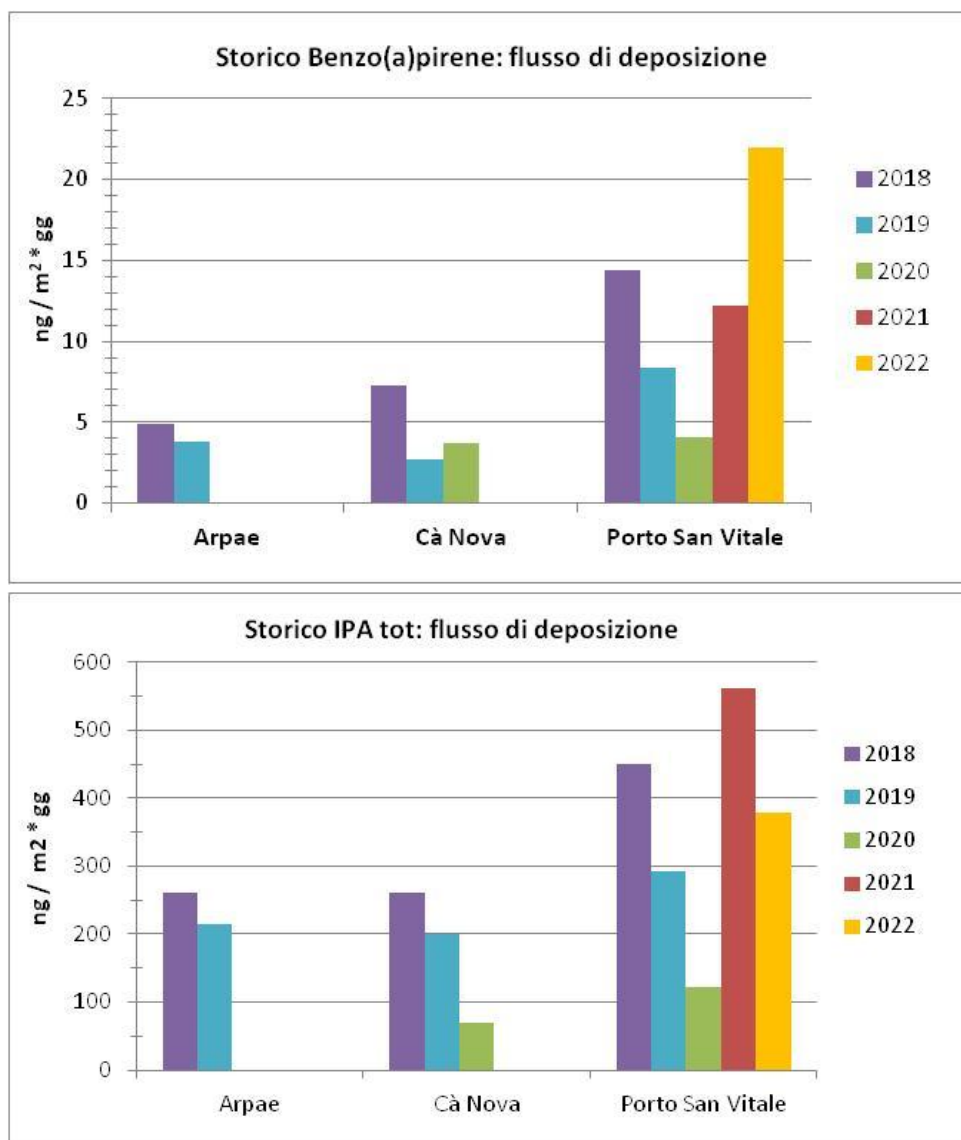


Figura 4.44: Trend medie annuali per Benzo(a)pirene e IPA totali

4.10.2 Metalli

L'Unione Europea non prevede una normativa specifica sui metalli nelle deposizioni, anche se è stato pubblicato un position paper e alcuni paesi europei hanno fissato limiti alla concentrazione di Pb, Cd, Ni e As nelle deposizioni totali (Tabella 4.29):

		Pb ($\mu\text{g}/\text{m}^2 \cdot \text{gg}$)	Cd ($\mu\text{g}/\text{m}^2 \cdot \text{gg}$)	Ni ($\mu\text{g}/\text{m}^2 \cdot \text{gg}$)	As ($\mu\text{g}/\text{m}^2 \cdot \text{gg}$)
limite Germania		100	2	15	4
limite Austria		100	2		
limite Belgio		250	2		
limite Croazia		100	2	15	4
limite Svizzera		100	2		
Position paper	aree rurali		0.011 – 0.14	0.03 – 4.3	0.082 – 0.43
	aree urbane		0.16 – 0.90	5 – 11	0.22 – 3.4
	aree industriali		0.12 – 4.6	2.3 – 22	2.0 – 4.3

Tabella 4.29 – Metalli - Normative nazionali e riferimenti europei

I dati misurati nel 2022 nella postazione Porto San Vitale, confrontati con dati di bibliografia e i limiti soprarichiamati, sono riportati in Tabella 4.30.

$\mu\text{g}/\text{m}^2 \cdot \text{gg}$	V	Cr	Ni	As	Ag	Cd	Pb
Porto San Vitale	14.72	23.20	9.90	1.41	0.14	0.40	26.27
Aree rurali Francia			1.6 - 3.7	0.6 - 0.7		0.2 - 0.9	3.3 – 10.3
Aree urbane Francia			1.0 - 22.9	0.05 - 1.3		0.3 - 3.0	0.4 - 106
Area rurale Lucca		6.2	1.7 - 5.6	1.5 - 5.1		0.5 - 2.2	20.5
Ex resit – sito industriale			0.9	0.4		0.03	2.8

Tabella 4.30 – metalli nelle deposizioni totali - medie annuali 2022 e dati bibliografici

I valori di Cd, Ni e As sono confrontabili con i dati riportati nel position paper europeo per aree urbane; il Pb è inferiore ai limiti proposti da Germania, Austria, Croazia e Svizzera.

Concentrazioni maggiori di Nichel e Piombo sono state misurate a Porto di San Vitale e sono probabilmente riconducibili al traffico navale.

In Figura 4.45 si riportano gli andamenti delle medie annuali negli ultimi cinque anni per tutti i metalli nella postazione Porto San Vitale, per la postazione Pineta Cà Nova fino al 2020 e per la postazione in area urbana (Arpae) solo per il 2018 e 2019.

In generale, al Porto San Vitale, si nota un incremento di tutti i metalli nel 2021 rispetto gli anni precedenti, in particolare per il Pb e Ni, per poi nuovamente diminuire nel 2022. Il vanadio, tracciante caratteristico del traffico navale, è sempre presente in concentrazioni maggiori rispetto alle altre stazioni.

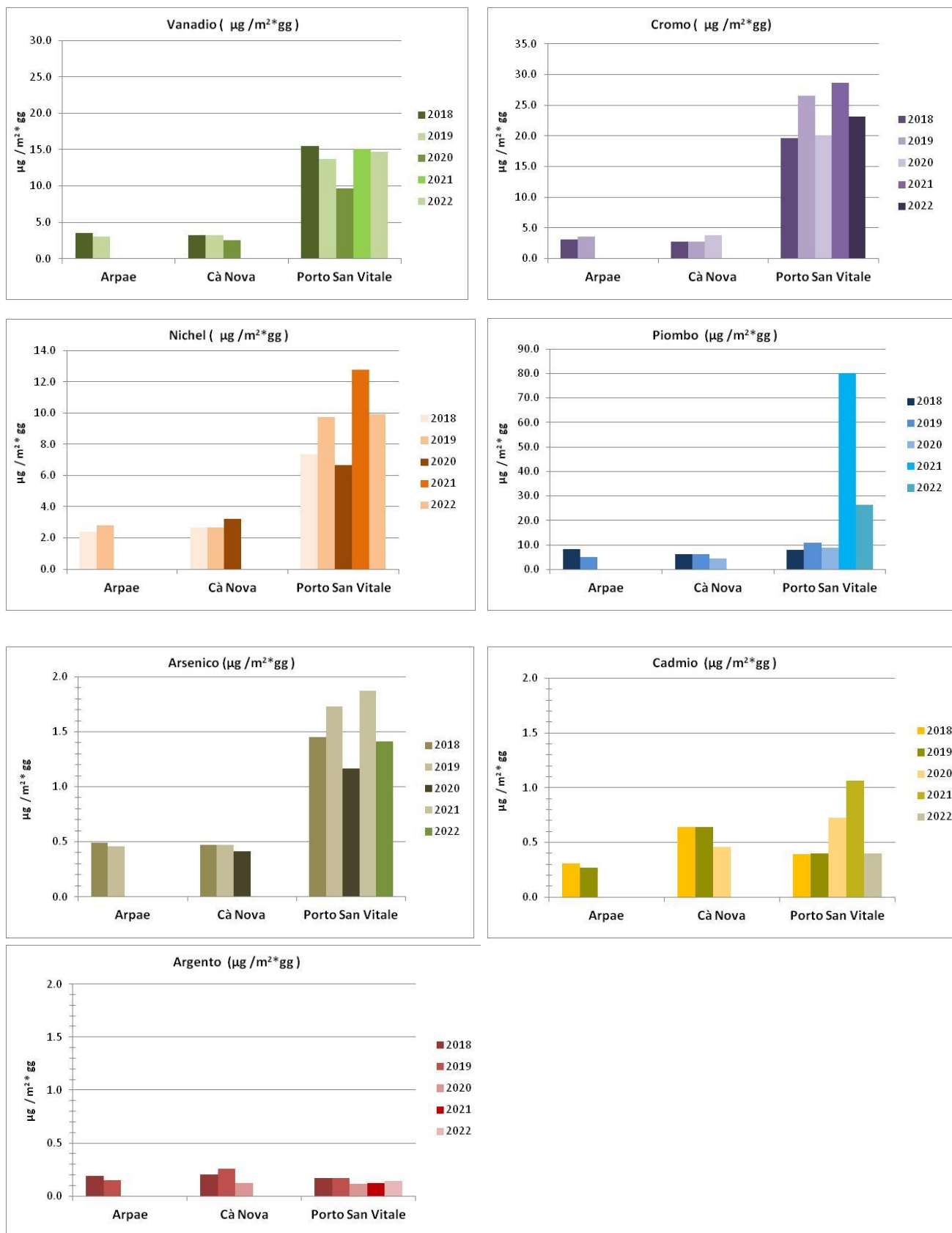


Figura 4.45: Andamento medie annuali dei metalli nelle deposizioni: 2018-2022

4.10.3 - PCB, Diossine e Furani

L'Unione Europea non fornisce valori di riferimento/limiti per diossine-furani (PCDD/F) e PCB-DL in atmosfera, così alcuni Stati dell'Unione hanno proposto valori guida per le deposizioni. I valori guida per le deposizioni sono ricavati a partire dai valori di “dose tollerabile giornaliera (TDI)⁵” per l'organismo umano, indicati dall'OMS.

A Partire dai dati di TDI della OMS, nel 2001 il comitato scientifico dell'alimentazione umana (Scientific Committee on Food (SCF)) dell'Unione Europea ha stabilito un valore cumulativo per la dose tollerabile settimanale di PCDD/F e PCB-DL pari a 14 pgTEQ/giorno*kg peso corporeo.

Per calcolare i valori guida per le deposizioni delle diossine che rispettano i valori di “dose tollerabile” per l'uomo, è stata utilizzata una catena modellistica che include tre sotto modelli:

- un modello atmosferico per calcolare le deposizioni secche e umide,
- un modello per calcolare le concentrazioni di PCDD/F e PCB-DL sul suolo e sull'erba;
- ed infine, un modello che descrive il trasferimento di questi inquinanti dagli animali al latte ed alla carne.

I valori di riferimento per le deposizioni, ricavati dall'applicazione della catena modellistica, sono riportati in Tabella 4.31. Per rispettare, ad esempio, un livello di TDI di 3 pg TEQ per kg di peso corporeo sono ammesse deposizioni giornaliere di 10 pg TEQ/m² per un intero anno, oppure 20 pg TEQ/m² di deposizioni mensili.

	assunzione giornaliera correlata - (TDI) [pgWHO-TE/kg di peso corporeo giorno]	deposizione media consentita (media annua) [pg WHO-TE/m ² d]	deposizione media consentita (media mensile) [pg WHO-TE/m ² d]
		PCDD/F	PCDD/F
L. Van Lieshout et al., 2001	1	3.4	6.8
L. Van Lieshout et al., 2001	3	10	20
L. Van Lieshout et al., 2001	4	14	27
		PCDD/F e DL-PCB	PCDD/F e DL-PCB
Cornelis et al., 2007	2	8.2	21
Germania German expert group (LAI 2004) valori guida per le deposizioni	--	4 9 per impianti	--

Tabella 4.31 – valori guida per le deposizioni sviluppati a partire dai valori di “dose tollerabile giornaliera” per l'organismo umano TDI⁴, stabiliti dall'OMS

I dati misurati nelle due postazioni, espressi in flusso di deposizione, in mancanza di una specifica normativa italiana, sono di seguito confrontati con dati di bibliografia. In particolare:

- i PCB sono confrontati con i dati della rete SAMANET⁶, rete costituita da deposimetri dislocati lungo la laguna di Venezia per valutare le ricadute della zona industriale di Marghera;
- le Diossine sono confrontate con un valore guida desunto dall'obiettivo di assorbimento giornaliero di 1 pg TEQ/giornoxKg peso corporeo indicato dall'OMS. A partire da questa dose è stato quindi calcolato un valore corrispondente di deposizione giornaliera media annuale

⁵ L'OMS ha definito la **dose tollerabile giornaliera** (TDI) pari a 1-4 pg/TEQ/kg di peso corporeo (WHO, Ginevra 25-29 maggio 1998), con l'obiettivo di ridurre l'assorbimento giornaliero intorno ad 1 pgTEQ/giorno*kg peso corporeo. Per una persona di 70 kg la TDI deve tendere a 70 pgTEQ/giorno.

⁶ La rete di **Monitoraggio SAMANET**, realizzata e gestita dalla Sezione Antinquinamento del Magistrato alle Acque (SAMA), consiste in un sistema di stazioni fisse per il monitoraggio in continuo dei principali parametri chimico-fisici delle acque e di una rete di deposimetri dislocati all'interno della laguna di Venezia per il monitoraggio delle deposizioni totali.

consentita di 3.4 pg I-TEF /m²*day e una deposizione giornaliera media mensile di 6.8 pg I-TEF/m²*day (L. Van Lieshout et al., 2001), quest'ultima viene confrontata con il massimo della deposizione mensile nelle due stazioni.

Nelle Tabelle 4.32 e 4.33 sono riportate le deposizioni totali annuali di PCB, diossine e furani rilevata nella postazione Porto San Vitale.

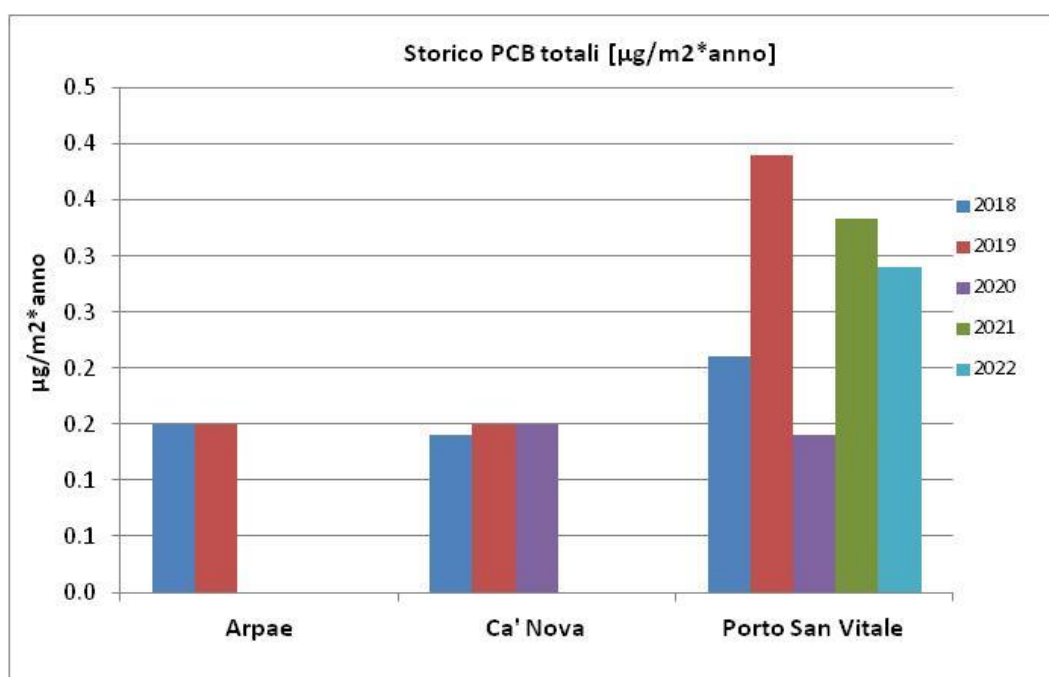
	Porto San Vitale	Rete SAMANET
PCB tot Deposizione annuale (µg/m ² *anno)	0.29	0.05 - 2.55

Tabella 4.32 – Flussi annuali di PCB – 2022 a Porto San Vitale e intervallo di valore per i flussi annui rilevati nel periodo 2007-2017 dalla rete SAMANET (laguna di Venezia)

	Porto San Vitale	OMS
PCDD/F Deposizione annuale (pg I-TEF/m ² *gg)	0.19	3.4
PCDD/F Max Deposizione media mensile (pg I-TEF/m ² *gg)	0.009	6.8

Tabella 4.33 – Flussi annuali di PCDD/F – anno 2022

Infine, nella figura 4.46, si riportano gli andamenti delle deposizioni annuali dei PCB tot e PCDD/F. Si osserva, per i PCB totali nella stazione Porto San Vitale, un andamento per il 2022 comparabile a quanto rilevato nelle annualità 2019 e 2021. Per i PCDD/F si è rilevato un trend lievemente in calo rispetto l'anno precedente.



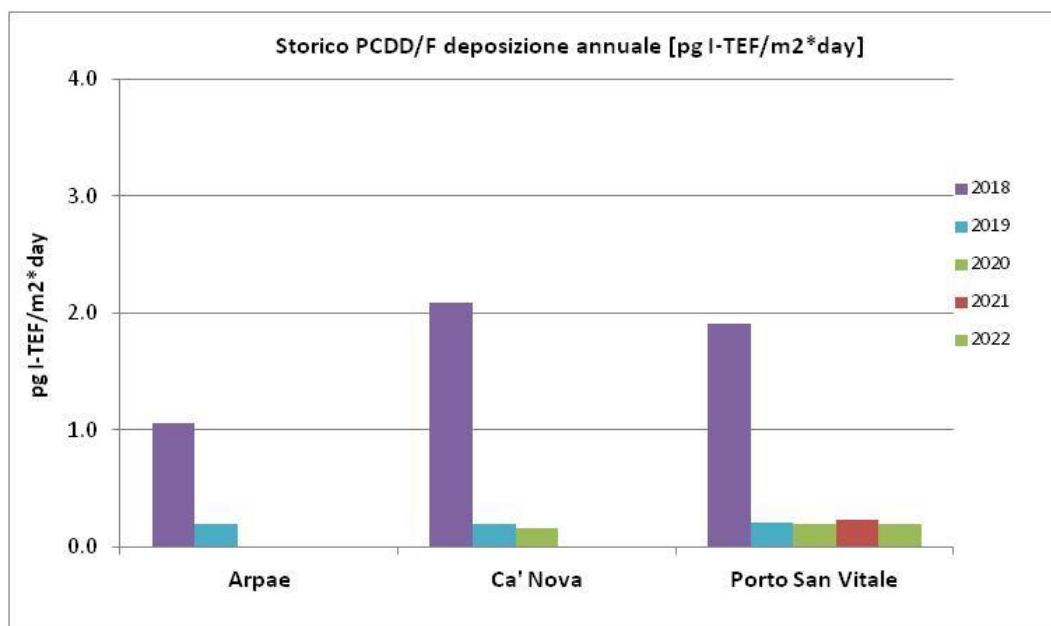


Figura 4.46: Trend PCB totali e PCDD/F annuali